FLÁVIO GUILHERME DE ABREU DRUMOND

SISTOLES EM SUPERFÍCIES GERADA PELA TESSELAÇÃO $\{8g-4,4\}$

Dissertação apresentada à Universidade Federal de Viçosa, como parte das exigências do Programa de Pós-Graduação em Matemática, para obtenção do título de *Magister Scientiae*.

 $\begin{array}{c} \text{VIÇOSA} \\ \text{MINAS GERAIS - BRASIL} \\ 2015 \end{array}$

FichaCatalografica:: Fichacatalografica

Ficha catalográfica preparada pela Biblioteca Central da Universidade Federal de Viçosa - Câmpus Viçosa

T

Drumond, Flávio Guilherme de Abreu, 1990-

D795s 2015 Sistoles em superfícies gerada pela tesselação {8g-4,4} / Flávio Guilherme de Abreu Drumond. - Viçosa, MG, 2015. x, 83f. : il. (algumas color.) ; 29 cm.

Orientador : Mércio Botelho Faria. Dissertação (mestrado) - Universidade Federal de Viçosa.

Referências bibliográficas: f.82-83.

1. Geometria hiperbólica. 2. Sistoles (Matemática). 3. Bers, Constante de. 4. Tesselação. I. Universidade Federal de Viçosa. Departamento de Matemática. Programa de Pós-graduação em Matemática. II. Título.

CDD 22. ed. 516

2 de 3 07-12-2015 14:19

FLÁVIO GUILHERME DE ABREU DRUMOND

•		~	
SISTOLES EM SUPERFÍCIES	GERADA PELA	TESSELAÇÃO {	8q - 4, 4

Dissertação apresentada à Universidade Federal de Viçosa, como parte das exigências do Programa de Pós-Graduação em Matemática, para obtenção do título de *Magister Scientiae*.

APROVADA: 27 de fevereiro de 2015.	
Vandenberg Lopes Vieira	Catarina Mendes de Jesus Sánchez

Mercio Botelho Faria (Orientador)

Dedico este trabalho aos meus pais.

"Talvez não tenha conseguido fazer o melhor, mas lutei para que o melhor fosse feito. Não sou o que deveria ser, mas Graças a Deus, não sou o que era antes."

Marthin Luther King

Agradecimentos

Primeiramente quero agradecer a Deus por tudo que tem feito na minha vida e dos meus familiares, sem ele nada disso teria acontecido.

Quero agradecer aos meus pais, Fernando e Inácia, pela dedicação que me fez chegar até aqui, pelo carinho e amor fundamental e insubstituível nessa caminhada, meu herói e minha heroína. Essa conquista é de vocês.

Agradecer as minhas amadas irmãs, Vanessa e Amannda, que me deram coragem e incentivo para que pudesse encarar esse desafio.

Agradecer a toda minha família, pois sei que torceram por mim esse tempo todo, em especial minha querida vó, Maria Conceição (in memoriam), que lá no céu deve esta comemorando essa vitória.

Quero agradecer minha namorada, Márcia, pelo o apoio desde do primeiro momento, que mesmo estando tão longe me incentivou a todo instante.

Agradeço aos meus amigos de Araguaína em especial ao Edison e Onésimo pelo o incentivo. Ao pessoal da peladinha das sextas a noite em Viçosa, que me mostraram que eu jogo muito.

Agradeço ao pessoal da minha turma que hoje considero meus amigos: Lázaro, Lizeth, Dayane, Marcelo, Sabrina, Glelson e todos os outros que conviveram na salinha durante esses dois anos. Em especial a Cris que foi minha companheira de estudo, mão amiga no momentos difíceis, uma amizade para vida toda. Quero Agradecer ao secretário, João Marcos, pela paciência e destreza no seu trabalho.

Quero agradecer ao meu Orientador, Mercio Faria, pelo aprendizado, paciência e ser sempre atencioso. Um exemplo de pessoa.

Agradeço aos professores do DMA-UFV, em especial aos professores Enoch, Rogério e Catarina.

Agradeço a todos que de alguma forma contribuíram para a realização deste trabalho.

Finalmente, agradeço à CAPES pelo apoio financeiro indispensável para a realização deste trabalho.

Sumário

Li	sta de Figuras		vii	
\mathbf{R}	esum	10		ix
A	bstra	ıct		x
In	\mathbf{trod}	ução		1
1	Geo	ometria	a Hiperbólica, Grupos Fuchsianos e Teoria de Grafos	3
	1.1	Geom	etria Hiperbólica Plana	3
		1.1.1	Modelos Hiperbólicos	4
		1.1.2	Transformações de Möbius	7
		1.1.3	Transformações lineares fracionárias	8
		1.1.4	Isometrias	10
	1.2	Grupo	os Fuchsianos	12
		1.2.1	Grupos Discretos	17
		1.2.2	Domínios Fundamentais	18
		1.2.3	Domínio de Dirichlet	20
		1.2.4	Assinatura de um grupo Fuchsiano	23
	1.3	Trigor	nometria hiperbólica	23
		1.3.1	Área Hiperbólica	25
	1.4	Super	fície de Riemann	25
	1.5	Geom	etria de superfícies hiperelípticas	28
	1.6	Teoria	a de Grafo	20

2	Síst	ole		31	
	2.1 Panorama sistólico		ama sistólico	32	
		2.1.1	Desigualdades isosistólicas	33	
		2.1.2	Sístole de uma superfície de Riemann	34	
	2.2	Const	ante de Bers	34	
		2.2.1	Colagem	35	
		2.2.2	Construção das calças	35	
		2.2.3	Constante de Bers	36	
3	Constante de Bers em gênero 2			39	
	3.1	Grafo	de contiguidade	40	
		3.1.1	Geodésicas separantes determinadas por duas não-separantes	45	
		3.1.2	Relação entre os comprimentos das geodésicas	47	
	3.2	2 Majoração do comprimento das arestas do grafo de contigüidade			
	3.3	A 3-sístole e a sístole da família $\mathcal{G}_{\xi} \cup \{\xi\}$			
	3.4	Deteri	minação de um máximo global	54	
4	Tesselação $\{8g-4,4\}$				
	4.1	Existê	encia do polígono fundamental de $(8g-4)$ arestas	59	
	4.2	O poli	ígono fundamental $8g-4$	66	
Co	onsid	leraçõe	es Finais	81	
Bi	bliog	grafia		82	

Lista de Figuras

1.1	No primeiro caminho a distância hiperbólica é 4 e no segundo caminho a distância hiperbólica é 3.1.	5
1.2	Domínios fundamentais do tipo \mathcal{D}_k do grupo cíclico $\Gamma = \langle T(z) = 2z \rangle$	20
1.3	Domínios fundamentais do tipo \mathcal{D}_k do grupo cíclico $\Gamma = \langle T(z) = z + 1 \rangle$.	20
1.4	Superfície de Riemann R de $g=3$	27
1.5	polígono fundamental associado a R com $g=3$	28
1.6	Grafos isomorfos	30
2.1	A geodésica fechada à direita não é uma sístole porque é contrátil	31
2.2	Bitoro	32
2.3	Colagem	35
2.4	Construção da calça	36
3.1	Geodésica separante ξ	39
3.2	Grafo minimal de 6 vértices	42
3.3	Pentágono sobre um esfera singular	43
3.4	Subgrafo isomorfo a G_4	44
3.5	Decomposição de um elemento de \mathcal{G}_{ξ}	46
3.6	Notação	47
3.7	Geodésicas no Toro com bordo T_i	48
3.8	Notação no hexágono com ângulos retos	49
3.9	Borda do Toro T_1	49
3.10	Notação no hexágono com ângulos retos	51

3.11	Nova configuração topologica	í
3.12	Configuração geométrica)
4.1	Arestas de F)
4.2	Pontos sobre o disco	L
4.3	Polígono fundamental de 12 arestas	2
4.4	Transformação T_i	3
	3 0	
4.5	Tesselação para $g=2$	Į
4.6	Tesselação para $g = 3$	5
4.7	Obtendo expressões analíticas para as geodésicas de F	7

Resumo

DRUMOND, Flávio Guilherme de Abreu, M.Sc., Universidade Federal de Viçosa, fevereiro de 2015. **SISTOLES EM SUPERFÍCIES GERADA PELA TESSELA-** $\mathbf{\tilde{Q}AO}$ {8g-4,4}. Orientador: Mercio Botelho Faria.

Seja S uma superfície Riemann compacta, orientável, de gênero $g \geq 2$. Uma sístole de S, é uma geodésica fechada, não-contrátil, de menor comprimento sobre S. Encontrar os valores desses comprimentos para todas as sístoles de uma superfície S é muito difícil, e daí o interesse em buscar seus limitantes inferiores e superiores. Bers [9] mostrou que toda superfície de Riemann de gênero de g possui 3g-3 geodésicas fechadas simples e disjuntas que podem ser majoradas por uma constante B(g) chamada de constante de Bers onde ela só depende do gênero da superfície. Em [11], foi apresentado limitantes para esta constante B(g), a saber: $B(g): \sqrt{6g-2} \leq B(g) \leq 26(g-1)$. Bavard, [5], em seu trabalho obteve um limite máximo, relacionado à tesselação $\{12g-6,3\}$, para o raio de injetividade sobre uma superfície de Riemann ≥ 2 , tal que para g=2 esse limite permite majorar o comprimento das geodésicas fechadas por $2 \operatorname{arccosh}(2,88)$. Neste trabalho nós apresentaremos alguns resultados sobre sístoles em superfícies e avaliamos um tipo de sístoles de superfícies relacionadas a tesselação $\{8g-4,4\}$ para $g\geq 2$.

Abstract

DRUMOND, Flávio Guilherme de Abreu, M.Sc., Universidade Federal de Viçosa, February, 2015. **SYSTOLES SURFACE GENERATED BY TESSELLATION** $\{8g-4,4\}$. Adviser: Mercio Botelho Faria.

Let S be a compact Riemann surface, orientable, of genus $g \geq 2$. A systole of S, is a closed, non-contractile geodesic, of smaller length on S. Finding the values of these lengths for all systoles of a surface S is very difficult, and hence the interest in get your lower and upper limiting. Bers [9] shows that every Riemann surface of genus of g has 3g-3 disjoint simple closed geodesics that can be increased by a constant B(g) constant call of Bers where she only depends on the genus of the surface. In [11], was presented for limiting this constant (g) B, namely: $B(g): \sqrt{6g-2} \leq B(g) \leq 26(g-1)$. Bavard, [5], in his work earned a maximum limit, related to tessellation $\{12g-6,3\}$ for the injetividade radius on a Riemann surface ≥ 2 , such that for g=2 this limit allows you to increase the length of the geodesic closed for $2 \operatorname{arccosh}(2,88)$. This work we will present some results on sistoles on surfaces and evaluate a type of surface tessellation related sistoles $\{8g-4,4\}$ for $g\geq 2$.

Introdução

O objetivo deste trabalho é calcular as sístoles, que são geodésicas fechadas, simples e não contráteis de menor comprimento sobre uma superfície gerada pela tesselação $\{8g-4,4\}$ que fornecem uma superfície fechada com gênero $g \geq 2$. Calcularemos através do emparelhamento das arestas do polígonos 8g-4 fornecido pelo artigo [1] o comprimento das geodésicas que tem um representante na classe dos eixos da transformação hiperbólica. No primeiro momento, falaremos das geodésicas que decompõem uma superfície de Riemann $g \geq 2$ em calças, essas geodésicas também são fechadas, simples e disjuntas, formando uma família de 3g-3 geodésicas, que chamaremos de partição dessa superfície [11] .

E sobre essas geodésicas que decompõe a superfície em calças, Lipman Bers observou em [9] que qualquer superfície de Riemann de $g \ge 2$ possui essa família de geodésicas, cujo o comprimento dessas geodésicas são majorados por uma constante B(g) que depende somente do gênero da superfície. A constante foi batizada com o nome do matemático, passando assim ser chamada de Constante de Bers. Em 1980, Peter Buser majorou B(g) por (6g-4) arccosh $(2\pi(g-1))$. Em 1992, ele chegou com Mika Seppälä a um resultado mais preciso [12]. O conjunto que dá uma boa ideia do comportamento assintótico da constante de Bers é : $\sqrt{6g} - 2 \le B(g) < 26(g-1)$.

Durantes os anos 90, Paul Schmutz Schaller se interessou pelas sístoles sobre as superfícies de Riemann, e se lançou a procura destes valores. Em [29], Schmutz Schaller generaliza assim a sístole: Considerando uma família fechada de k geodésicas simples e disjuntas, ele associa a cada uma delas uma função comprimento que corresponde ao comprimento da maior geodésica, então ele introduz k-sístoles como a menor função destes comprimentos. A constante de Bers aparece como limitante superior para essas (3g-3)-sístoles.

Em 1997, Christophe Bavard elaborou por analogia ao Invariante de Hermite de malhas euclidianas a uma teoria geral [6] que unifica o mesmo quadro geométrico do Invariante de Hermite de malhas euclidianas, Invariante de Hermite de variedades abelianas, e das sístoles sobre uma superfície de Riemann. Então em [6] a sístole esta definida como mínimo das funções comprimentos das geodésicas, tal que elas sejam contínua sobre o espaço de Teichmüller e invariante sobre a ação de grupo modular.

Até o presente momento não existe uma valor específico para B(g), senão limitantes inferiores e superiores, mas as pesquisas continuam ([23], [24]). Neste trabalho apresentaremos um valor quando g=2, que é baseado no artigo [16]. Abaixo um breve resumo dos capítulos.

O Capítulo 1 tem como objetivo apresentar definições e teoremas importantes para o restante do trabalho. No Primeiro momento, introduzimos o que é a Geometria Hiperbólica através do estudo do semiplano superior \mathbb{H}^2 , do disco de Poincaré \mathbb{D}^2 e logo a seguir apresentamos conceitos básicos para a Geometria Hiperbólica. Com isso partimos para o estudo de transformações que mantém o disco e o semiplano invariante, as Transformações de Möbius, para logo após apresentar o estudo de Isometrias que é de grande importância para o trabalho e em especial para o Capítulo 4. Em seguida, falaremos sobre o grupos Fucshianos e suas propriedades para podermos exibir superfícies que trabalharemos como quociente de um modelo hiperbólico sobre um grupo Fuchsiano. Definido isso falaremos da trigonometria hiperbólica e algumas relações trigonométricas e no final do capítulo explanamos um pouco sobre superfície de Riemann.

No Capítulo 2, iniciaremos falando sobre sístoles de maneira geral, ou seja, quais são as principais definições e resultados conhecidos. Destacamos as desigualdades isosistólicas, as sístoles na superfície de Riemann, e quem foram os percussores sobre o tema. Em seguida, falaremos sobre a constante de Bers que é importante para o capítulo seguinte, e nesta parte exibiremos como é feita a decomposição de uma superfície de Riemann em calças e que condições devem satisfazer para que aconteça essa decomposição. Deste modo, exibiremos as geodésicas que fazem parte deste processo e são limitadas por uma constante de Bers B(g), além de alguns resultados que fornecem limitantes para essa constante B(g).

No Capítulo 3, temos como objetivo principal encontrar uma maneira para obter o valor da constante de Bers para g=2 e para isso falaremos do Grafo de Contiguidade que nos apresentam uma nova configuração das 3g-3 geodésicas sobre uma superfície. Para majorar os comprimentos dessas geodésicas trabalharemos com os pontos de Weiertrass sobre uma superfície de Riemann hiperelíptica e com as geodésicas que decompõem essa superfície em calças. Além disso majoramos o comprimento da geodésica ξ que separa a superfície em dois toros com bordo. E depois disso determinaremos as sístole sobre essa superfície e o valor da constante B(2).

No Capítulo 4, construiremos um polígono de (8g-4)-arestas, onde aplicaremos o emparelhamentos de arestas deste polígono com uma tesselação $\{8g-4,4\}$ afim de obter as transformações que emparelham cada aresta. Em seguida, podemos escrever cada transformação em função de uma só e a partir daí conseguir as matrizes que são associadas a essa transformação. Com isso podemos através dessas matrizes encontrar o comprimento das geodésicas que serão os eixos dessas transformações.

Capítulo 1

Geometria Hiperbólica, Grupos Fuchsianos e Teoria de Grafos

Neste capítulo, apresentaremos alguns resultados que serão usados no desenvolvimento do nosso trabalho. Por serem resultados familiares, omitiremos as demonstrações. Iniciaremos falando da Geometria hiperbólica plana onde apresentaremos dois modelos mais usados: Semiplano superior \mathbb{H}^2 e o disco de Poincaré \mathbb{D}^2 . Mais adiante trabalharemos com as Transformações de Möbius que mantém o plano hiperbólico invariante. Em seguida, apresentaremos os tipos existentes de isometrias e como determiná-las. Explanaremos alguns conceitos e resultados básicos de grupos Fuchsianos, domínios fundamentais, superfície de Riemann e exibiremos algumas relações da trigonometria hiperbólica.

As principais referências são:[2], [3], [7], [11], [13], [14], [20], e outras referências que serviram na complementação da teoria foram [18], [19], [26], [31], [32].

1.1 Geometria Hiperbólica Plana

Neste seção apresentaremos dois modelos mais utilizados na geometria hiperbólica que são o semiplano superior (ou Plano de Lobatchevsky) e o disco de Poincaré (ou disco unitário). A escolha de um ou outro depende do trabalho que se deseja realizar. Por exemplo, uma vantagem do modelo de disco Poincaré sobre o modelo do semiplano superior é que o disco unitário \mathbb{D}^2 é um subconjunto limitado do plano euclidiano. Assim, podemos visualizar todo o plano hiperbólico facilmente em uma folha de papel. Uma vantagem do modelo do semiplano superior \mathbb{H}^2 em relação ao modelo de disco Poincaré é a facilidade com que as coordenadas cartesianas podem ser usados em cálculos. Vamos considerar $z = x + iy \in \mathbb{C}$ e usaremos as notações usuais para as partes real e imaginária, Re(z) = x, Im(z) = y.

1.1.1 Modelos Hiperbólicos

Definição 1.1. O modelo do Semiplano superior para o plano hiperbólico é definido como

$$\mathbb{H}^2 = \{ z \in \mathbb{C} \mid Im(z) > 0 \}$$

dotado da estrutura riemanniana $ds^2 = \frac{dx^2 + dy^2}{y^2}$.

O círculo no infinito ou ao limite do \mathbb{H}^2 é definido como sendo o conjunto

$$\partial \mathbb{H}^2 = \{ z \in \mathbb{C} \mid Im(z) = 0 \} \cup \{ \infty \},\$$

isto é, $\partial \mathbb{H}$ é o eixo real juntamente com o ponto ∞ .

Definição 1.2. Seja I = [0,1] e $\gamma: I \to \mathbb{H}^2$ uma curva diferenciável por partes

$$\gamma = \{z(t) = x(t) + iy(t) \in \mathbb{H}^2 | t \in I\}.$$

Então o comprimento hiperbólico de γ , $\|\gamma\|$, é dado por:

$$\|\gamma\| = \int_{\gamma} \frac{1}{Im(z)} |dz| = \int_{0}^{1} \frac{\left|\frac{dz(t)}{dt}\right|}{y(t)} dt = \int_{0}^{1} \frac{\sqrt{\left(\frac{dx(t)}{dt}\right)^{2} + \left(\frac{dy(t)}{dt}\right)^{2}}}{y(t)} dt.$$

Uma aplicação da regra da cadeia mostra que este comprimento hiperbólico independente da parametrização de γ .

Exemplo 1.3. Seja $\gamma_1(t) = -2 + 4t + i$, com $0 \le t \le 1$, uma parametrização de um curva continuamente diferenciáveis por partes que passa pelos pontos -2 + i e 2 + i. Então, seu comprimento hiperbólico de $\|\gamma_1\|$ é dado por :

$$\|\gamma_1\| = \int_0^1 \frac{\sqrt{\left(\frac{dx(t)}{dt}\right)^2 + \left(\frac{dy(t)}{dt}\right)^2}}{y(t)} dt = \int_0^1 4dt = 4.$$

Exemplo 1.4. Seja γ_2 uma outra curva continuamente diferenciáveis por partes que passa pelos pontos -2 + i e 2 + i, parametrizada da seguinte forma:

$$\gamma_2(t) = \begin{cases} (2t-2) + i(1+t), & 0 \le t \le 1\\ (2t-2) + i(3-t) & 0 \le t \le 2. \end{cases}$$

Então seu comprimento hiperbólico é $\|\gamma_2\| \simeq 3, 1.$

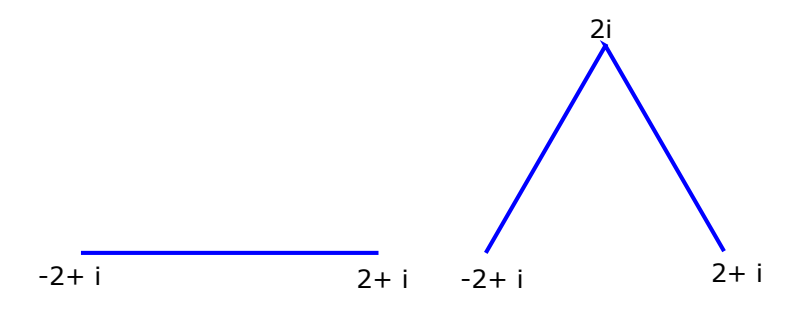


Figura 1.1: No primeiro caminho a distância hiperbólica é 4 e no segundo caminho a distância hiperbólica é 3.1.

Definição 1.5. A distância hiperbólica d(z, w) entre dois pontos $z, w \in \mathbb{H}$ é definida pela fórmula

$$d(z, w) = \inf \|\gamma\|,$$

onde o ínfimo é considerado sobre o conjunto das curvas continuamente diferenciáveis por partes $\gamma: I \to \mathbb{H}^2$, com $\gamma(0) = z$ e $\gamma(1) = w$.

Veremos que entre as curvas unindo z e w, aquela com menor comprimento hiperbólico (ie, uma geodésica) é uma semirreta ou um semicírculo ortogonal ao eixo $\mathbb{R} = \{z \in \mathbb{C} | Im(z) = 0\}.$

Definição 1.6. Dados $z, w \in \mathbb{H}^2, z \neq w$ a **geodésica** definida por z e w é a curva de comprimento mínimo entre z e w em \mathbb{H}^2 , e o segmento geodésico que conecta esses dois pontos é representado por [z, w]

Teorema 1.7. ([20], pág.: 4) Seja z e w quaisquer pontos no plano complexo. Então, a curva γ passando por z e w satisfaz

$$||\gamma|| = d(z, w)$$

se, e somente se, a parametrização da curva γ é semicírculo ou semirretas ortogonais ao eixo real.

Exemplo 1.8. Seja $\gamma_3(t) = \sqrt{5}(\cos t + i \sin t)$, com $\frac{17\pi}{20} \le t \le \frac{3\pi}{20}$, uma parametrização de curva que passa por -2 + i e 2 + i. Então, o comprimento de $\|\gamma_3\|$ é dado por:

$$\|\gamma_3\| = \int_{\frac{17\pi}{20}}^{\frac{3\pi}{20}} \frac{\sqrt{5}}{\sqrt{5} \operatorname{sen}(t)} dt$$

$$= \int_{\frac{17\pi}{20}}^{\frac{3\pi}{20}} \operatorname{csc}(t) dt$$

$$= \ln \left| \frac{\tan(\frac{1}{4}\pi + \frac{1}{2}\frac{3\pi}{20})}{\tan(\frac{1}{4}\pi + \frac{1}{2}\frac{17\pi}{20})} \right| \simeq 2,87.$$

O resultado a seguir nos dá a unicidade de uma geodésica entre dois pontos.

Corolário 1.9. ([20], pág.: 5) Dadas quaisquer dois pontos em \mathbb{H}^2 , existe uma única geodésica que passa através destes.

Corolário 1.10. ([20], pág.: 5) Sejam z e w dois pontos distintos no plano hiperbólico \mathbb{H}^2 , então $d(z,w) = d(z,\xi) + d(\xi,w)$ se, e somente se, $\xi \in [z,w]$.

Vejamos algumas igualdades.

Teorema 1.11. ([7], pág.: 130) Dados $z, w \in \mathbb{H}^2$, temos:

(i)
$$d(z,w) = \ln \frac{|z - \bar{w}| + |z - w|}{|z - \bar{w}| - |z - w|};$$

(ii)
$$\cosh[d(z, w)] = 1 + \frac{|z - w|^2}{2Im[z]Im[w]};$$

(iii)
$$\mathrm{senh}\left[\frac{1}{2}d(z,w)\right] = \frac{|z-w|}{2(Im[z]Im[w])^{1/2}};$$

(iv)
$$\cosh\left[\frac{1}{2}d(z,w)\right] = \frac{|z - \bar{w}|}{2(Im[z|Im[w])^{1/2}};$$

(v)
$$\tanh\left[\frac{1}{2}d(z,w)\right] = \left|\frac{z-w}{z-\bar{w}}\right|.$$

Definição 1.12. O disco

$$\mathbb{D}^2 = \{ z \in \mathbb{C} | |z| < 1 \}$$

 \acute{e} chamado o **disco Poincaré** dotado da estrutura riemanniana $ds^2 = \frac{4(dx^2 + dy^2)}{[1 - (x^2 + y^2)]^2}$.

O círculo $\partial \mathbb{D}^2 = \{z \in \mathbb{C} | |z| = 1\}$ é chamado de círculo em ∞ ou ao limite do \mathbb{D}^2 .

Teorema 1.13. ([3], pág.: 120) Seja $\gamma : [a,b] \to \mathbb{D}^2$, então o comprimento hiperbólico é dado por:

$$\|\gamma\| = \int_{\gamma} \frac{2}{1 - |z|^2} |dz|.$$

Definição 1.14. Definimos a distância entre dois pontos z e w do disco \mathbb{D}^2 como sendo:

$$d^*(z, w) = \ln \frac{|1 - z\bar{w}| + |z - w|}{|1 - z\bar{w}| - |z - w|}.$$

Definição 1.15. Os segmentos geodésicos em \mathbb{D}^2 são arcos de círculos ortogonais a $\partial \mathbb{D}^2$ ou segmentos de reta passando pelo centro de \mathbb{D}^2 .

Na geometria hiperbólica existe dois tipos de retas hiperbólicas paralelas, isto é, retas hiperbólicas que não se cruzam dentro de um modelo (\mathbb{H}^2 ou \mathbb{D}^2) que são:

- *i)* Se duas retas hiperbólicas se cruzam na sua fronteira, então elas são chamadas de paralelas ou hiperparalelas;
- ii) Se duas retas hiperbólicas não se cruzam na sua fronteira, então elas são chamadas de disjuntas ou ultraparalela.

Observação 1.16. Por uma reta hiperbólica r em \mathbb{H}^2 e $p \in \mathbb{H}^2$, tal que p não pertença a r, existem infinitas retas hiperbólicas distintas passando por p e que são paralelas a r.

1.1.2 Transformações de Möbius

As transformações de Möbius apareceram no estudo de análise complexas e superfícies de Riemann, como transformações que mantém um disco ou semiespaço invariante. O foco do estudo é sobre o caso do plano hiperbólico bidimensional. Mas inicialmente introduzimos as transformações de Möbius para dimensão arbitrária, primeiramente falaremos de dois tipos distintos de transformações de Möbius, as reflexões e as imersões. Depois trataremos do caso das transformações no caso bidimensional. Vejamos,

Uma esfera S(a,r) em \mathbb{R}^n é dado por $S(a,r) = \{x \in \mathbb{R}^n; |x-a| = r\}$, onde r > 0 e $a \in \mathbb{R}^n$. O conjunto $\widehat{\mathbb{R}}^n = \mathbb{R}^n \cup \{\infty\}$ é chamado de compactificação por um ponto ideal ∞ . Com isso, temos:

Definição 1.17. A inversão na esfera S(a,r) é dado por: $i_s : \widehat{\mathbb{R}}^n \to \widehat{\mathbb{R}}^n$ onde $i_s(a) = \infty$ e $i_s(\infty) = a$, e para $x \neq \{a, \infty\}$ temos:

$$i_s(x) = a + \left(\frac{r}{|x-a|}\right)^2 (x-a)$$
.

Agora, falta definir o que é uma reflexão, mas antes chamaremos de *hiperplano* em \mathbb{R}^n um conjunto da forma:

$$P_t = \{ x \in \mathbb{R}^n | \langle x, a \rangle = t \},$$

onde $\langle x, a \rangle$ é um produto interno.

 P_t é um subespaço afim de \mathbb{R}^n e $P=P_t(a)\cup\{\infty\}$ é chamado hiperplano compactificado. Com isso,

Definição 1.18. Definimos uma reflexão em hiperplano compactificado sendo

$$i_p = \begin{cases} x - 2 \frac{\langle x, a \rangle - t}{|a|^2} a & , & se \ x \in \mathbb{R}^n \\ \infty & , & se \ x = \infty. \end{cases}$$

Portanto, podemos definir as transformações de Möbius da seguinte maneira:

Definição 1.19. Uma transformação de Möbius de $\widehat{\mathbb{R}}^n$ é uma composição de um número finito de reflexões em hiperplanos e inversões em esferas.

Claramente, cada transformação de Möbius é um homeomorfismo de \mathbb{R}^n em si mesmo. A composição de duas transformações de Möbius é ainda uma transformação de Möbius, assim também para inversa de uma transformação de Möbius, pois se $\sigma = \sigma_1...\sigma_m$ (onde σ_j é uma inversão ou reflexão) então

$$\sigma^{-1} = \sigma_m ... \sigma_1$$
.

Finalmente, para qualquer σ , temos que $\sigma^2 = I_d$ e assim a função identidade é uma transformação de Möbius.

O conjunto das transformações de Möbius de $\widehat{\mathbb{R}}^n$ é chamado de **Grupo Geral de Möbius** o qual denotamos por $GM(\widehat{\mathbb{R}}^n)$. De fato, $GM(\widehat{\mathbb{R}}^n)$ é um grupo pois, por definição, ele é fechado por decomposição e

- A composição é associativa;
- $Id \in GM(\widehat{\mathbb{R}}^n)$ é o elemento neutro;
- Todo elemento de $GM(\widehat{\mathbb{R}}^n)$ possui inverso. Basta observar que cada σ de $GM(\widehat{\mathbb{R}}^n)$ é um elemento de ordem dois, ou seja, $\sigma^2 = Id$.

Observação 1.20. O Grupo de Möbius $M(\widehat{\mathbb{R}}^n)$ é o subgrupo de $GM(\widehat{\mathbb{R}}^n)$ formado pelas transformações de R^n que preservam a orientação. Temos que um elemento qualquer $\sigma \in GM(\widehat{\mathbb{R}}^n)$ preservará a orientação se, e somente se, for a composição de um número par de inversões e reflexões.

1.1.3 Transformações lineares fracionárias

Consideremos agora o grupo real das matrizes

$$A = \begin{pmatrix} a & b \\ c & d \end{pmatrix}$$
, com $\det(A) = ad - bc = 1$,

onde Tr(A) = |a + d| é o traço da matriz A. Esse grupo é chamado de grupo linear especial e denotado por $SL(2,\mathbb{R})$. As **transformações lineares** (ou **Möbius**) de \mathbb{C} em si mesmo é dado da forma:

$$T: \mathbb{C} \to \mathbb{C}$$

$$z \mapsto T(z) = \frac{az+b}{cz+d}; \{a,b,c,d \in \mathbb{R}, ad-bc=1\}.$$

$$\tag{1.1}$$

O conjunto dessas transformações forma um grupo tal que o produto das transformações correspondem ao produto das matrizes correspondentes e a inversa corresponde a matriz inversa.

Cada transformação T de (1.1) é representada por um par de matrizes $\pm A \in SL(2,\mathbb{R})$. Vejamos, supondo que as matrizes A e B sejam diferentes, seja T_A e T_B

transformações associadas as matrizes A e B respectivamente. Se $T_A = T_B$ acontece, então para determinar todas as matrizes que satisfaça a essa igualdade, basta determinar as matrizes C tais que $T_C = T_{Id} = Id$, onde Id é a matriz identidade, se $T_A = T_B$ então $Id = T_A(T_B)^{-1} = T_AT_B^{-1} = T_{AB^{-1}} = T_{Id}$. Mas considerando os pontos $0, i \in \mathbb{C}$, obtemos:

$$T_A(0) = \frac{b}{d} = 0 \Rightarrow b = 0$$

 $T_A(i) = \frac{ac}{c^2 + d^2} + \frac{ad}{c^2 + d^2} i \Rightarrow c = 0, a = d$

donde obtemos, consideremos que $1=ad-bc=a^2$ que b=c=0 e $a=d=\pm 1,$ ou seja

$$A = \begin{pmatrix} \pm 1 & 0 \\ 0 & \pm 1 \end{pmatrix} = \pm Id.$$

Definição 1.21. O grupo de todas as transformações Möbius de \mathbb{C} , chamado de **Grupo Projetivo** e denotado por $PSL(2,\mathbb{R})$, é isomorfo a $\frac{SL(2,\mathbb{R})}{\{\pm Id\}}$.

Teorema 1.22. ([20], pág.: 4) O grupo $PSL(2,\mathbb{R})$ é isomorfo ao grupo $M(\widehat{\mathbb{R}})$ das transformações de Möbius que preservam a orientação.

Modelo \mathbb{H}^2

Consideremos o grupo $SL(2,\mathbb{R})$. Para cada $A\in SL(2,\mathbb{R})$, consideremos a transformação linear fracionária:

$$T_A: \mathbb{H}^2 \to \mathbb{H}^2$$

$$z \mapsto \frac{az+b}{cz+d}.$$

Temos.

- Se Im(z) > 0, então $Im(T_A(z)) > 0$;
- A transformação T_A é uma ação de grupo;
- A transformação T_A é uma isometria de (\mathbb{H}^2, d) .

Modelo \mathbb{D}^2

Consideremos agora a ação de

$$SL(2,\mathbb{C}) = \left\{ \begin{pmatrix} a & b \\ c & d \end{pmatrix}; a,b,c,d \in \mathbb{C}, ad-bc = 1 \right\}$$

em \mathbb{C} determinada por

$$z \mapsto \frac{az+b}{cz+d}$$
.

Temos então que

$$\left| \frac{az+b}{cz+d} \right|^2 = \frac{|a|^2|z|^2 + |b|^2 + 2Re(abz)}{|c|^2|z|^2 + |d|^2 + 2Re(cdz)}.$$

Se quisermos considerar apenas os elementos de $SL(2,\mathbb{C})$ que mantêm o disco \mathbb{D}^2 invariante, devemos ter, para |z|=1,

$$\left| \frac{az+b}{cz+d} \right|^2 = \frac{|a|^2 + |b|^2 + 2Re(abz)}{|c|^2|z| + |d|^2 + 2Re(cdz)} = 1.$$

ou equivalente,

$$|a|^2 + |b|^2 - |d|^2 - |c|^2 = 2Re((cd - ab)z), \forall z \in S^1,$$

devemos ter Re(cd) = Re(ab) e com a condição adicional que ad - bc = 1, temos

$$\begin{pmatrix} a & b \\ c & d \end{pmatrix} = \begin{pmatrix} a & b \\ \bar{b} & \bar{a} \end{pmatrix} .$$

Temos agora que a métrica hiperbólica do disco \mathbb{D}^2 é invariante pelas as transformações da forma

$$z \mapsto \frac{az + \bar{c}}{cz + \bar{a}}, |a|^2 - |c|^2 = 1.$$

Definição 1.23. Seja $T(\neq Id)$ uma transformação de Möbius restrita ao plano Hiperbólico \mathbb{H}^2 . Dizemos que:

- 1. $T \notin parabólica$ se, e somente se, T fixa somente um ponto $\partial \mathbb{H}^2$;
- 2. $T \in hiperbólico$ se, e somente se, T fixa exatamente dois pontos em $\partial \mathbb{H}^2$;
- 3. T é elíptica se, e somente se, T fixa um único ponto de \mathbb{H}^2 .

1.1.4 Isometrias

Definição 1.24. Uma transformação $T: \mathbb{H}^2 \to \mathbb{H}^2$ é uma **isometria** se preserva a distância hiperbólicas $d_{\mathbb{H}^2}$ sobre \mathbb{H}^2 , isto é, $d_{\mathbb{H}^2}(T(z_1), T(z_2)) = d_{\mathbb{H}^2}(z_1, z_2)$. Denotaremos este conjunto por $Isom(\mathbb{H}^2)$. Analogamente, temos que uma transformação $T: \mathbb{D}^2 \to \mathbb{D}^2$ é uma **isometria** se preserva a distância hiperbólica $d_{\mathbb{D}^2}$ sobre \mathbb{D}^2 . Denotaremos este conjunto por $Isom(\mathbb{D}^2)$.

Os conjuntos $Isom(\mathbb{H}^2)$ e $Isom(\mathbb{D}^2)$ têm estrutura de grupo.

Seja grupo

$$PSL^*(2,\mathbb{R}) = \frac{SL^*(2,\mathbb{R})}{+Id},$$

onde $SL^*(2,\mathbb{R})$ é grupo das matrizes 2×2 com determinante igual a ± 1 .

Observação 1.25. $Isom(\mathbb{H}^2)$ é isomorfo a $PSL^*(2,\mathbb{R})$.

Podemos pensar em $PSL^*(2,\mathbb{R})$ como sendo um grupo composto por transformações de Möbius, ou seja,

$$Isom(\mathbb{H}^2) = \left\langle T_M(z) = \frac{az+b}{cz+d}, \ \varphi(z) = -\overline{z} \right\rangle, \ M \in SL(2,\mathbb{R}).$$

Notemos que φ é uma reflexão pelo eixo imaginário no plano \mathbb{C} .

Seja A um subgrupo de $SL(2,\mathbb{C})$ dado por

$$A = \left\{ M = \begin{pmatrix} a & b \\ \overline{b} & \overline{a} \end{pmatrix}; \ a, b \in \mathbb{C} \text{ e det } M = 1 \right\}$$

e definindo

$$B = \frac{A}{\pm Id}$$

podemos demonstrar que

$$Isom(\mathbb{D}^2) = \left\langle T_m(z) = \frac{az+b}{\bar{b}z+\bar{a}}, \varphi(z) = -\bar{z} \right\rangle, \ M \in B$$

Temos também uma importante transformação F, que permite trabalhar ora com o modelo do semiplano superior \mathbb{H}^2 e ora com o disco de Poincaré \mathbb{D}^2 , essa transformação define uma isometria bijetora entre \mathbb{H}^2 e \mathbb{D}^2 , dada por

$$F(z) = i + \frac{2(\bar{z} - i)}{|\bar{z} - i|^2} = \frac{iz + 1}{z + 1},$$

em que F é uma transformação de Möbius determinada pela a matriz

$$M_F = \begin{pmatrix} i & 1 \\ 1 & i \end{pmatrix}$$

e sua inversa é dada por

$$M_{f^{-1}} = \frac{1}{2} \begin{pmatrix} -i & 1\\ 1 & -1 \end{pmatrix}.$$

Tomando uma isometria $\zeta: \mathbb{H}^2 \to \mathbb{H}^2$ temos uma isometria correspondente em \mathbb{D}^2 dado por $F \cdot \zeta \cdot F^{-1}$.

Para cada
$$\zeta = \begin{pmatrix} a & b \\ c & d \end{pmatrix}$$
, com $a, b, c, d \in \mathbb{R}$ e $ad - bc = 1$, temos

Para cada transformação de Möbius $\xi: \mathbb{D}^2 \to \mathbb{D}^2$ temos uma correspondente em \mathbb{H}^2 dada por $F^{-1} \cdot \xi \cdot F$.

Seja
$$\xi = \begin{pmatrix} a & b \\ \bar{b} & \bar{a} \end{pmatrix}$$
, com $a, b \in \mathbb{C}$ e $a\bar{a} - b\bar{b} = 1$, temos
$$F^{-1} \cdot \xi \cdot F : \quad \mathbb{H}^2 \quad \to \quad \mathbb{H}^2$$

$$z \quad \mapsto \quad \frac{1}{2} \begin{pmatrix} Re(a) + Im(b) & Re(b) + Im(a) \\ Re(b) - Im(a) & Re(a) - Im(b) \end{pmatrix} (z) .$$

1.2 Grupos Fuchsianos

Existem três tipos de elementos em $PSL(2,\mathbb{R}) = SL(2,\mathbb{R})/\pm Id$ que se distinguem pelo valor da função **traço**, representada por Tr(A), ou seja, eles são classificados de acordo com o módulo do traço de uma matriz $A \in SL(2,\mathbb{R})$

Definição 1.26. Dado $A = \begin{pmatrix} a & b \\ c & d \end{pmatrix} \in SL(2,\mathbb{R}), \ a \ transformação \ T_A \in PSL(2,\mathbb{R})$ associada à $A \notin :$

- **Elíptica** se Tr(A) < 2;
- **Parabólica** se Tr(A) = 2;
- **Hiperbólica** se Tr(A) > 2.

Observação 1.27. Temos que o traço de uma matriz é invariante por conjugação pois, $Tr(BAB^{-1}) = |traço(BAB^{-1})| = |traço(A)| = Tr(A)$ para toda matriz A_n e para toda matriz $B \in GL(n, \mathbb{R})$.

O número 2 da Definição 1.26 depende somente dos autovalores reais da matriz A. O polinômio característico de uma matriz A é dado por

$$p_A(x) = \det[xId - A].$$

Os autovalores de A, caso existam, são raízes do seu polinômio característico. Ve-

jamos então, dado $A \in SL(2,\mathbb{R})$, temos

$$p_A(x) = \det(xId - A)$$

= $x^2 - xd - ax + ad - bc$
= $x^2 - Tr(A)x + \det(A)$
= $x^2 - Tr(A)x + 1$.

Assim o discriminante é $\Delta = Tr(A)^2 - 4$. Logo teremos os seguintes casos:

1) Se $\Delta > 0$, A possui dois autovalores reais distintos λ_1 e λ_2 . Desse modo, A é diagonalizável, portanto a menos de conjugação, podemos assumir A da forma:

$$\begin{pmatrix} \lambda_1 & 0 \\ 0 & \lambda_2 \end{pmatrix},$$

mas como det(A) = 1, temos que $\lambda_2 = \frac{1}{\lambda_1}$. Logo,

$$Tr(A) = \left| \lambda_1 + \frac{1}{\lambda_1} \right| > 2,$$

com $\lambda_1 \neq \pm 1$.

2) Se $\Delta = 0$, A possui um único valor real, e este deve ter multiplicidade 2. Então, o polinômio característico é da forma:

$$p_A(x) = (x - \lambda)^2$$

= $x^2 - 2x\lambda + \lambda^2$,

como $\det(A)=1$, temos $\lambda^2=1$, o que implica que $\lambda=\pm 1$ e $Tr(A)=|2\lambda|=2$.

3) Se $\Delta < 0$, A possui dois autovalores complexos não reais conjugados λ e $\overline{\lambda}$. Então, o polinômio característico é da forma:

$$p_A(x) = (x - \lambda)(x - \overline{\lambda})$$

= $x^2 - 2Re(\lambda)x - |\lambda|^2$,

onde
$$|\lambda|^2 = \det(A) = 1$$
. Se $\lambda \neq \pm 1$ então, $Tr(A) = |\operatorname{traço}(A)| = |2Re(\lambda)| < 2$.

Estudaremos os aspectos geométricos de cada tipo de isometria a partir de famílias especiais que contém representantes de cada classe de conjugação. Os aspectos mais importantes são o conjuntos de pontos fixos e pontos invariantes de cada conjugação.

Uma **permutação** de um conjunto X é uma bijeção $\psi: X \to X$. Seja G um grupo de permutações de um conjunto $X \neq \emptyset$. Dado $x \in X$, chamamos de **estabilizador**de x o subgrupo

$$G_x = \{ g \in G \mid g(x) = x \}.$$

A **órbita** de um ponto $x \in X$ é o conjunto

$$G(x) = \{g(x) \in X | g \in G\}.$$

O conjunto de **pontos fixos** de um elemento $g \in G$ é o conjunto

$$F_q = \{ x \in X \mid g(x) = x \}.$$

Dizemos que um subconjunto $A \subset X$ é **invariante** por $g \in G$ se $g(A) \subset A$.

Lema 1.28. ([14], pág.: 47) Seja $A \in SL(2,\mathbb{R})$ e $x,y \in \overline{\mathbb{H}}^2 = \mathbb{H}^2 \cup \partial \mathbb{H}^2$ dois pontos fixos por T_A . Então, a geodésica γ contendo x e y é invariante por T_A . Se algum dos pontos for um ponto ordinário, ou seja, que não seja pontos isolados, então $T_A = Id$.

Caracterização de cada uma das transformações:

Elíptica

Seja a família das matrizes

$$A_{\theta} = \begin{pmatrix} \cos \theta & \sin \theta \\ -\sin \theta & \cos \theta \end{pmatrix}, \ 0 < \theta < 2\pi.$$

Notemos que, para $\theta \neq k\pi$, $Tr(A_{\theta}) = |2\cos\theta| < 2$, ou seja, T_{θ} é de fato elíptica. Temos que T_{θ} terá ponto fixo i, pois

$$T_{\theta}(i) = \frac{\cos(\theta)i + \sin(\theta)}{-\sin(\theta) + \cos(\theta)}$$

$$= \frac{\cos(\theta)i + \sin(\theta)[\sin(\theta)i + \cos(\theta)]}{|-\sin(\theta)i + \cos(\theta)|^2}$$

$$= \frac{[\cos(\theta)\sin(\theta) - \cos(\theta)\sin(\theta)] + [\cos^2(\theta) + \sin^2(\theta)]i}{\cos^2(\theta) + \sin^2(\theta)}$$

$$= i.$$

Pelo Lema 1.28, teremos que i será o único ponto fixo de T_{θ} .

Parabólica

Seja a família das matrizes

$$A_t = \begin{pmatrix} 1 & t \\ 0 & 1 \end{pmatrix}, 0 \neq t.$$

Assim, $Tr(A_t) = |1+1| = 2$, ou seja, T_A é uma isometria parabólica. Observemos que

$$T_t(z) = \frac{z+t}{0z+1} = z+t.$$

Logo, para $z \neq \infty$, temos $T_t(z) \neq z$. No entanto, se considerarmos a geodésica $\gamma(s) = e^s i$, com $\gamma(\infty) = \infty$, temos:

$$\lim_{s \to \infty} T_t(\gamma(s)) = \lim_{s \to \infty} (e^s i + t) = \infty,$$

de modo que $T_t(\infty) = \infty$. Isso mostra que um ponto fixo de T_t é o ideal ∞ e ele será único.

Hiperbólica

Consideremos então a família das matrizes

$$A_k = \begin{pmatrix} \sqrt{e^k} & 0\\ 0 & \frac{1}{\sqrt{e^k}} \end{pmatrix}, k \neq 0.$$

Temos, $Tr(A_k) = \sqrt{e^k} + \frac{1}{\sqrt{e^k}} > 2$, logo T_k é, de fato, uma isometria hiperbólica.

Os pontos fixos por T_k são os pontos ideais 0 e ∞ , pois

$$T_k(z) = \frac{\sqrt{e^k} + 0}{0z + \frac{1}{\sqrt{e^k}}} = e^k z.$$

Então $T_k(0) = 0$. Notemos que geodésica $\gamma(t) = e^t i$ é invariante por T_k :

$$T_k(\gamma(t)) = e^k e^t i = e^{k+t} i = \gamma(k+t),$$

e, portanto, $T_k(\infty) = \infty$.

Como o traço da matriz é invariante por conjugação, temos que

- As matrizes da forma $BA_{\theta}B^{-1}$ induzem isometrias elípticas;
- As matrizes da forma BA_tB^{-1} induzem isometrias **parabólicas**;
- As matrizes da forma BA_kB^{-1} induzem isometrias hiperbólicas,

onde $B \in GL(2,\mathbb{R})$.

Teorema 1.29. ([14], pág.: 50) Dada uma transformação $Id \neq T_A \in PSL(2,\mathbb{R})$, existe $B \in SL(2,\mathbb{R})$ tal que $T_B \circ T_A \circ T_B^{-1}$ é da forma T_θ, T_t ou T_k .

A definição abaixo será de grande importância em nosso trabalho precisamente no Capítulo 4.

Definição 1.30. A geodésica em \mathbb{H}^2 que liga dois pontos fixos da transformação hiperbólica T é chamado **eixo** de T.

Vejamos abaixo como encontrar pontos fixos da transformação hiperbólica.

Exemplo 1.31. Sejam $A = \begin{pmatrix} 2 & 3 \\ 3 & 5 \end{pmatrix}$ e uma transformação T associada a A da forma $T(z) = \frac{2z+3}{3z+5}$. Como Tr(A) > 2, temos que T é uma transformação hiperbólica, logo possui dois pontos fixos, digamos z^+ e z^- , que podem ser encontrados da seguinte forma

$$z^{\pm} = \frac{a - d \pm \sqrt{(TrA)^2 - 4}}{2c}$$

$$= \frac{2 - 5 \pm \sqrt{(7)^2 - 4}}{2 \cdot 3}$$

$$= \frac{-3 \pm \sqrt{45}}{6}$$

$$= \frac{-3 \pm 3\sqrt{5}}{6}$$

$$= \frac{-1 \pm \sqrt{5}}{2},$$

ou seja,

$$z^{+} = \frac{-1 + \sqrt{5}}{2}$$
 e $z^{-} = \frac{-1 - \sqrt{5}}{2}$.

Para verificar se esse pontos são fixos basta mostrar que $T(z_0) = z_0$. Vejamos para o caso $z^+ = \frac{-1 + \sqrt{5}}{2}$. Assim,

$$T\left(\frac{-1+\sqrt{5}}{2}\right) = \frac{2\left(\frac{-1+\sqrt{5}}{2}\right)+3}{3\left(\frac{-1+\sqrt{5}}{2}\right)+5}$$
$$= \frac{\sqrt{5}+2}{\frac{7+3\sqrt{5}}{2}}$$
$$= \frac{2\sqrt{5}+4}{7+3\sqrt{5}}$$

$$= \frac{2\sqrt{5} + 4}{7 + 3\sqrt{5}} \cdot \frac{7 - 3\sqrt{5}}{7 - 3\sqrt{5}}$$
$$= \frac{-1 + \sqrt{5}}{2}.$$

1.2.1 Grupos Discretos

Além de ser um grupo, $PSL(2,\mathbb{R})$ é um espaço topológico no qual a transformação $z \to \frac{az+b}{cz+d}$ podem ser identificadas com o ponto $(a,b,c,d) \in \mathbb{R}^4$. Mais precisamente, o espaço topológico, $SL(2,\mathbb{R})$ é identificado como o subconjunto de \mathbb{R}^4 ,

$$\{(a, b, c, d) | ad - bc = 1\}.$$

A norma de $PSL(2,\mathbb{R})$ é induzida pela a norma do \mathbb{R}^4 , para $T(z)=\frac{az+b}{cz+d}$ com ad-bc=1, nós definimos

$$||T|| = \sqrt{a^2 + b^2 + c^2 + d^2},$$

onde $T \in PSL(2,\mathbb{R})$, e a métrica em $PSL(2,\mathbb{R})$ é definida por

$$d(T_A, T_B) = ||T_A - T_B||, \text{com } T_A, T_B \in PSL(2, \mathbb{R}).$$

Definição 1.32. Um subgrupo Γ de $Isom(\mathbb{H}^2)$ é dito **discreto** se a topologia induzida em Γ for uma topologia discreta, isto é, se Γ for um subconjunto discreto na topologia do espaço $Isom(\mathbb{H}^2)$.

Definição 1.33. Uma familia $\{X_{\alpha} | \alpha \in A\}$ de subconjunto de um espaço métrico X é dita **localmente finita** se para todo compacto $K \subseteq X$ o conjunto $\{\alpha \in A | X_{\alpha} \cap K \neq \emptyset\}$ for finito.

Definição 1.34. Seja Γ um subgrupo de homeomorfismo de um espaço métrico X. Dizemos que a ação de Γ é **propriamente descontínua** se para todo $x \in X$ a família $\{\{g(x)\}|g \in \Gamma\}$ for localmente finita.

O Teorema abaixo estabelece equivalências importantes envolvendo conceitos definidos acima.

Teorema 1.35. ([14], pág.: 57) Seja Γ um grupo de homeomorfismos de um espaço métrico X localmente compacto. Então, as sequintes afirmações são equivalentes:

- i) A ação de Γ é propriamente descontínua.
- ii) Para todo $x \in X$ existe uma vizinhança aberta V_x tal que $g(V_x) \cap V_x \neq \emptyset$ apenas para um número finito de elementos de Γ .

- iii) Todo ponto $x \in X$ possui uma vizinhança U_x tal que $g(U_x) \cap U_x \neq \emptyset$ implica g(x) = x.
- iv) Dado $K \subseteq X$ compacto, $g(K) \cap K \neq \emptyset$ apenas para um número finito de elementos de $g \in \Gamma$.

Definição 1.36. Um grupo discreto de $Isom(\mathbb{H}^2)$ é chamado de **grupo Fuchsiano** se consiste de transformações que preservam a orientação, ou seja, o **grupo Fuchsiano** é um subgrupo discreto de $PSL(2,\mathbb{R})$.

Proposição 1.37. ([14], pág.: 59) Os subgrupos cíclicos de $PSL(2,\mathbb{R})$ gerado por elementos hiperbólicos ou parabólicos são discretos. Um subgrupo cíclico gerado por elemento elíptico é discreto se, e somente se, for finito.

Vejamos alguns lemas importantes.

Lema 1.38. ([20], pág.: 30) Seja $w \in \mathbb{H}^2$ e $K \subset \mathbb{H}^2$ compacto. Então, o conjunto

$$H = \{ T \in PSL(2, \mathbb{R}) / t(w) \in K \}$$

é compacto.

Lema 1.39. ([20], pág.: 32) Seja $\Gamma \subset PSL(2,\mathbb{R})$ grupo com ação propriamente descontínua em \mathbb{H}^2 . Então, os pontos fixos por elementos de Γ é discreto, ou seja, o conjunto

$$\{z \in \mathbb{H}^2 \mid \exists T \in \Gamma, T(z) = z\}$$

é discreto.

O resultado abaixo e o principal dessa seção.

Teorema 1.40. ([14], pág.: 62) Um grupo $\Gamma \subset PSL(2,\mathbb{R})$ é discreto se, e somente se, sua ação em \mathbb{H}^2 for propriamente descontínua.

Definição 1.41. Um subgrupo $\Gamma \subset PSL(2,\mathbb{R})$ é dito **grupo elementar** se existe $z \in \overline{\mathbb{H}}^2$ tal que a órbita $\Gamma(z)$ é finita.

Teorema 1.42. ([20], pág.: 39) Seja Γ grupo não elementar. Então, Γ possui elementos hiperbólico.

1.2.2 Domínios Fundamentais

A importância de Domínio Fundamental(também chamada de Região Fundamental) \mathcal{D} de um grupo Fucshiano Γ é que nos ajuda ver como Γ age em \mathcal{D} .

Definição 1.43. Sejam X um espaço métrico e Γ grupo de homeomorfismos agindo em X de maneira propriamente descontínua. Um subconjunto fechado $\mathcal{D} \subset X$ é chamado um **domínio fundamental** de Γ se satisfaz as seguintes condições:

(i)
$$\bigcup_{T \in \Gamma} T(\mathcal{D}) = X$$
.

- (ii) $\mathcal{D}^{\circ} \cap T(\mathcal{D}^{\circ}) = \emptyset$, para todo $Id \neq T \in \Gamma$.
- (iii) $\mathcal{D}^{\circ} \neq \emptyset$.

O conjunto $\partial \mathcal{D} = \mathcal{D} \backslash \mathcal{D}^{\circ}$, em que \mathcal{D}° é o interior de \mathcal{D} , é chamado de **fronteira** de \mathcal{D} e a família

$$\{T(\mathcal{D}); T \in \Gamma\}$$

é chamada **tesselação** ou **ladrilhamento** de X. Notemos que sendo \mathcal{D} domínio fundamental de Γ , $T(\mathcal{D})$ também o será, para todo $T \in \Gamma$.

Exemplo 1.44. Seja $\Gamma \subset PSL(2,\mathbb{R})$ o subgrupo cíclico gerado por T(z)=2z. Temos então que para todo k>0 o semi-anel

$$\mathcal{D}_k = \{ z \in \mathbb{H}^2 | k < |z| < 2k \}$$

é um domínio fundamental de Γ como representado na Figura 1.2 e a tesselação determinada por este domínio é a família $\{\mathcal{D}_{2^nk}/n \in \mathbb{Z}\}$. De fato, temos

$$T(z) = 2z$$

 $T^{2}(z) = T(2z) = 2^{2}z$
 \vdots
 $T^{n}(z) = T(nz) = 2^{n}z$

e

$$T(\mathcal{D}_k) = 2k \le 2|z| \le 2^2k$$

$$T^2(\mathcal{D}_k) = 2^2k \le 2^2|z| \le 2^3k$$

$$\vdots$$

$$T^n(\mathcal{D}_k) = 2^nk \le 2^n|z| \le 2^{n+1}k$$

Verificando as condições da definição, temos

- i) $T^n(\mathcal{D}) = \mathcal{D}_{2^n k}$.
- ii) $\bigcup_{n\in\mathbb{Z}}\mathcal{D}_{2^nk}=\mathbb{H}^2.$
- iii) $(\mathcal{D}_{2^n k})^{\circ} \cap (\mathcal{D}_{2^m k})^{\circ} = \emptyset \text{ se } n \neq m.$

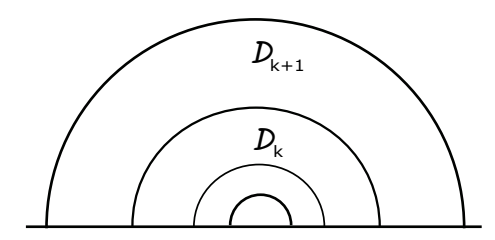


Figura 1.2: Domínios fundamentais do tipo \mathcal{D}_k do grupo cíclico $\Gamma = \langle T(z) = 2z \rangle$.

Exemplo 1.45. Seja $\Gamma \subset PSL(2,\mathbb{R})$ o grupo cíclico gerado por T(z)=z+1. Temos que

$$\mathcal{D}_k = \{ z \in \mathbb{H}^2 / k \le Re(z) \le k + 1 \}$$

é domínio fundamental onde $T_i \in \Gamma$. Como é representado na Figura 1.3

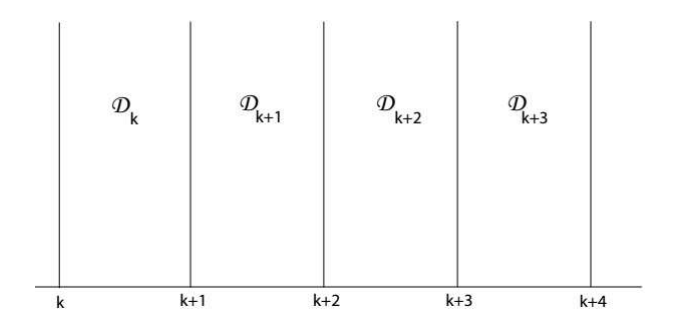


Figura 1.3: Domínios fundamentais do tipo \mathcal{D}_k do grupo cíclico $\Gamma = \langle T(z) = z + 1 \rangle$.

Domínios fundamentais não são únicos necessariamente, pois dado um grupo Fuchsianos pode-se ter diferentes domínios fundamentais.

Teorema 1.46. ([14], pág.: 59) Seja Γ grupo propriamente descontínuo de isometrias de um espaço métrico X e \mathcal{D} domínio fundamental de Γ . Seja $\Gamma' \subset \Gamma$ subgrupo de índice finito n e sejam $T_1, T_2, ..., T_n \in \Gamma$ tais que

$$\Gamma = \Gamma' T_1 \cup \Gamma' T_2 \cup ... \cup \Gamma' T_n$$

seja decomposição de Γ em Γ' -classes laterais, ou seja, $\Gamma'T_i = \{S \circ T_i; S \in \Gamma'\}$. Então,

$$\mathcal{D}' = T_1(\mathcal{D}) \cup T_2(\mathcal{D}) \cup ... \cup T_n(\mathcal{D})$$

é domínio fundamental de Γ' .

1.2.3 Domínio de Dirichlet

Nesta seção descreve em particular a construção de polígonos fundamentais convexos. Estabelecemos a existência destes tais polígonos para qualquer grupo Fuchsiano através do domínio de Dirichlet.

Definição 1.47. Seja Γ fuchsiano $e \ p \in \mathbb{H}^2$ tal que $T(p) \neq p$, para todo $T \in \Gamma$. Tal ponto existe, pois o conjunto dos pontos fixos por algum elemento de Γ é discreto. Chamamos de **Domínio de Dirichlet** centrado em p ao conjunto

$$\mathcal{D}_p(\Gamma) = \{ z \in \mathbb{H}^2 | d(z, p) \le d(z, T(p)), \text{ para todo } T \in \Gamma \}.$$

Isto é, consideramos a órbita $\Gamma(p)$ e escolhemos os pontos $z \in \mathbb{H}^2$ que estão mais próximos de p do que qualquer outro ponto da órbita $\Gamma(p)$.

Definição 1.48. Sejam $p, q \in \mathbb{H}^2$ pontos distintos. Chamamos de **bissetor perpendicular** dos pontos p e q o conjunto

$$\{z \in \mathbb{H}^2/d(z,p) = d(z,q)\}.$$

Lema 1.49. ([20], pág.: 54) O bissetor perpendicular de dois pontos p e q é a geodésica passando pelo ponto médio do segmento \overline{pq} e ortogonal a este.

Veremos no teorema a seguir que o domínio de Dirichlet são domínios fundamentais.

Teorema 1.50. ([14], pág.: 83) Seja Γ grupo fuchsiano, $\mathcal{D}_p(\Gamma)$ domínio de Dirichlet centrado em p. Então, $\mathcal{D}_p(\Gamma)$ é domínio fundamental da ação de Γ .

Exemplo 1.51. Seja Γ o grupo cíclico gerado por T(z) = z + 1. Como T é parabólico, Γ não possui pontos fixos e podemos considerar $p \in \mathbb{H}^2$ qualquer. Temos então que

$$\mathcal{A}_p(\Gamma) = \left\{ z \in \mathbb{H}^2 / |Re(z) - Re(p)| \le \frac{1}{2} \right\}$$

é domínio de Dirichlet de Γ . De fato, constata-se que

$$H_p(T) = \left\{ z \in \mathbb{H}^2 / Re(z) - Re(p) \le \frac{1}{2} \right\}$$

e.

$$H_p(T^{-1}) = \left\{ z \in \mathbb{H}^2 / Re(z) - Re(p) \ge -\frac{1}{2} \right\}$$

de modo que

$$\mathcal{D}_p(\Gamma) \subseteq \mathcal{A}_p(\Gamma).$$

Mas dado $z \in \mathbb{H}^2$, $com -\frac{1}{2} < Re(z) - Re(p) < \frac{1}{2}$, $temos que Re(T^n(z)) = Re(z) + n$, logo para |n| > 1,

$$|R(T^n(z)) - Re(p)| > \frac{1}{2}(|n| - 1) > \frac{1}{2}, \forall |n| > 1,$$

ou seja, se z for ponto interior de $\mathcal{A}_p(\Gamma)$, $T^n(z)$ não o será, a menos que $T^n = Id$, de modo que $\mathcal{D}_p(\Gamma) = \mathcal{A}_p(\Gamma)$.

Teorema 1.52. ([14], pág.: 87) Seja Γ grupo fuchsiano e $\mathcal{D} = \mathcal{D}_p(\Gamma)$ domínio de Dirichlet. Então o ladrilhamento $\{T(\mathcal{D}_p(\Gamma))/T \in \Gamma\}$ é localmente finito.

Observação 1.53. A fronteira de um domínio de Dirichlet é formada pela a união de geodésicas, raios geodésicos ou segmentos geodésicos. A cada uma destas geodésicas (raios ou segmentos) chamaremos de **aresta ordinárias**. Diremos que um ponto da fronteira de um domínio de Dirichlet é um **vértice ordinário** se este for a interseccção de duas arestas ordinárias distintas de $\mathcal{D}_p(\Gamma)$.

Teorema 1.54. ([14], pág.: 92) Cada classe de equivalência de arestas de um domínio de Dirichlet $\mathcal{D}_p(\Gamma)$ contém exatamente dois pontos.

Vemos então que se $\mathcal{D}_p(\Gamma)$ possui um número finito de arestas, este é necessariamente um número par. Mais ainda, dada uma aresta \mathcal{A}_1 , existe uma única outra aresta $\mathcal{A}_2 \neq \mathcal{A}_1$ e um único elemento de $T \in \Gamma$ tal que $T(\mathcal{A}_1) = \mathcal{A}_2$. Dizemos neste caso que $\{\mathcal{A}_1, \mathcal{A}_2\}$ é um **par de arestas congruentes** e que T relaciona o par, ou então que T emparelha as arestas. Observemos que se T relaciona o par $\{\mathcal{A}_1, \mathcal{A}_2\}$, então T^{-1} também o relaciona.

Teorema 1.55. ([20], pág.: 74) Seja $\mathcal{D} = \mathcal{D}_p(\Gamma)$ domínio de Dirichlet de Γ. Considere o conjunto

$$\{T_i|\ i\in I\}$$

de elementos de Γ que relaciona arestas distintas de \mathcal{D} . Então, $\{T_i|i\in I\}$ é o conjunto de geradores de Γ .

Definição 1.56. Definimos um ciclo como sendo uma classe de equivalência de vértices congruentes, ou seja, como sendo um conjunto da forma

$$\{T(z)|\ T\in\Gamma e\ ze\ T(z)\ s\~{ao}\ v\'{e}rtices\ de\ \mathcal{D}_p(\Gamma)\}.$$

Definição 1.57. Um grupo Fuchsiano Γ é dito **co-compacto** se o espaço quociente \mathbb{H}^2/Γ for compacto.

Os próximos resultados são importantes para o nosso trabalho.

Teorema 1.58. ([20], pág.: 72) Seja $\mathcal{D}_p(\Gamma)$ domínio de Dirichlet de Γ . Sejam $v_1, ..., v_r$ vértices de um ciclo e sejam $\theta_1, ..., \theta_r$ os ângulos internos nos respectivos vértices. Então, se denotarmos por m a ordem do estabilizador em Γ de um dos vértices do ciclo, temos que

$$\theta_1 + \dots + \theta_r = \frac{2\pi}{m}.$$

Definição 1.59. Seja Γ um grupo Fuchsiano. Então, \mathcal{P} é dito um **polígono fundamental convexo** de Γ quando \mathcal{P} e convexo e localmente finito em um domínio fundamental de Γ .

Sejam \mathcal{P} um polígono fechado conexo em \mathbb{H}^2 e \mathcal{A} o conjunto e todos as arestas de \mathcal{P} .

Definição 1.60. Um emparelhamento de arestas é o conjunto $\Phi = \{\gamma_{\tau} | \tau \in A\}$ de isometrias que, para toda aresta $\tau \in A$:

- i) Existe uma aresta $\tau' \in \mathcal{A} \ com \ \gamma_{\tau}(\tau') = \tau;$
- ii) As isometria γ_{τ} e γ'_{τ} satisfazem a relação $\gamma'_{\tau} = \gamma_{\tau}^{-1}$;
- iii) Se τ for aresta de \mathcal{P} , então $\tau' = \mathcal{P} \cap \gamma_{\tau}^{-1}(\mathcal{P})$.

1.2.4 Assinatura de um grupo Fuchsiano

Seja Γ um grupo Fuchsiano co-compacto. Temos que todo domínio de Dirichlet é compacto e portanto Γ é geometricamente finito. Se considerarmos então domínio de Dirichlet \mathcal{D} de Γ , temos um número finito de vértices de um ponto fixo de elementos elípticos de Γ . Se v_1, v_2 forem vértices de um mesmo cíclo então os estabilizadores Γ_{v_1} e Γ_{v_2} são conjugados, e tem portanto a mesma ordem, e podemos assim falar da ordem de um ciclo. Sejam $m_1, ..., m_r$ as ordens distintos ciclos elípticos de \mathcal{D} . Notemos que os pontos fixos de elementos elípticos devem estar contidos na fronteira de qualquer domínio fundamental, de modo que cada ciclo é representado na fronteira de qualquer domínio fundamental. Temos então que os números $m_1, ..., m_r$ não dependem de \mathcal{D} mas apenas de Γ .

Assim \mathcal{D}/Γ é superfície compacta, orientável, de gênero g, com r pontos $p_1, ..., p_r$ diferenciados.

Definição 1.61. Nas condições acima, chamamos de **assinatura** de Γ ao conjunto de inteiros $(g; m_1, ..., m_r)$.

Assim podemos enunciar o seguinte resultado:

Teorema 1.62. ([20], pág.: 91) Seja Γ grupo Fuchsiano co-compacto e $(g; m_1, ..., m_r)$ sua assinatura. Temos

$$\mu(\mathbb{H}^2/\Gamma) = 2\pi \left[(2g - 2) + \sum_{k=1}^r \left(1 - \frac{1}{m_k} \right) \right].$$

1.3 Trigonometria hiperbólica

Seja T_{\triangle} um triângulo hiperbólico compacto no plano hiperbólico com lados (arestas) a, b e c. Tal como no caso para um triângulo euclidiano, existem leis trigonométricas no plano hiperbólico que relacionam os ângulos internos de T_{\triangle} e os comprimentos hiperbólicos dos lados de T_{\triangle} .

Suponhamos que apenas um dos vértice de T_{\triangle} esteja no infinito, isto é, em $\partial_{\infty}\mathbb{H}^2$. Vamos ter duas arestas que serão determinadas por raios geodésicos, enquanto a terceira é determinada por um segmento geodésico, tem ângulo oposto a 0. Supondo assim que os ângulos do triângulo tem medida α, β e 0, com α e β não nulos, $|a| = |b| = \infty$ e $0 < |c| < \infty$. Temos os seguintes teoremas:

Teorema 1.63. ([7], pág.: 146) Para qualquer triângulo com ângulos α , β , θ , com α e β não-nulos, temos:

(i)
$$\cosh c = \frac{1 + \cos \alpha \cos \beta}{\sin \alpha \sin \beta}$$
.

(ii)
$$\operatorname{senh} c = \frac{\cos \alpha + \cos \beta}{\sin \alpha \sin \beta}$$
.

Teorema 1.64. ([7], pág.: 145) Seja T um triângulo com ângulos α , 0, $\pi/2$ ($\alpha \neq 0$). Então:

- (i) $senh b \cdot tan \alpha = 1$.
- (ii) $\cosh b \cdot \sec \alpha = 1$.
- (iii) $\tan b \cdot \sec \alpha = 1$.

Para triângulos com os ângulos α , β e $\pi/2$ temos os seguintes resultados:

Teorema 1.65. ([7], pág.: 147) Para qualquer triângulo com ângulos α , β e $\pi/2$, temos:

- (i) $\tanh b = \operatorname{senh} a \tanh \beta$.
- (ii) $\operatorname{senh} b = \operatorname{senh} c \operatorname{sen} \beta$.
- (iii) $\tanh a = \tanh c \cos \beta$.

Teorema 1.66. ([7], pág.: 147) Para qualquer triângulo com ângulos α , β e $\pi/2$, temos:

- (i) $\cosh a \operatorname{sen} \beta = \cos \alpha$.
- (ii) $\cosh c = \cot \alpha \cot \beta$.

A seguir apresentaremos o Teorema de Pitágoras hiperbólico.

Teorema 1.67. ([7], pág.: 146) Dado um triângulo com ângulos $\alpha, \beta, \frac{\pi}{2}$ e lados opostos de comprimento a, b, c, temos

$$\cosh c = \cosh a \cosh b$$
.

Para os próximos casos consideraremos um triângulo hiperbólico com lados a, b, c (finitos) e ângulos opostos α, β, γ , respectivamente.

Teorema 1.68. ([3], pág.: 183)

(i) Lei dos cossenos I:

 $\cosh c = \cosh a \cosh b - \operatorname{senh} a \operatorname{senh} b \cos \gamma.$

(ii) Lei dos cossenos II:

$$\cosh c = \frac{\cos \alpha \cos \beta + \cos \gamma}{\sin \gamma \sin \beta}.$$

(iii) Lei dos senos:

$$\frac{\operatorname{senh} a}{\operatorname{sen} \alpha} = \frac{\operatorname{senh} b}{\operatorname{sen} \beta} = \frac{\operatorname{senh} c}{\operatorname{sen} \gamma}.$$

1.3.1 Área Hiperbólica

Assim como na geometria Euclidiana, podemos calcular a área no plano hiperbólico, e veremos logo a seguir um dos principais resultado para calculo de área, que calculado sobre os triângulos hiperbólicos. Vejamos,

Definição 1.69. Dado um subconjunto $A \subset \mathbb{H}^2$, definimos sua área, denotada por $\mu(A)$, como sendo a seguinte integral

$$\mu(A) = \int_A \frac{dxdy}{y^2},$$

se esta existir e for finita.

Teorema 1.70. ([14], pág.: 42) Seja T um triângulo com ângulos internos α, β, γ , então

$$\mu(T) = \pi - \alpha - \beta - \gamma,$$

O Teorema 1.70 é conhecido como Fórmula de Gauss-Bonnet.

Teorema 1.71. ([1], pág.: 253) Seja α, β, γ um triângulo cujo os lados são segmentos geodésicos. Então α, β, γ possui área finita.

1.4 Superfície de Riemann

Ao longo deste trabalho, trabalharemos com superfície de Riemann de gênero g. Mas para compreendermos um pouco melhor, vamos definir primeiramente o que é uma variedade diferencial, em seguida algumas definições.

Definição 1.72. Uma variedade diferencial de dimensão "n" é um conjunto M e uma família de aplicações injetoras $\varphi_k : A_k \subset \mathbb{R}^n \to M$, onde k pertencente ao conjunto de índices e A_k aberto de \mathbb{R}^n e M satisfazendo:

1.
$$\bigcup_{k} \varphi_k(A_k) = M;$$

- 2. Para todos k_1 e k_2 , com $\varphi_{k_1}(A_{k_1}) \cap \varphi_{k_2}(A_{k_2}) = V \neq \emptyset$, os conjuntos $\varphi_{k_1}^{-1}(V)$ e $\varphi_{k_2}^{-1}(V)$ são abertos em \mathbb{R}^n e as aplicações $\varphi_{k_2}^{-1} \circ \varphi_{k_1}$ são diferenciáveis;
- 3. A família $\{(A_k, \varphi_k)\}$, chamada de **estrutura diferenciável**, é a máxima relativamente às condições acima.

Definição 1.73. Sejam $\Omega \subset \mathbb{C}$ um aberto, $z_0 \in \Omega$ e $f : \Omega \to \mathbb{C}$ uma função. Dizemos que f tem **derivada complexa** em z_o se o limite

$$\lim_{z \to z_0} \frac{f(z) - f(z_0)}{z - z_0}$$

existe. Se f tem derivadas complexas em todos os pontos de Ω , então ela \acute{e} chamada $função\ holomorfa$.

Definição 1.74. Uma função f é dita **meromorfa** em Ω , se f é holomorfa em Ω , exceto nas singularidades isoladas, que são todos pólos, ou singularidades removivéis de f.

Definição 1.75. Seja R um espaço de Hausdorff conexo com a família $\{(U_j, \varphi_j)\}_{j \in J}$ satisfazendo as condições a seguir:

- 1. Onde U_j é um subconjunto aberto de R, e $R = \bigcup_{i \in J} U_i$;
- 2. onde φ_j é um homeomorfismo de U_j sobre um conjunto aberto D_j no plano complexo \mathbb{C} ;
- 3. Se $U_i \cap U_k \neq \emptyset$, então a função transição

$$\varphi_{kj} = \varphi_k \circ \varphi_j^{-1} : \varphi_j(U_j \cap U_k) \to \varphi_k(U_j \cap U_k)$$

é uma aplicação biholomorfa, isto é, um homeomorfismo holomorfo.

Então, R é uma superfície de Riemann.

São exemplo de superfícies de Riemann:

- Plano complexo \mathbb{C} ;
- O semiplano superior H;
- A esfera de Riemann $\hat{\mathbb{C}} := \mathbb{C} \cup \{\infty\}$ (homeomorfo a esfera);
- g-toros.

A superfície de Riemann homeomorfa a esfera com g alças é chamada de **superfície de Riemann fechada de gênero g**. A esfera de Riemann é de gênero 0, o Toro é de gênero 1. É conhecido que cada superfície de Riemann compacta é uma superfície fechada de gênero finito.

Definição 1.76. Sejam X e Y espaços topológicos e I = [0,1]. Duas aplicações contínuas $f, g: X \to Y$ dizem-se **homotópicas** quando existe uma aplicação contínua

$$H: X \times I \to Y$$

tal que H(x,0) = f(x) e H(x,1) = g(x) para todo $x \in X$. A aplicação H chama-se então uma **homotopia** entre f e g.

Definição 1.77. Sejam X um espaço topológico e p_0 um ponto de X. O caminho em X que começa e termina em p_0 é chamado de laço (ou loop) baseado em p_0 . O conjunto de classes homotópicas dos laços baseada em p_0 , com a operação *, é chamado de grupo fundamental de X baseada no ponto p_0 . E denotamos por

$$\pi_1(X,p_0)$$
.

Seja R uma superfície de Riemann de gênero g. Consideremos um ponto p_0 sobre R e o grupo fundamental $\pi_1(R, p_0)$, então

- R tem 2g geradores.
- Se tomarmos p_0 sobre R e cortarmos R ao longo das curvas simples e fechadas $A_1, B_1, ..., A_g, B_g$, tendo como ponto base p_0 , temos um domínio homeomorfo ao polígono convexo com 4g lados.

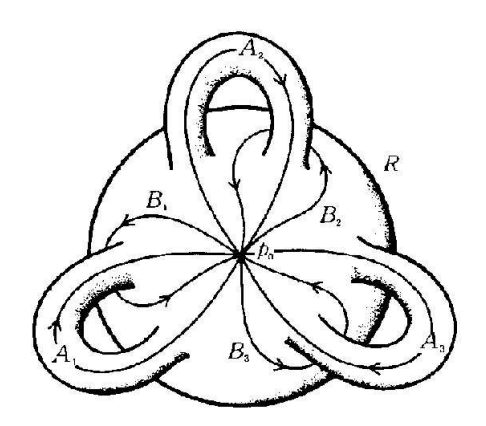


Figura 1.4: Superfície de Riemann R de g=3

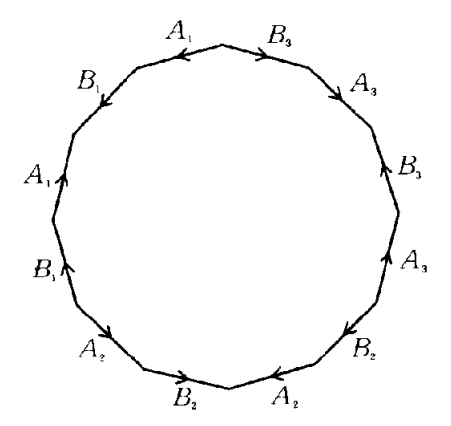


Figura 1.5: polígono fundamental associado a R com g=3

1.5 Geometria de superfícies hiperelípticas

Definição 1.78. Uma superfície de Riemann S é dita **hiperelíptica** se ela admite uma função meromorfa com 2 pólos contando a multiplicidade.

Definição 1.79. Um revestimento ramificado é uma aplicação entre espaços topológicos $\tilde{\Sigma}$ e Σ que é um recobrimento, exceto num subconjunto discreto de Σ .

Pela fórmula de Hurwitz, o número de pontos de ramificações do revertimento $f: S \to \hat{\mathbb{C}}$ e necessariamente 2g+2, onde g designa o gênero de S.

Todas as superfícies de Riemann de gênero inferior ou igual a 2 são hiperelíptica. Para esfera e toros podemos facilmente exibir morfismo de grau 2: $z \to z^2$ para a esfera, a função \wp de Weierstrass para os toros. Para gênero 2, o resultado vem do Teorema de Riemann-Roch.

Teorema 1.80. ([27], pág.: 110) Seja $f: S \to \hat{\mathbb{C}}$ um revestimento ramificado de grau 2 e $z_1, ..., z_{2g+2}$ os pontos de ramificação (sobre $\hat{\mathbb{C}}$). Então, S é a superfície de Riemann associada à curva planar de equação

$$y^2 = \prod_{i=1}^{2g+2} (x - z_i)$$

(somente 2g+1 termos se z_i vale ∞). Reciprocamente, a superfície de Riemann associada a uma curva de equação $y^2 = \prod_{i=1}^n (x-z_i)$ ($z_i \in \mathbb{C}$ distintos) é hiperelíptica de gênero $\frac{n-1}{2}$. Em particular, existe uma curva hiperelíptica de cada gênero.

Aparentemente, as superfície de hiperelípticas de gênero g são parametrizadas por 2g-1 coordenadas complexas, porque três z_i de 2g+2 podem ser fixos por ação de um homografia sobre a esfera. Os espaço de módulos de uma superfície hiperelíptica de gênero g é de dimensão 2g-1 complexo, contra 3g-3 para espaço de módulos da superfície de Riemann de gênero g.

1.6. Teoria de Grafo

Corolário 1.81. ([27], pág.: 111) O morfismo $f: S \to \hat{\mathbb{C}}$ de grau 2 é único automorfismo de $\hat{\mathbb{C}}$ para $g \geq 2$. Em particular, os pontos de ramificação sobre S está bem definido.

As superfícies hiperelípticas se caracterizam pela existência de uma **involução** hiperelíptica

Teorema 1.82. ([27], pág.: 111) Uma superfície de Riemann S é hiperelíptica se, e somente se, existe uma involução conforme ι_S sobre S fixando exatamente 2g+2 pontos.

Definição 1.83. A involução ι_S é chamada de involução hiperelíptica de S, e esse pontos fixados são pontos de Weierstrass de S.

Exemplo 1.84. Descrevendo topologicamente a situação a seguir. Uma maneira de representar o 8 (figura) com o contorno no plano xy é da seguinte forma

$$(((x-1)^2 + y^2) - 1)(((x-1)^2 + y^2) - 1) = 0. (1.2)$$

Agora analisando o 8 (1.2) como subconjunto de \mathbb{R}^3 . O limite da sua vizinhança tubular é uma superfície de gênero 2. Rotacionando o eixo x por π , a involução hiperelíptica fixa 6 pontos nesta superfície, ou seja, um par de pontos fixos perto de cada um dos pontos -2, 0, +2 do eixo x. O quociente pela a rotação é homeomorfo a esfera.

1.6 Teoria de Grafo

Definição 1.85. Um grafo G é formado por um par (V(G), A(G)) onde V(G) é um conjunto finito não-vazio. Os elementos de V(G) são chamados de **vértices** e A(G) uma família de pares ordenados de elementos que são chamados de **arestas**, não necessariamente distinto de V(G). Uma família é uma coleção de elementos, os quais podem ser repetidos. Uma aresta $\{w_1, w_2\} \in A(G)$ será denotada por w_1w_2 .

O grau de um vértice w é o número de arestas que contém w, denotado por q(w).

Definição 1.86. Um grafo H é um **subgrafo** de um grafo G se $V(H) \subseteq V(G)$ e $A(H) \subseteq A(G)$. Um subgrafo de G é **próprio** se $V(H) \neq V(G)$ ou $A(H) \neq A(G)$.

Um caminho C em um grafo é uma sequência alternada de vértices e arestas, iniciando e terminando com vértices. Suponhamos

$$C = w_0, a_1, w_1, a_2, w_2, a_3, ..., a_n, w_n$$

onde $a_i = (w_{i-1}, w_i)$, $0 < 1 \le n$. Dizemos que C é um caminho de w_0 a w_n e este pode ser denotado por $w_0 w_1 ... w_n$.

Definição 1.87. Um grafo G é **conexo** se, para qualquer par, v e w, de vértices de G existe um caminho com extremos de v e w. Caso contrário, G é desconexo.

1.6. Teoria de Grafo 30

Um grafo G desconexo é formado por pelo menos dois subgrafos conexos disjuntos em relação ao vértices. Cada um destes subgrafos é dito ser uma componente conexa de G.

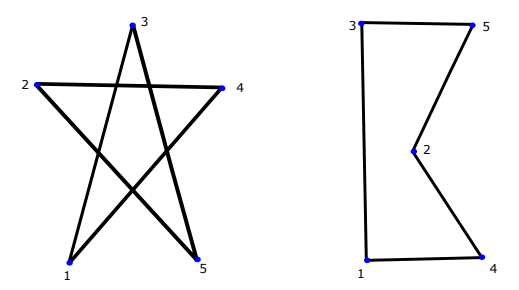


Figura 1.6: Grafos isomorfos.

Definição 1.88. Dois grafos G e H são ditos **isomorfos**, se existe uma bijeção f: $V(G) \rightarrow V(H)$ tal que

$$vw \in A(G) \Leftrightarrow f(v)f(w) \in A(H)$$

para todo $v, w \in G$ e além disso, o número de arestas unindo v e w em G é igual ao número de arestas unindo f(v)f(w).

Se G é isomorfo a H então, dois vértices v e w são adjacentes em G se, e somente se, f(v) e f(w) são adjacentes em H.

Capítulo 2

Sístole

A Figura 2.1, representa uma superfície S tridimensional do espaço euclidiano, uma curva fechada em S é uma curva que parece topologicamente com um círculo, porque S tem a topologia de um toro. Em S vão existir curvas fechadas que não são contráteis em um ponto de S. Iremos ver que a sístole de S, é o menor comprimento dessas curvas. Teremos um limite inferior positivo que será realizado por pelo menos uma curva, que será uma geodésica fechada. O termo matemático sístole foi adotado em 1980.

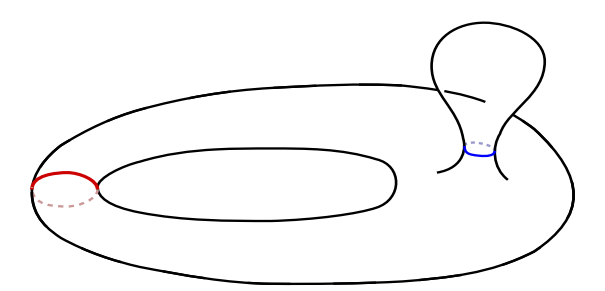


Figura 2.1: A geodésica fechada à direita não é uma sístole porque é contrátil.

A Figura 2.1 mostra intuitivamente que, dada uma sístole de S, a área de S, A(S), não pode ser demasiadamente tão pequena. A pergunta natural é: Qual a relação da sístole com A(S)? Assim surgiu a procura de um tipo de desigualdade isoperimétrica, que a relação entre uma comprimento de uma curva e área da superfície onde tal curva se encontra. A primeira pessoa que resolveu este problema foi Loewner, que em 1949 mostrou essa relação para qualquer superfície do tipo topológico de um toro. Assim surgindo a desigualdade isosistólica. Loewner provou que essa igualdade é alcançada apenas para o toro planar.

Logo depois, as pesquisas foram no caminho de generalizar o Teorema de Loewner. Então considerando superfícies mais gerais do que a do toro, por exemplo o plano projetivo, P.PU um estudante de Loewner conseguiu estabelecer também uma relação para essa superfície. Mas o principal avanço nestas generalizações foi em 1983 com Gromov que também conseguiu introduzir alguns novos conceitos na geometria. Porém para outros questionamentos sobre esse assunto ainda contínua em aberto.

Apesar da sua introdução bastante recente, as sístoles já são utilizadas em vários domínios, um deles são na geometria algébrica e na topologia algébrica, e também está relacionado com entropia e o volume esférico.

Além do mais, encontrar as sístoles de uma superfície é uma tarefa árdua e difícil, e neste capítulo depois de conhecer os principais resultados da desigualdades isosistólica, falaremos das Constantes de Bers, que é um limitante superior para as geodésicas que decompõem uma superfície de Riemann de gênero $g \geq 2$ em calças, e são importantes para majorar os comprimentos da sístole que iremos considerar. As principais referências desse capítulo são: [4], [6], [7], [8], [11], [13], [16], [17], [21], [22], [28], [29] e [30].

2.1 Panorama sistólico

Definição 2.1. Seja M uma variedade riemanniana fechada não simplesmente conexa, munida de uma métrica φ. A **sístole** de M, denotada por

$$sys(M, \phi),$$

é definida como menor comprimento das geodésicas fechadas, simples e não contráteis. Para não existir confusão, chamaremos as sístoles de M as geodésicas fechadas, simples e não contráteis de menor comprimento.

Um dos exemplos de geodésicas fechadas são as curvas obtidas pelo eixo de uma transformação hiperbólica em \mathbb{H}^2 , que quando passada por um quociente Γ formam uma superfície e esses eixos serão geodésicas fechadas. No Capítulo 4, calcularemos os comprimentos dessas geodésicas a partir da matriz associada a uma transformação hiperbólica.

Outro exemplo de menores geodésicas, são curvas que decompõe uma superfície de Riemann compacta de gênero $g \ge 2$ em calças.

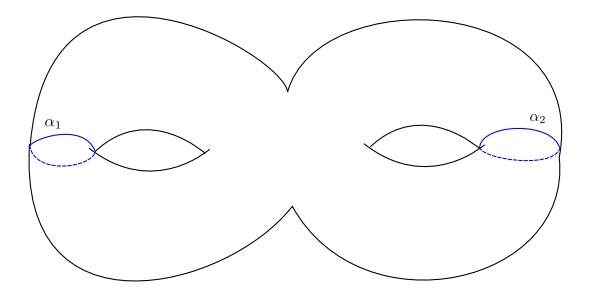


Figura 2.2: Bitoro.

2.1.1 Desigualdades isosistólicas

De maneira geral, o interesse em sístoles reside em pesquisar desigualdades universais, chamadas isosistólicas, que tem a seguinte notação:

$$sys^n(M, \phi) \le c_M Vol(M),$$

onde n designa a dimensão da variedade e c_M uma constante estritamente positiva que não depende da métrica ϕ . A exploração deste tema ganhou um grande impacto em 1983 com a publicação do trabalho de M. Gromov. Este provou a existência de uma constante c_M para uma larga escala de variedades, e estabeleceu assim desigualdades isosistólicas para superfície compactas. A determinação de constante c_M ótimas (ou ideais) e a descrição de métricas ainda estão sendo procuradas, mas temos casos bastante conhecidos.

Em 1949, Loewner provou a primeira desigualdade isosistólica e ele obteve o seguinte resultado.

Teorema 2.2. ([21], pág.: 42) Toda métrica riemanniana ϕ no toro T^2 satisfaz a designaldade

$$sys^2(T^2, \phi) \le \frac{2}{\sqrt{3}} \cdot \acute{a}rea(T^2, \phi),$$
 (2.1)

onde $c_M = \frac{2}{\sqrt{3}}$ é a constante de Hermite.

A métrica atinge o valor ótimo em 2.1 se ela for necessariamente plana e homotópica ao quociente de \mathbb{C} pela estrutura gerada pelas raízes cúbicas da unidade.

Logo depois, P.Pu em 1952 apresentou o resultado para o plano projetivo

Teorema 2.3. ([21], pág.: 40) Seja \mathbb{RP}^2 o plano projetivo real com a métrica riemanniana ϕ . Então,

$$sys^2(\mathbb{RP}, \phi) \le \pi/2 \cdot \acute{a}rea(\mathbb{RP}^2),$$

onde $\pi/2$ é a melhor constante.

E em 1986, C. Barvard apresentou o resultado para a garrafa de Klein.

Teorema 2.4. ([4], pág.: 439) Para toda métrica riemanniana ϕ sobre a garrafa de Klein \mathbb{K} ,

$$sys^2(\mathbb{K}, \phi) \le \frac{\pi}{2\sqrt{2}} \cdot \acute{a}rea(\mathbb{K})$$

com,

- i) igualdade para métrica K_0 ; ([4], p. 440)
- ii) estritamente desigual se ϕ é suave.

2.1.2 Sístole de uma superfície de Riemann

A sístole de uma superfície de Riemann foi objeto de profundos estudos entre 1993 e 2003. O artigo [29] de Paul Schumtz Schaller marcou um avanço importante nas pesquisas de superfícies maximais para a sístole. O trabalho [5] de C. Bavard fornece um bom quadro teórico que é baseado na teoria das malhas euclidianas.

Em 1993, Paul Schumtz Schaller apresenta uma nova abordagem. A sístole torna-se um função contínua sobre o espaço de Teichmüller 1 , \mathcal{T}_g , invariante sobre ação do grupo modular. E C. Bavard definiu a sístole para uma superfície de Riemann como

Definição 2.5. A sístole de uma superfície de Riemann é definida como a menor função de comprimento geodésico sobre o espaço de Teichmüller e invariante sobre a ação de um grupo modular.

Schumtz Schaller generalizou assim a sístole. Considerando a família de K-geodésicas fechadas, simples e disjuntas, ele associa a cada uma delas uma função comprimento correspondente em todo ponto ao comprimento da maior geodésica:

$$l_{\gamma_1,\dots,\gamma_k}(M) = \sup(l_{\gamma_1}(M),\dots,l_{\gamma_k}(M)) \qquad (M \in \mathcal{T}_q)$$

E introduziu a K-sístole como o mínimo das funções comprimentos

$$sys_k=\inf\{l_{\{\gamma_1,...,\gamma_k\}}| \text{ onde } \gamma_1,...,\gamma_k \text{ são K geodésicas fechadas simples e disjuntas }\}$$

Um problema clássico de geometria de superfície é a procura de métricas hiperbólicas sobre uma superfície de dado gênero que maximiza a sístole. Métricas que maximizam localmente sobre essas superfícies são ditas *extremas*. Porém, até o momento, pouco se sabe sobre essas superfícies. Na verdade, somente para gênero 2, está completamente resolvido, com a existência de uma única superfície extrema que é a superfície de Bolza. Para gênero 3 até o momento ainda não foram encontradas.

2.2 Constante de Bers

Toda superfície de Riemann compacta de gênero $g \geq 2$ pode ser decomposta em calças (ou Y-peças) por geodésicas fechadas, simples e disjuntas. Mas o que podemos dizer sobre o comprimento das geodésicas envolvidas nesta decomposição? Bers mostrou que existe uma constante que depende apenas do gênero que limita superiormente o tamanho destas geodésicas, e este teorema de Bers tem numerosas consequências para a geometria de superfície de Riemann compactas. Antes de apresentarmos este resultado mostraremos como é feito essas calças, que são blocos de construção para toda superfície de Riemann compacta de gênero maior do que 1.

¹Sobre o assunto indicamos as seguintes referências: [13], [18], [25] e [31].

2.2.1 Colagem

Seja S e S' dois polígonos hiperbólico convexos de \mathbb{H}^2 tal que os ângulos interiores não são maiores que π . Usando uma isometria $m \in Isom(\mathbb{H}^2)$ que move de acordo com a Figura 2.3 Então $S*:=m(S)\cup S'$ é novamente um polígono hiperbólico convexo.

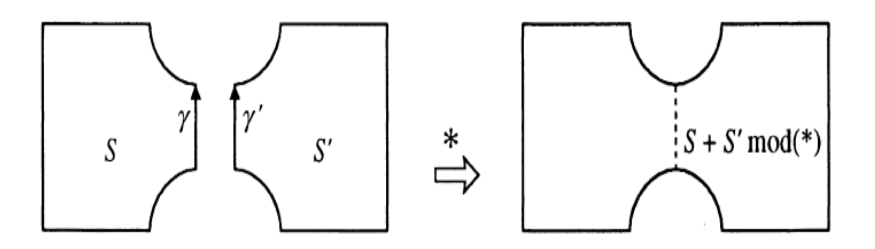


Figura 2.3: Colagem.

Agora observando a construção S* nos necessitamos mover S. Colamos S e S' ao longo de γ e γ' . Assumindo S e S' disjuntos. Seja $\gamma:[0,1]\to S$ e $\gamma':[0,1]\to S'$ uma parametrização de um dos lados. Então existe uma isometria $m\in Isom(\mathbb{H}^2)$ tal que

$$m(\gamma(t)) = \gamma'(t), \quad t \in [0, 1].$$

Definindo a relação de equivalência da união disjunta $S \cup S'$ a seguir.

Definição 2.6. Todo ponto $p = \gamma(t), t \in [0,1]$, a classe de equivalência consiste em dois pontos $\gamma(t)$ e $\gamma'(t)$. Para todo ponto $p \notin \gamma \cup \gamma'$ a classe de equivalência consiste em um único ponto p. Diremos que a relação de equivalência e definida pela a **condição de colagem**

$$m(\gamma(t))=\gamma'(t),\quad t\in[0,1].\quad (*)$$

e denotada por

$$F = S + S'mod(*)$$

 $F \not e isométrico ao domínio S* := m(S) \cup S'$

2.2.2 Construção das calças

Seja G um hexágono geodésico com ângulos retos no plano hiperbólico com lados consecutivos

$$\alpha_1, c_3, \alpha_2, c_1, \alpha_3, c_2$$

e seja G' uma cópia disjunta de G com lados correspondentes

$$\alpha'_1, c'_3, \alpha'_2, c'_1, \alpha'_3, c'_2$$

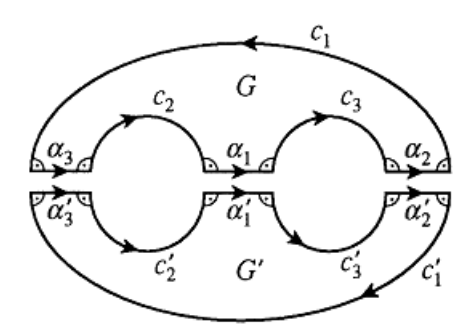


Figura 2.4: Construção da calça.

Parametrizamos todos os lados no intervalo [0, 1], com uma velocidade constante

$$t \mapsto \alpha_i(t), \quad t \mapsto \alpha'_1(t)$$

 $t \mapsto c_i(t), \quad t \mapsto c'_1(t),$

onde $t \in [0,1]$ e i=1,2,3, tal que os lados de G e G' em conjunto formam uma curva de fronteira fechada.

Tomando a condição de colagem

$$\alpha_i(t) = \alpha'_i(t) := a_i(t)$$
 $t \in [0, 1], i = 1, 2, 3, (**)$

definimos uma 3-esfera com furos.

Seja Y uma superfície tal que

$$Y = G + G'mod(**),$$

que herda as estruturas hiperbólicas de G e G'.

Uma vez que todos os ângulos são ângulos retos, as curvas da fronteira

$$t \mapsto \gamma_i(t) := \begin{cases} c_i(2t), & \text{se } 0 \le t \le 1/2 \\ c_i'(2-2t), & \text{se } 1/2 \le t \le 1, \end{cases}$$
 (2.2)

onde i=1,2,3, são geodésicas fechadas.

Assim, Y é uma par de calças.

2.2.3 Constante de Bers

Definição 2.7. Seja S superfície compacta de Riemann de gênero $g \ge 2$. Uma **partição** em S é um conjunto de 3g-3 geodésicas fechadas, simples e mutualmente disjuntas.

Bers provou que para todo superfície compacta de Riemann de gênero $g \geq 2$, a partição $\gamma_1, ..., \gamma_{3g-3}$ tem comprimento geodésico

$$l(\gamma_1), ..., l(\gamma_{3q-3}) \le B(g),$$

onde B(g) é uma constante que depende somente do gênero g. A melhor constante possível com essa propriedade é denotado por B(g) e é chamada de **Constante de Bers**. O melhor resultado conhecido é o de Peter Buser [11] que diz:

Teorema 2.8. ([11], pág.: 123) Cada superfície de Riemann compacta de gênero $g \ge 2$ tem uma partição $\gamma_1, ..., \gamma_{3g-3}$ que satisfaz a designaldade

$$l(\gamma_k) \le 4k \log \frac{8\pi(g-1)}{k}, \quad k = 1, ..., 3g - 3.$$

Diante de uma ordenação sobre o comprimento da partição $\gamma_1, ..., \gamma_{3g-3}$, temos que a maior geodésica é limitada por $\leq 26(g-1)$, ou seja, $l(3g-3) \leq 26(g-1)$.

A partir desse teorema, temos o seguinte limite superior para a constante de Bers

$$B(g) \le 26(g-1). \tag{2.3}$$

Além disso, o próximo resultado dá um limite inferior para B(g).

Teorema 2.9. ([11], pág.: 123) $B(g) \ge \sqrt{6g} - 2$ para todo $g \ge 2$.

Agora vejamos outro teorema, mas agora para uma variedade bidimensional.

Teorema 2.10. ([11], pág.: 124) Seja M uma variedade de Riemann bidimensional compacta e orientável arbitrária de gênero ≥ 2 . Então, existe uma decomposição de M em 3-esferas com alças por geodésicas simples e mutualmente disjuntas $\gamma_1, ..., \gamma_{3g-3}$ de comprimento

$$l(\gamma_k) < 3\sqrt{kA}, \quad k = 1, ..., 3q - 3,$$

onde A é área de M.

Seja Suma superfície de Riemann compacta de gênero $g \geq 2.$ Pelo teorema de Gauss-Bonnet, a área de S é

$$\Delta_S = 4\pi(g-1)$$

Dado $p \in S,$ denotamos U_p^r o conjunto dos pontos mais próximo de p

$$U_p^r = \{ q \in S | \operatorname{dist}(p, q) < r \}$$

para r>0 suficientemente pequeno. U_p^r é isométrico a um disco aberto de raio r em \mathbb{H}^2 .

Definição 2.11. O supremo de todo r para qual U_p^r é isométrico a um disco é chamado de **raio de injetividade** de S em p, e denotado por $r_p(S)$. O raio de injetividade de S é definido por

$$r_{inj}(S) = \inf\{r_p(S) | p \in S\}.$$

Lema 2.12. ([11], pág.: 96) Seja $r_p(S) = \frac{1}{2}l(\gamma_p)$, onde γ_p é a menor geodésica fechada passando por p, e $r_{inj}(S) = \frac{1}{2}l(\gamma)$, onde γ é a menor geodésica fechada em S. Então, γ_p e γ são curvas simples.

Proposição 2.13. Em S existe uma geodésica simples e fechada γ de comprimento $l(\gamma) \leq 2 \operatorname{arccosh}(2g-1)$.

Demonstração: Seja γ a menor geodésica não-trivial em S e fixando um ponto $p \in \gamma$. Temos que conjunto distância é dado por

$$U = \{ q \in S \mid \operatorname{dist}(p, q) < r \}.$$

O raio r é menor que $l(\gamma)/2$ pelo o Lema 2.12. Usando coordenadas polares nos calculamos a área para valores de r de seguinte maneira.

$$\Delta_U = 2\pi \int_0^p \operatorname{senh} \rho d\rho = 2\pi (\cosh r - 1)$$

Por outro lado, $U \subset S$ e

$$\Delta_U \leq \Delta_S = 4\pi(g-1).$$

Tomando $r = \frac{1}{2}l(\gamma)$, temos

$$2\pi(\cosh(\frac{1}{2}l(\gamma)) - 1) \leq 4\pi(g - 1) \Rightarrow \cosh(\frac{1}{2}l(\gamma)) - 1 \leq 2(g - 1) \Rightarrow \frac{1}{2}l(\gamma) \leq \operatorname{arccosh}(2(g - 1) + 1) \Rightarrow l(\gamma) \leq 2\operatorname{arccosh}(2g - 1)$$

Como vimos, a constante de Bers não possui valores exatos, existe apenas limitantes inferiores e superiores. No próximo capítulo, exibiremos um valor para essa constante quando o gênero da superfície for igual a dois.

Capítulo 3

Constante de Bers em gênero 2

As geodésicas, fechadas, simples e disjuntas que decompõe a superfície em calças, como vimos no capítulo anterior, são majoradas pela constante de Bers. Temos que essas geodésicas possuem dois limitantes conhecidos $\sqrt{6g-2} \leq B(g) \leq 26(g-1)$, $g \geq 2$. Sabemos que superfície de Riemann com g=2 possui uma geodésica separante.

Neste capítulo trabalharemos com a superfície de Riemann de gênero 2, representada por X, construída por Paul Schumtz em [29], onde ela vai maximizar os comprimentos das geodésicas fechadas que decompõem a superfície em calça. Veremos que cada toro limitado por ξ , possui três pontos de Weiertrass, w_0, w_1, w_2 ou w_3, w_4, w_5 , que serão próximos um dos outros, e os dois pontos de Weierstrass que situam-se um de cada lado de ξ , w_0 e w_3 , serão distantes um do outro, como representado na Figura 3.1.

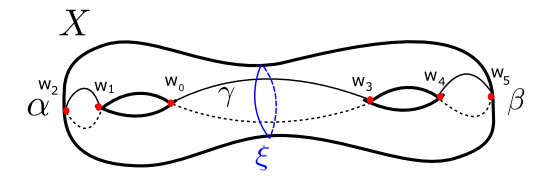


Figura 3.1: Geodésica separante ξ

As geodésicas α, β e γ que decompõem uma superfície de gênero 2 em calças serão as 3-sístole de X que são da seguinte forma: duas geodésicas estarão cada uma em um dos toros limitados por ξ , enquanto a terceira liga um ponto de Weiertrass de cada toro, cortando ξ em dois pontos. Para demonstrar isso, vamos apresentar o **grafo** de **contiguidade**, que veremos a seguir. As principais referências deste capítulo são: [5],[15],[16],[29].

¹Uma **geodésica separante** de uma superfície de Riemann de gênero g=2, denotada por ξ , é uma geodésica que separa esta superfície em dois toros com bordo.

3.1 Grafo de contiguidade

Christophe Bavard desenvolveu uma abordagem da sístole sobre uma superfície de Riemann baseado no argumento da densidade de empacotamento de esferas. Sobre esse argumento temos duas observações interessantes: a primeira que os pontos de Weierstrass desempenham um papel preponderante e serão úteis para estudar sua distribuição sobre superfície. A segunda é que se uma superfície de Riemann de gênero 2 possui três geodésicas disjuntas que realizam o raio de injetividade em um ponto, então a 3-sístole é a menor. Com efeito, o limite sobre o raio de injetividade de [5] permite majorar o comprimento destas geodésicas por $2 \operatorname{arccosh}(2,88)$ dado pelo teorema a seguir:

Teorema 3.1 ([5], pág.: 192). Seja R uma superfície de Riemann compacta de gênero $g \ge 2$ e $\beta_g = \frac{\pi}{12g-6}$.

i) Se um disco aberto de raio r é mergulhado em R, então

$$\cosh r \le \frac{1}{\operatorname{sen} \beta_g}.$$

ii) Se um disco fechado de raio r recobre R, então

$$\cosh r \ge \frac{1}{\sqrt{3}\tan\beta_g}$$

A consequência deste Teorema é obtenção de dois invariantes globais de R: a **sístole** aqui denotado por l(R) e o **diâmetro** d(R).

Corolário 3.2. Para toda superfície de Riemann compacta de gênero $g \ge 2$, temos:

$$\cos \frac{l(R)}{2} \le \frac{1}{2 \sin \beta_g} e \cosh d(R) \ge \frac{1}{\sqrt{3} \tan \beta_g}.$$

Tomando g = 2, temos $\beta_g = \frac{\pi}{18} = 10^{\circ 2}$ de modo que,

$$\cosh \frac{l(R)}{2} \leq \frac{1}{2 \sin 10} \\
\leq \frac{1}{2 \cdot 0, 1736} \\
\leq \frac{1}{0, 3472} \\
< 2, 88.$$

²o valor está em graus

Assim,

$$l(R) \le 2 \operatorname{arccosh}(2, 88).$$

E por [30] é conhecido que $B(2) > 2\operatorname{arccosh}(4,67)$.

Introduzimos um grafo geodésico cujos vértices são os pontos de Weierstrass. Tentaremos então determinar as configurações possíveis para este grafo sobre uma hipótese de minoração da 3-sístole $\geq 2 \arccos(4,67)$. Neste capítulo consideramos X sendo uma superfície de Riemann de gênero 2 e salvo menção contrária, por geodésica nos entenderemos como geodésica fechada simples e não-contrátil. E também quando não houver confusão o nome da geodésica ainda designará o seu comprimento, ou seja, $\gamma = l(\gamma)$. Para introduzir algumas definições consideremos provisoriamente uma superfície hiperbólica S munida de uma involução hiperelíptica.

Definição 3.3. Chamaremos **grafo regular**, todo grafo geodésico obtido pelo quociente de um involução hiperelíptica de um sistema de geodésicas que satisfazem as propriedades a seguir:

- i) cada geodésica passa por exatamente dois pontos de Weierstrass,
- ii) duas geodésicas não se interceptam em único ponto de Weierstrass,
- iii) para cada ponto de Weierstrass passa ao menos uma geodésica.

Observação 3.4. 1. Os vértices de um grafo regular é bem entendido como os pontos de Weierstrass.

- 2. Por um vértice passa ao menos uma aresta.
- 3. Dois vértice são ligados por no máximo uma aresta.

Definição 3.5. Chamaremos grafo de contiguidade da superfície S, denotada por $G_{cont}(S)$ o grafo métrico obtido pelo quociente das involuções hiperelípticas do conjunto das geodésicas que satisfazem a distância entre um ponto de Weierstrass e o conjunto dos pontos de Weierstrass restantes.

Observação 3.6. O grafo de contiguidade será construído através dos pontos fixados pelas involuções hiperelípticas, onde os pontos fixos serão as vértices e as geodésicas que ligam esses pontos serão as arestas e isso sobre a superfíce gerada pelo o quociente das involuções hiperelípticas. No caso para uma superfíce de Riemann de gênero g=2 teremos que o grafo de contiguidade estará sobre uma superfície homeomorfa a uma esfera, como vimos no Exemplo 1.84.

Observação 3.7. Em superfícies com de gênero g = 2, teremos 6 pontos de Weierstrass, já que a involução hiperelíptica fixa 2g + 2 pontos pelo Teorema 1.82.

O lema seguinte mostra que os pontos do grafo de contiguidade são exatamente os pontos de Weierstrass.

Lema 3.8. Seja γ e γ' duas geodésicas distintas que satisfazem cada uma a distância entre um ponto de Weiertrass e o conjunto de pontos de Weierstrass que restaram. Então, os pontos de intersecção de γ e γ' são os pontos de Weierstrass.

Demonstração: Se γ e γ' tem um ponto de Weierstrass em comum, então o resultado é imediato. Consideremos o caso onde as duas geodésicas não passam pelo mesmo ponto de Weierstrass. Para fixar as ideias, diremos que γ passa por w_1, w_2 e satisfaz a distância entre w_1 e os outros pontos de Weierstrass, e γ' passa por w_3, w_4 e realiza a distância de w_3 e os outros pontos de Weierstrass.

Suponhos por absurdo que existe um ponto p pertencente a γ e γ' . Se por exemplo $d(p, w_2) \leq d(p, w_4)$, então

$$d(w_3, w_2) < d(w_2, p) + d(w_3, p) < d(w_4, p) + d(w_3, p) < d(w_3, w_4)$$

Que é uma contradição.

Observação 3.9. As arestas do grafo de contiguidade não se intercepta fora do vértices, assim o grafo de contiguidade é um grafo regular.

Definição 3.10. Um grafo será dito minimal se minimiza o número de arestas entre os grafos com o mesmo número de componentes conexas. Um subgrafo do grafo G será chamado minimal se minimiza o número de arestas entre os subgrafos de G que tem mesmo número de vértices e componentes conexas que G.

Exemplo 3.11. Apresentamos na Figura 3.2 todos os grafos minimais de 6 vértices, sem vértices isolados; classificados de acordo com número de componentes conexas.

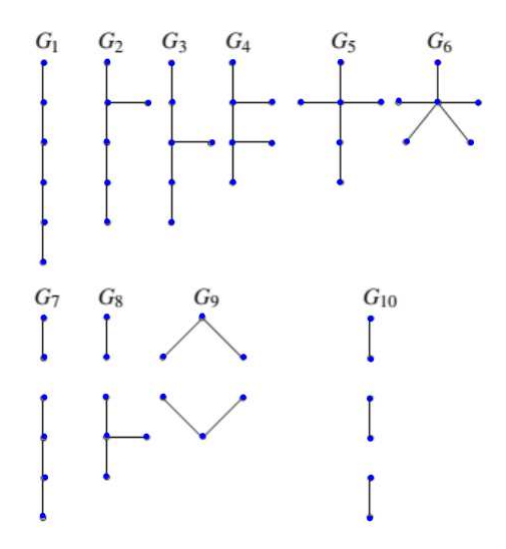


Figura 3.2: Grafo minimal de 6 vértices.

A proposição a seguir nos dá uma configuração dos subgrafos minimais do grafo de contiguidade sobre a hipótese de minoração da 3-sístole.

Proposição 3.12. Seja X uma superfície de Riemann de gênero 2 que satisfaz a hipótese $sys_3 \geq 2\operatorname{arccosh}(4,67)$. Seja G um grafo geodésico sobre a esfera $X/\langle \iota_X \rangle$,

tal que ι_X é uma involução hiperelíptica e os vértices são pontos canônicos. Se nenhum vértice é isolado, e se suas arestas são majorados por $\operatorname{arccosh}(2,88)$, então todo subgrafo minimal de G é isomorfo a G_9 .

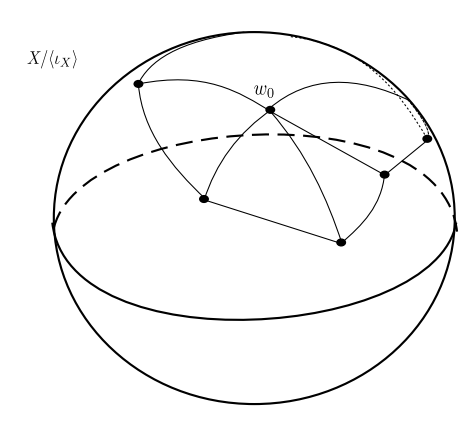


Figura 3.3: Pentágono sobre um esfera singular.

Seja X uma superfície de Riemann de gênero 2 que satisfaz a condição $sys_3 \ge 2 \operatorname{arccosh}(4,67)$. O quociente $X/\langle \iota_X \rangle$ é uma esfera munida da métrica hiperbólica com 6 singularidades canônicas de ângulo π . Seja G um grafo geodésico em $X/\langle \iota_X \rangle$ tal que os vértices de G sejam pontos canônicos, nenhum vértice é isolado e o comprimento das suas arestas é majorado por $\operatorname{arccosh}(2,88) < \operatorname{arccosh}(4,67)$. Então, G não pode possuir três arestas disjuntas, caso contrário, estas formariam uma partição de X de comprimento inferior a $2 \operatorname{arccosh}(4,67)$.

A prova da Proposição 3.12 é dividida em duas partes. A primeira parte eliminamos os subgrafos minimais que não sejam isomorfo a G_4 e a G_9 . E na segunda, eliminamos os subgrafos isomorfos a G_4 através da menor geodésica γ disjunta da geodésica que liga dois pontos de Weierstrass correspondente a um vértice de grau 3. Então, vamos a demonstração.

Demonstração: [Proposição 3.12] Temos que o grafo G não possui três arestas disjuntas e segue então que nenhum subgrafo de G é isomorfo a G_1, G_3, G_7 ou G_{10} . Temos agora que mostrar que nenhum subgrafo de G é isomorfo a G_4, G_6 ou G_8 , pois G_8 é subgrafo de G_2 e G_5 .

Primeiramente, suponhamos que G contém um subgrafo H isomorfo a G_6 . Chamando w_0 o vértice de grau 5, ou seja, por w_0 passa cinco arestas, e w_i , i=1,...,5 vizinhos que suponhamos tem uma ordenação de acordo com a orientação da esfera. Adicionando em H segmentos geodésicos que completa os pares de arestas (w_0w_1, w_0w_{i+1}) (com a convenção que $w_6 = w_1$) em triângulos hiperbólicos sem singularidades. Temos assim construído um pentágono hiperbólico não necessariamente convexo, com uma singularidade canônica (Figura 3.3). O ângulo total em w_0 é igual a π e existe três ângulos $w_iw_0w_{i+1}$ de medida inferior ou igual á $\pi/3$. Como as arestas w_0w_1 de comprimento inferior ao arccosh(2, 88), os lados do pentágono em frente a face dos ângulos menores que $\pi/3$ são de comprimento inferior ao arccosh(4, 67), entre estes lados podemos escolher dois que sejam disjuntos e adicionar a aresta w_0w_i que liga dois vértices ainda não utilizado. Este três segmentos associam três geodésicas de X, formando uma partição de X com comprimento inferior a $2 \operatorname{arccosh}(4,67)$ que é um absurdo.

Agora, suponhamos que G contém um subgrafo isomorfo á G_8 . Denotando por w_0 o vértice de grau 3, w_1, w_2 e w_3 seus vizinhos e w_4 e w_5 os vértices restantes. Como anteriormente construiremos um polígono hiperbólico singular com vértices vizinhos de w_0 , este polígono é disjunto da aresta w_4w_5 . Um dos lados deste polígono é dito w_2w_3 de comprimento inferior a arccosh(4,67). Assim, as geodésicas acima que são associadas ao lado w_2w_3 e as arestas w_0w_1, w_4w_5 formam uma partição com comprimento inferior a $2 \operatorname{arccosh}(4,67)$ que é um absurdo.

Finalmente, suponhamos que G contém um subgrafo H isomorfo a G_4 . Nós tomaremos a notação da Figura 3.4, em particular, w_0 e w_3 serão vértices de grau 3. É impossível adicionar a H uma aresta de comprimento inferior á $\operatorname{arccosh}(4,67)$ que ligue w_1 á w_2 (respectivamente w_4 e w_5) caso contrário aplicando o raciocínio do paragrafo anterior ao grafo formado pela as arestas $w_1w_2, w_0w_3, w_3w_4, w_3w_5$ (respectivamente $w_4w_5, w_0w_3, w_0w_1, w_0w_2$), assim temos um absurdo. Do mesmo modo, é impossível adicionar a H uma aresta de comprimento inferior a $\operatorname{arccosh}(2,88)$ entre dois vértice w_iw_j tal que $\{w_i, w_j\} \neq \{w_0, w_3\}$, caso contrário, estaríamos no caso anterior.

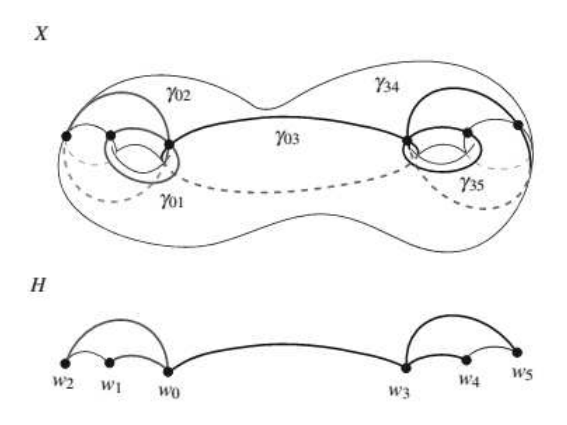


Figura 3.4: Subgrafo isomorfo a G_4

Considere a superfície X da Figura 3.1, denotaremos por γ_{ij} a geodésica de X correspondendo a aresta $w_i w_j$. Como as geodésicas γ_{01} e γ_{02} (respectivamente γ_{34} e γ_{35} se intersectam em exatamente um ponto, existe um único bordo do toro T_1 (resp. T_2) que o contém. No toro existe duas geodésicas que completam γ_{01} e γ_{02} (respectivamente γ_{34} e γ_{35}) em triângulos, mas somente uma delas não intercepta por γ_{03} . Nós chamaremos γ_{12} (resp. γ_{45}) esta geodésica. De acordo com o paragrafo anterior, γ_{12} e γ_{45} tem o comprimento superior a 2 arccosh(4,67). Deduzimos que o triângulo ($w_0 w_1 w_2$) (resp. $w_3 w_4 w_5$) e os pontos w_1 e w_2 (resp. w_4 e w_5) estão a uma distância superior a arccosh(1,62) de seus lados opostos. (utilizando teorema de Pitágoras hiperbólico).

Seja γ a menor a geodésica disjuntas de γ_{03} . Estabelecemos uma lista de propriedade de γ . Em todo bordo, γ está um comprimento inferior a $2\operatorname{arccosh}(2,88)$ pela a desigualdade sistólica do toro em [29]. Então, γ não é separante, pois caso contrário, poderíamos construir uma pequena partição e aplicar a desigualdade sistólica do Toro [29]. Em particular, γ passa por dois pontos de Weierstrass diferentes de w_0 e w_3 . Enfim, γ não esta contido em nenhum dos toros T_1 e T_2 , caso contrário teríamos $\gamma = \gamma_{12}$ ou γ_{45} , pois γ não intersecta γ_{03} , mas isto é impossível pelo comprimento destas geodésicas, pois γ_{12} e γ_{45} tem o comprimento superior a $2\operatorname{arccosh}(4,67)$. Finalmente, observando

que γ intersecta uma geodésica γ_{01} , γ_{02} , γ_{34} e γ_{35} além dos pontos de Weierstrass. Caso contrário, acrescentamos a imagem γ em $X/\langle \iota_X \rangle$ ao grafo H, poderíamos acrescentar uma nova aresta de comprimento inferior a $\operatorname{arccosh}(2,88)$ entre dois vértices diferente de w_0 e w_3 ; logo impossível pelo que foi visto anteriormente.

Supomos que γ passa por w_1 . Assim, de w_1 a geodésica γ sai do toro T_1 . Por razões de minimalidade, as geodésicas γ_{01} e γ não se intersectam além de w_1 , e dentro de T_1 , γ pode interceptar no máximo uma vez γ_{02} . Neste caso, a distância percorrida por γ em T_1 é superior a $\operatorname{arccosh}(1,62)$, como visto acima. Faremos o mesmo para o segundo ponto de Weierstrass pertencente γ . Partindo do segundo ponto de Weierstrass, γ pode interceptar no máximo uma geodésica γ_{ij} antes de trocar de toro, e neste caso ela percorre uma distância superior a $\operatorname{arccosh}(1,62)$ antes de atingir outro lado do toro. No entanto, $\gamma/2 < \operatorname{arccosh}(2,88) < 2\operatorname{arccosh}(1,62)$. Portanto, o comportamento descrito acima ocorre para mais de um ponto de Weierstrass. De fato, supondo que γ parte de w_1 e deixe o toro T_1 , sem se intercepta nem γ_{01} e nem γ_{02} . Depois de deixar T_1 , ela intercepta necessariamente γ_{34} ou γ_{35} , digamos γ_{34} .

Como γ e γ_{34} têm comprimento inferior a 2 arccosh(2, 88), e foram construídos a partir de duas geodésicas com caminho geodésico que ligam w_1 a w_3 ou w_4 de comprimento inferior à arccosh(2, 88); e que não intercepta γ_{ij} além dos pontos de Weierstrass. Desta forma, temos um caminho geodésico correspondente a uma nova aresta do subgrafo H, e esta aresta de fato mostra que subgrafo é isomorfo a G_1 ou G_8 , que é impossível. Então, todo subgrafo minimal de G é isomorfo a G_9 .

Dado uma superfície X, olharemos para a relação entre as geodésicas separantes e as geodésicas não-separante de X. Em particular, fixando uma geodésica separante ξ , estudamos a família \mathcal{G}_{ξ} de geodésicas que interceptam ξ em exatamente dois pontos.

3.1.1 Geodésicas separantes determinadas por duas não-separantes

Notaremos \mathcal{G}_s (resp. \mathcal{G}_s) toda geodésica fechada, simples e separante (resp. não-separante) de X. Consideremos o subconjunto A de $\mathcal{G}_s \times \mathcal{G}_s$ formado por pares de geodésicas não-separantes que se interceptam exatamente em um ponto:

$$A = \{(\alpha,\beta) \in \mathcal{G}_{\mathscr{I}} \times \mathcal{G}_{\mathscr{I}} | \ \alpha \in \beta \text{ se intersepta em exatamente um ponto.} \}$$

Podemos construir uma aplicação sobrejetora

$$Sep: A \subset \mathcal{G}_{\not s} \times \mathcal{G}_{\not s} \to \mathcal{G}_s \\ (\alpha, \beta) \mapsto Sep(\alpha, \beta),$$

que associa cada par $(\alpha, \beta) \in A$ a única geodésica fechada e simples em uma classe de homotopia livre comutativa $[\alpha, \beta]$. O ponto de intersecção de duas geodésicas implicitamente foi escolhido como ponto base do grupo fundamental.

Proposição 3.13. Se $(\alpha, \beta) \in A$, então uma geodésica fechada e simples que não intercepta $\alpha \cup \beta$ está contido no toro limitado por $Sep(\alpha, \beta)$ que não contém nem α e nem β .

Seja T um toro com bordo. Nós chamaremos de **raio** de T um segmento geodésico simples que liga dois pontos do bordo. Dado γ uma geodésica fechada, simples de T, existe uma único raio γ' de T disjunto de γ . De fato, esta relação induz uma bijeção entre as geodésicas fechadas e os raios de T. Denotaremos γ' como o **raio dual** de γ . Os comprimentos de γ e γ' estão relacionados pela fórmula [15]

$$\operatorname{senh}\left(\frac{\gamma'}{2}\right)\operatorname{senh}\left(\frac{l_{\partial}(T)}{4}\right) = \cosh\left(\frac{\gamma}{2}\right),$$

com l_{∂} o comprimento do bordo de T. Com ênfase que o raio de T minimiza o comprimento da classe de homotopia livre.

Chamaremos T_1 e T_2 os toros com borda resultante da decomposição de ξ em X. Por \mathcal{G}_{T_i} nos designaremos todas as geodésicas fechadas simples de T_i , e por \mathcal{G}_{ξ} todas as geodésicas fechadas e simples de X que corta ξ em exatamente dois pontos.

As geodésicas fechadas simples de X são estáveis por involução hiperelíptica; cada geodésica $\gamma \in \mathcal{G}_{\xi}$ passa necessariamente por um ponto de Weierstrass de cada toro T_1 e T_2 . Naturalmente, exite uma geodésica fechada simples que cortam ξ em mais de dois pontos. Assim, podemos escolher a mesma que passa por dois pontos de Weierstrass situado no mesmo lado de ξ . Vamos por em correspondência \mathcal{G}_{ξ} com $\mathcal{G}_{T_1} \times \mathcal{G}_{T_2}$ via ao lema seguinte

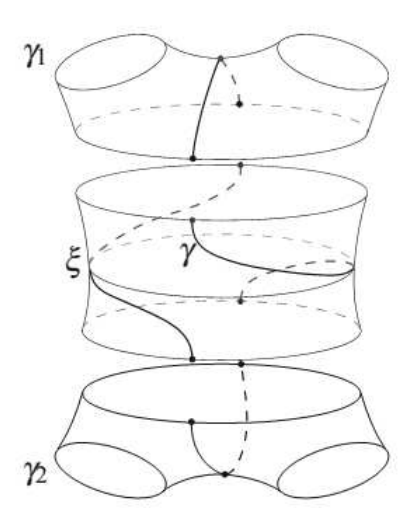


Figura 3.5: Decomposição de um elemento de \mathcal{G}_{ξ}

Lema 3.14. Se $\gamma \in \mathcal{G}_{\xi}$, então existe uma única curva $(\gamma_1, \gamma_2) \in \mathcal{G}_{T_1} \times \mathcal{G}_{T_2}$ tal que γ_1 e γ_2 são disjuntos de γ .

Demonstração: Decompondo o traço de γ sobre o toro T_i , obtemos um cilindro. Com a homotopia e a orientação presente, existe uma única curva fechada, simples sobre o cilindro, γ_i é a geodésica desta classe de classe de homotopia livre.

3.1.2 Relação entre os comprimentos das geodésicas

Considere o par (X, ξ) e fixamos $\gamma \in \mathcal{G}_{\xi}$, podemos induzir algumas relações ou igualdades entres os comprimentos das geodésicas. Para cada calça de decomposição por ξ e γ_i em T_i temos:

- a_i uma perpendicular comum a ξ e a um bordo identificado por γ_i (i=1,2);
- h_i a metade do segmento de γ'_i que é o raio dual de γ_i em T_i ;

Enfim, designaremos por θ_{ξ} as coordenadas de torção sobre ξ em relação a h_i (i=1,2). Convencionamos que se $\theta_{\xi}=0$, então os segmentos h_1 e h_2 são suporte para a geodésica γ . Esta notação pode ser ilustrada na Figura 3.6.

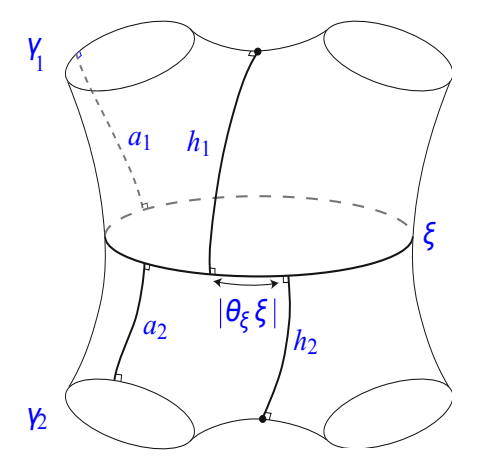


Figura 3.6: Notação

Com a torção qualquer, o comprimento de γ pode ser dado pela seguinte fórmula [15]

```
\cosh(\frac{\gamma}{2}) = \operatorname{senh}(\frac{\gamma_1}{2}) \operatorname{senh}(\frac{\gamma_2}{2}) \left[ \operatorname{senh}(a_1) \operatorname{senh}(a_2) \cosh(\theta_x i \xi) + \cosh(a_1) \cosh(a_2) \right] - \cosh(\frac{\gamma_1}{2}) \cosh(\frac{\gamma_2}{2}) \left[ \operatorname{senh}(\frac{\gamma_1}{2}) \operatorname{senh}(\frac{\gamma_2}{2}) \operatorname{senh}(\frac{\gamma_2}{2}) \operatorname{senh}(\frac{\gamma_2}{2}) \operatorname{senh}(\frac{\gamma_2}{2}) \right] + \operatorname{senh}(\frac{\gamma_2}{2}) \operatorname{senh}(a_1) \operatorname{senh}(a_2) \operatorname{s
```

Temos as seguintes igualdades:

$$\begin{cases} \operatorname{senh}\left(\frac{\gamma_1}{2}\right) \operatorname{senh}\left(a_i\right) &= \cosh(h_i); \\ \operatorname{senh}\left(\frac{\gamma_1}{2}\right) \operatorname{cosh}(a_i) &= \cosh\left(\frac{\gamma_i}{2}\right) \operatorname{coth}\left(\frac{\xi}{4}\right), \qquad i = 1, 2; \\ \operatorname{senh}\left(h_i\right) \operatorname{senh}\left(\frac{\xi}{4}\right) &= \cosh\left(\frac{\gamma_i}{2}\right). \end{cases}$$

que nos permite obter as seguintes expressões

$$\cosh(\frac{\gamma}{2}) = \cosh(h_1)\cosh(h_2)\cosh(\theta_{\xi}\xi) + \cosh(\frac{\gamma_1}{2})\cosh(\frac{\gamma_2}{2})[\coth^2(\frac{\xi}{4}) - 1],$$

$$\cosh(\frac{\gamma}{2}) = \cosh(h_1)\cosh(h_2)\cosh(\theta_{\xi}\xi) + \sinh(h_1)\sinh(h_2).$$

3.2 Majoração do comprimento das arestas do grafo de contigüidade

Aqui seguiremos com a notação T_1 e T_2 para os toros com bordos delimitados por ξ , nomeamos α_i a nossa sístole de T_i , β_i a menor curva geodésica de T_i que intersepta α_i em exatamente um ponto. Chamaremos δ_i e ε_i duas geodésicas que formam um triângulo com α_i e β_i no toro T_i com a convenção $\delta_i \leq \varepsilon_i$, onde em alguns momentos utilizaremos as notações α_i , β_i , δ_i , ε_i para designar o comprimento e também o nome da respectiva geodésica.

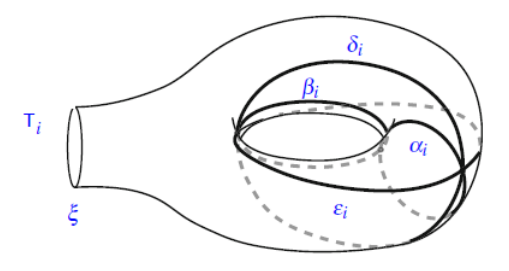


Figura 3.7: Geodésicas no Toro com bordo T_i

Teremos que geodésicas $\alpha_i, \beta_i, \delta_i, \varepsilon_i$ que satisfaz a seguinte condição:

$$\alpha_i \leq \beta_i \leq \delta_i \leq \varepsilon_i$$

e por monotonia, seus raios duais também satisfazem a ordem $\alpha_i' \leq \beta_i' \leq \delta_i' \leq \varepsilon_i'$.

Lema 3.15. A menor geodésica fechada simples de T_i depois de α_i é β_i .

Demonstração: Considere o toro T_1 e denotamos por w_1 um ponto de Weiertrass por qual não passa α_1 . A geodésica β_1 passa necessariamente por w_1 , e projeta sobre uma aresta de $G_{cont}(T_i)$. Assim, β_i é a menor geodésica passando por w_i .

Seja η uma geodésica distinta de α_i e não passando por w_i . Vamos mostrar que $\eta \geq \beta_1$, que é suficiente para concluir. Cortando o toro em α_1 e depois cortando as perpendiculares comuns aos bordos α_1 e ξ , obtemos dois hexágono isométricos com os ângulos retos. Como representado na Figura 3.8, com a convenção que $e = \alpha_1/2, c = \xi/4$. Na calça, a metade do segmento η liga dois bordos a partir da decomposição de α_1 e de fato teremos que $\eta/2 \geq 2a$. O segmento f liga w_1 ao meio de e e majora a metade do comprimento da menor geodésica não trivial passando por w_1 , então $f \geq \beta_1/2 \geq e$.

Aplicando a desigualdade triangular no triângulo de lados a, f e e/2 temos:

$$\beta_1/2 \leq f$$

$$\leq a + e/2$$

$$\leq 2a$$

$$\leq \eta/2.$$

Logo, $\beta_1 \leq \eta$.

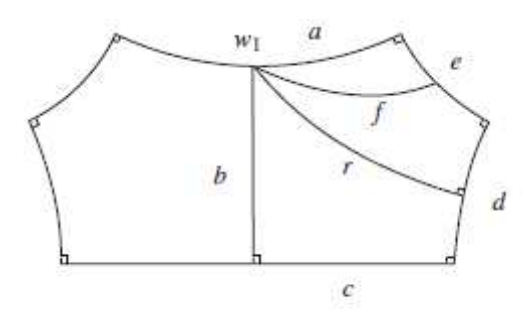


Figura 3.8: Notação no hexágono com ângulos retos.

Lema 3.16. Existe um ponto de $\xi \cap (\alpha'_1 \cup \beta'_1)$ e um ponto de $\xi \cap \alpha'_2$ separados por um segmento de ξ de comprimento inferior a $\xi/6$.

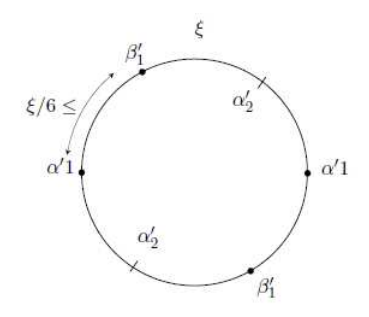


Figura 3.9: Borda do Toro T_1

Demonstração: Os pontos de $\xi \cap (\alpha'_1 \cup \beta')$ divide ξ em quatro segmentos: dois contendo pontos de δ'_1 e dois contendo nenhum ponto. Seja Y_1 a superfície hiperbólica fechada de característica -1 associado à T_1 com a autocologem de $\xi = \partial T_1$. A decomposição de raios α'_1, β'_1 e δ'_1 transforma a superfície Y_1 em uma calça hiperbólica.

As perpendiculares comuns a esta calça identifica a imagem ξ em Y_1 , e a perpendicular comum ao maior comprimento é oposto ao bordo mais longo que vem de δ'_1 . O comprimento deste segmento que não é aqueles que passa por δ'_1 é superior à $\xi/6$.

Cortando α_1 em T_1 , temos uma calça que se divide em dois hexágonos iguais, situando sem dificuldades os raios α'_1 e β'_1 . Majoramos diretamente o comprimento de um segmento de ξ que não passa em δ'_1 por $\xi/4$.

A soma dos quatro comprimento dos segmentos delimitados por pontos de $\xi \cap (\alpha'_1 \cup \beta')$ e ξ , deixa claro que os menores segmentos são aqueles que não contém pontos de δ'_1 , em particular, são segmentos que estão em ξ entre α'_1 e β'_1 .

Concluindo, considerando a metade do segmento de ξ delimitado pelas extremidades do raios α_2' como representado na Figura 3.9 temos o resultado.

Majorações conhecidas

Sejam X uma superfície de Riemann de gênero 2 e ξ uma geodésica separante de X, R_{w_i} designara o raio de injetividade do ponto de Weierstrass w_j ;. Então,

$$\cosh(R_{w_i}) < 2.88,
\tag{3.1}$$

$$\operatorname{senh}\left(\alpha_i'/2\right) \le \frac{1}{2\operatorname{senh}\left(\xi/12\right)},\tag{3.2}$$

$$\cosh(\alpha_i/2) \le \cosh(\xi/6) + 1/2,\tag{3.3}$$

 α'_i é o menor raio do toro T_i e α_i a sístole do toro T_i . As duas primeiras desigualdades vem do trabalho de [5] e a terceira vem de [29].

Por (3.3) nos deduzimos que se $sys_3(X) \ge 2 \operatorname{arccosh}(4,67)$, então toda geodésica separante ξ verifica a desigualdade

$$\cosh(\xi/2) \ge 4,67. \tag{3.4}$$

Consideremos X uma superfície de Riemann de gênero 2 com $sys_3 \geq 2$ arccosh(4,67). Suponhamos que um ponto de Weiertrass w_1 de X, onde seu raio de injetividade não passa por uma geodésica, fechada e simples, mas por um laço geodésico simples λ . Caso contrário, uma majoração do comprimento das arestas de $G_{cont}(X)$ é dada por (3.1).

Lema 3.17. A geodésica da classe de homotopia livre γ é a sístole do toro T_1 , ou seja, α_1 .

Demonstração: A geodésica da classe de homotopia livre de λ é a menor, não importa qual geodésica que passa por w_1 , com λ satisfazendo o raio de injetividade R_{w_1} . Em particular, no toro T_1 há exatamente uma sístole e não passa por w_1 . A menor geodésica fechada simples depois da sístole é β_1 como vimos no Lema 3.15. Portanto, a geodésica da classe de homotopia livre de λ é a sístole do toro T_1 .

Do Lema 3.17 temos os seguintes resultados:

Proposição 3.18. Sobre a hipótese de minoração sys₃ \geq 2arccosh(4,67), as arestas do grafo de contiguidade de uma superfície de Riemann de gênero 2 são de comprimento inferior a arccosh(2,88).

A demostração desta proposição se encontra de forma detalhada em [16].

Corolário 3.19. Assumindo a hipótese $sys_3 \geq 2 \operatorname{arccosh}(4,67)$, todo subgrafo minimal do grafo de contiguidade de uma superfície de Riemann de gênero 2 é isomorfo ao grafo G_9 .

3.3 A 3-sístole e a sístole da família $\mathcal{G}_{\xi} \cup \{\xi\}$

Seja X uma superfície de Riemann de gênero 2 que satisfaz à condição $sys_3(X) \ge 2 \operatorname{arccosh}(4,67)$. De acordo com o Corolário 3.19, todos os subgrafos minimal de \mathcal{G}_{contX} são isomorfos ao grafo G_9 , em particular, $G_{cont(X)}$ tem exatamente duas componentes conexas, e existe uma única geodésica separante ξ disjunta de $G_{cont(X)}$. Nesta seção estabeleceremos a igualdade entre a 3-sístole e a sístole da família $\mathcal{G}_{\xi} \cup \{\xi\}$.

Isto será feito em duas etapas; no primeiro momento, veremos quais são as menores geodésicas de $\mathcal{G}_{\xi} \cup \{\xi\}$ e em seguida mostraremos que se γ é uma delas, então teremos uma partição representado por $(\gamma, \gamma_1, \gamma_2)$,onde o comprimento dessa partição é dado pelo comprimento de γ .

Notação

Tomando a seguinte a aplicação

$$\Psi: \ \mathcal{G}_{\xi} \to \mathcal{G}_{T_1} \times \mathcal{G}_{T_2}$$
$$\gamma \mapsto (\gamma_1, \gamma_2),$$

designaremos a família das geodésicas

$$\mathcal{F} = \{ \gamma \in \mathcal{G}_{\xi} | \Psi(\gamma) \in \{\alpha_1, \beta_1, \delta_1\} \times \{\alpha_2, \beta_2, \delta_2\} \} \cup \{\xi\},\$$

onde associamos todos elementos de $\gamma \in \mathcal{G}_{\xi}$ a partição $(\gamma, \gamma_1, \gamma_2)$ e ξ à partição $(\xi, \alpha_1, \alpha_2)$. Como vimos anteriormente que

$$\cosh(\gamma/2) = \cosh(\gamma_1'/2)\cosh(\gamma_2'/2)\cosh(\mu) + \sinh(\gamma_1'/2)\sinh(\gamma_2'/2),$$

onde μ é o modulo ξ , o comprimento de quatro segmentos de ξ delimitados por pontos de intersecção de γ_1' e γ_2' com ξ .

Trabalharemos frequentemente com o pentágono (abcde), que é a metade do hexágono com os ângulos retos decomposto através de T_1 . Vamos ter as seguintes convenções: $b = \beta_1'/2$, $c = \xi/4$, $e = \beta_1/2$ e $f = \delta_1/2$ como na figura 3.10.

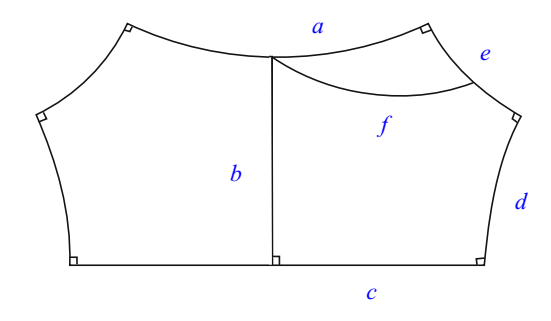


Figura 3.10: Notação no hexágono com ângulos retos.

Lema 3.20. No pentágono (abcde), $\cosh(e) < 2, 16$ ou $\cosh(a) < 1, 62$.

Demonstração: Supomos por absurdo que $2, 16 \le \cosh(e)$ e $1, 62 \le \cosh(a)$. Então, em (abcde) temos as seguintes desigualdades:

$$(1) 2, 16 \le \cosh e \le 2,88$$

(2)
$$1,62 \le \cosh a \le 2,88$$

$$(3) \quad 2,44 \quad \le \quad \cosh c \quad \le \quad 8$$

$$(4) \qquad \qquad \cosh b \leq 1,44$$

As duas primeiras majorações provem do limite do comprimento das arestas de $\mathcal{G}_{cont}(X)$. Utilizando a identidade $\cosh c = \sinh a \sinh c$ com os dois primeiros enquadramentos, obtemos a terceira. De fato,

$$(2,16)^2 \le \cosh^2 e \le (2,88)^2 \Rightarrow$$

 $\sqrt{(2,16)^2 - 1} \le \operatorname{senh} e \le \sqrt{(2,88)^2 - 1} \Rightarrow$
 $1,91 \le \operatorname{senh} e \le 2,7$

е

$$(1,62)^2 \le \cosh^2 a \le (2,88)^2 \Rightarrow$$

 $\sqrt{(1,62)^2 - 1} \le \operatorname{senh} a \le \sqrt{(2,88)^2 - 1} \Rightarrow$
 $1,27 \le \operatorname{senh} a \le 2,7$

então

$$1,27\cdot 1,91 \leq \operatorname{senh} e \operatorname{senh} a \leq 2,7\cdot 2,7 \Rightarrow$$

 $2,44 \leq \cosh c \leq 7,29.$

A majoração do comprimento $\cosh(b)$ se deduz da duas primeiras minorações e da igualdade $\tanh e \cosh a \tanh b = 1$. Temos,

$$\tanh e \cosh a \tanh b = 1 \Rightarrow$$

$$\frac{\sinh e}{\cosh e} \cosh a \frac{\sinh b}{\cosh b} = 1 \Rightarrow$$

53

$$\frac{1,91}{2,16} \cdot 1,62 \cdot \frac{\operatorname{senh} b}{\cosh b} \leq 1 \qquad \Rightarrow$$

$$1,43 \cdot \frac{\operatorname{senh} b}{\cosh b} \leq 1 \qquad \Rightarrow$$

$$\frac{\operatorname{senh} b}{\cosh b} \leq \frac{1}{1,43},$$

e a última desigualdade vem da igualdade senh $b \operatorname{senh} c = \cosh e$, então senh $b \leq \frac{2,88}{\operatorname{senh} c}$. Nós exibiremos uma geodésica $\eta \in \mathcal{F} \setminus \{\xi\}$ tal que o comprimento da partição (η,η_1,η_2) é dado por η e inferior a $2\operatorname{arccosh}(4,67)$. Partimos de $\eta \in \mathcal{F} \setminus \{\xi\}$ que satisfaz $\Psi(\eta) \in \{\alpha_1,\beta_1\} \times \{\alpha_2\}$ e $\mu \leq \xi/6$ tal que η existe pelo Lema 3.16. Pela majoração do raio α_2' por (3.2), temos:

$$\cosh(\eta/2) = \cosh(\beta'/2)\cosh(\alpha'_2/2)\cosh(\mu) + \sinh(\beta'_1/2)\sinh(\alpha'_2/2)$$

temos

$$\operatorname{senh}\left(\alpha'/2\right) \leq \frac{1}{2\operatorname{senh}\left(\xi/12\right)} \Rightarrow \operatorname{cosh}(\alpha_2'/2) \leq \sqrt{1 + \frac{1}{4\operatorname{senh}^2(\xi/12)}}$$

substituindo,

$$\cosh(\eta/2) \leq \cosh(\beta'/2) \sqrt{1 + \frac{1}{4 \sinh^2(\xi/12)}} \cosh(\xi/6) + \sinh(\beta'_1/2) \sinh(\alpha'_2/2).$$

Nós distinguimos quatro casos correspondentes ao intervalo de valores de ξ . Estes intervalos são determinados por $\cosh(\xi/4) \in [2,44;3], [3;4], [4,6], [6,8]$. Cada enquadramento de ξ nos fornece uma majoração de β'_1 , assim controlando o comprimento de η .

-Se $2,44 \leq \cosh(\xi/4) < 3$, utilizaremos a desigualdade (4) para majorar β_1' . Nós encontraremos $\cosh(\eta) \leq 4,31 < 4,67$.

-Se $3 \le \cosh(\xi/4) < 4$, utilizaremos a desigualdade (4) para majorar β_1' . Nós encontraremos $\cosh(\eta) \le 4,57 < 4,67$.

-Se $4 \le \cosh(\xi/4) < 6$, utilizaremos a desigualdade (5) para majorar β_1' . Nós encontraremos $\cosh(\eta) \le 4,57 < 4,67$.

-Se $6 \le \cosh(\xi/4) < 8$, utilizaremos a desigualdade (5) para majorar β_1' . Nós encontraremos $\cosh(\eta) \le 4,37 < 4,67$.

Em todos os casos, a geodésica η verifica $\cosh(\eta) \leq 4,67$. As geodésicas η_1 e η_2 são de comprimentos inferiores a $2\operatorname{arccosh}(2,88)$, porque elas são projeções da aresta do grafo de contiguidade. Assim chegamos em um absurdo, porque a partição (η,η_1,η_2) contradiz a hipótese $\cosh(\operatorname{sys}_3(X)/2) \geq 4,67$.

A sístole α_1 do toro T_1 satisfaz a condição que $\cosh(\alpha_1/2) < 2, 26$. No caso onde $\cosh(e) < 2, 16$ é evidente pois α_1 é menor que β_1 , nos casos onde $\cosh(a) < 1, 62$ utilizamos a majoração $\cosh(\beta_1/2) \le 2, 88$ e $\cosh(\alpha_1/2) \le \cosh(\beta_1/4) \cosh(a)$.

Lema 3.21. O comprimento de uma partição $(\gamma, \gamma_1, \gamma_2)$ associada a um elemento γ de \mathcal{F} tem o mesmo comprimento de γ .

Demonstração: Seja γ em \mathcal{F} . Ou o comprimento da partição $(\gamma, \gamma_1, \gamma_2)$ é igual ao comprimento de γ , isto ocorre por exemplo quando γ_1, γ_2 se projetam sobre as arestas do grafo de contiguidade 3.18. Ou o comprimento da partição é dado pelo par (γ_1, γ_2) . Como α_i, β_i se projetam sobre as arestas de $\mathcal{G}_{cont}(X)$, existe $\gamma_1 = \delta_1$ ou $\gamma_2 = \delta_2$.

Supomos que o comprimento da partição é dado por $\gamma_1 = \delta_1$. No pentágono (abcde) temos então

$$\begin{vmatrix}
\cosh(a)\cosh(e) & \ge & \cosh(\delta_1/2) & \ge & 4,67 \\
\cosh(e) & \ge & \cosh(\alpha_1/2) & \ge & \cosh(a)
\end{vmatrix} \Rightarrow \cosh(e) \ge \sqrt{4,67} > 2,16$$

e o mesmo,

$$\begin{vmatrix}
\cosh(a)\cosh(e) & \ge & \cosh(\delta_1/2) & \ge & 4,67 \\
2,88 & \ge & \cosh(e)
\end{vmatrix} \Rightarrow \cosh(a) \ge \frac{\sqrt{4,67}}{2,88} > 1,62.$$

Esta minoração contradiz o lema anterior.

Teorema 3.22. Se a 3-sístole satisfaz a condição $\operatorname{sys}_3 \geq 2 \operatorname{arccosh}(4,67)$, a sístole da família $\mathcal{G}_{\xi} \cup \{\xi\}$ é igual a 3-sístole.

3.4 Determinação de um máximo global

Designaremos por M um ponto de \mathcal{T}_2 e por X uma superfície de Riemann subjacente. Trabalharemos com uma aberto D de \mathcal{T}_2 definido por

$$D = \{sys_3 > 2 \operatorname{arccosh}(4,67)\}.$$

Usaremos duas superfícies descobertas por Schumutz Schaller [29] que são N(3) e P(3).

Trabalharemos:

$$B(2) = \max_{\bar{D}} \operatorname{sys}_3 = \max_{\bar{D}} \operatorname{sys}_{\mathcal{G}_{\xi} \cup \{\xi\}}.$$

Os pontos que satisfazem o máximo global sobre \bar{D} da função $\operatorname{sys}_{\mathcal{G}_{\xi} \cup \{\xi\}}$ pertence a D. Nós procuraremos esses pontos.

Notaremos $(\gamma_j)_{j\in J}$ a família de geodésicas distintas ξ de comprimento minimal em \mathcal{F} .

Lema 3.23. Os elementos de \mathcal{F} não intersectam α_i, β_i e δ_i em seus pontos de Weierstrass

Lema 3.24. As geodésicas $(\gamma_j)_{j\in J}$ não se intersectam fora de um ponto de Weiertrass.

Seja M_{max} um ponto de D que satisfaz um máximo local da função $sys_{\mathcal{F}}$, denotaremos por X_{max} a superfície subjacente.

Proposição 3.25. Em X_{max} , duas geodésicas de $(\gamma_j)_{j \in J}$ nunca passa pelo mesmos dois pontos de Weiertrass.

A demostração desta proposição se encontra de forma detalhada em [16].

Proposição 3.26. Em X_{max} , três geodésicas distintas de $(\gamma_j)_{j\in J}$ não passam jamais por um mesmo ponto de Weierstrass.

Demonstração: Suponhamos que por um ponto de Weierstrass passa três geodésicas $(\gamma_j)_{j\in J}$. Decompondo uma das três geodésicas associada por Ψ , obtemos duas calças hiperbólicas que enviam uma sobre a outra por uma involução hiperelíptica. Pelos Lemas 3.23 e 3.24, existe só três configurações topológicas possíveis para $(\gamma_j)_{j\in J}$ nestas calças.

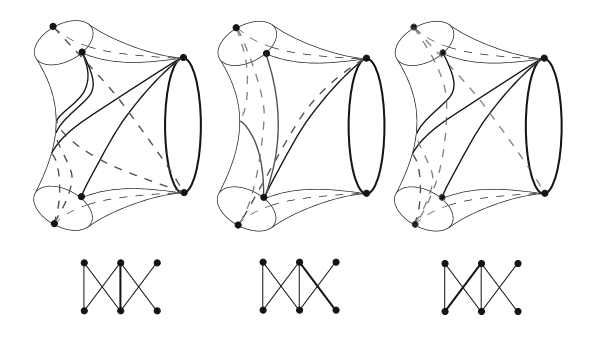


Figura 3.11: Nova configuração topologica

De fato, as três configurações correspondem a uma única configuração de todo superfície inteira, de um ponto de vista combinatório nos temos um mesmo grafo, apenas os cortes na aresta em negrito que mudam. Para provar tomemos $J=\{1,...,6\}$

Sejam, w_1 e w_4 os pontos de Weiertrass em quaisquer três geodésicas concorrentes $(\gamma_j)_{j\in J}$. Seja γ_1 a geodésica que liga w_1 e w_4 , sejam γ_2 e γ_3 duas outras geodésicas passando por w_1 , e sejam γ_4 e γ_5 duas outras arestas passando por w_4 . Cada um dos pares

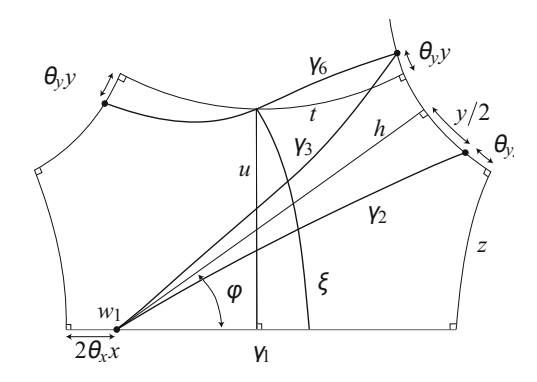


Figura 3.12: Configuração geométrica

 γ_2, γ_3 e γ_4, γ_5 formam um triângulo isósceles com uma geodésica das $\alpha_i, \beta_i, \delta_i$. Esses triângulos são disjuntos e nós podemos encontrar uma geodésica separante, pois ela são isométricas. Deduzimos que duas bordas diferente de γ_1 como na calça à esquerda da figura 3.11 tem o mesmo comprimento.

Exibindo a configuração das geodésicas $\gamma_2, \gamma_3, \gamma_4$ e γ_5 na calça, temos necessariamente $\alpha_1 = \alpha_2, \ \beta_1 = \beta_2$ e $\delta_1 = \delta_2$. Em particular, os toros T_1 e T_2 são isométricos. Notamos uma translação de ordem 2 de acordo com γ_1 satisfaz um isomorfismo na superfície X_{max} .

Provaremos a existência da superfície mencionada. De fato, analisando a configuração da figura 3.11, nós consideramos portanto uma calça com duas arestas iguais de comprimento 2y, e a terceira de comprimento 4x. Nós exibiremos trivialmente o comprimento t, u, z (Figura 3.12) em função de x e y.

$$\cosh^{2} t = \frac{\cosh^{2} x}{\cosh^{2} y - 1} + 1,$$

$$\cosh^{2} u = \frac{\cosh^{2} y}{\cosh^{2} x - 1} + 1,$$

$$\cosh^{2} z = \frac{\cosh^{2} x \cosh^{2} y}{(\cosh^{2} x - 1)(\cosh^{2} - 1)}.$$

Para cada aresta, fixamos dois pontos opostos correspondendo ao ponto de Weiertrass, os pares sobre essas arestas de comprimento 2y tem o mesmo desvio $\theta_y y$ em relação às perpendiculares comuns. Os segmentos traçados em negrito representam a metade das geodésicas $\gamma_1, \gamma_2, \gamma_3, \gamma_6$ e ξ . A existência da superfície equivalente a existência de parâmetros x, θ_x, y, θ_y , tal que os cinco segmentos geodésicos em negrito são de mesmo comprimento. Suponhamos x e y fixos, escolhemos θ_y tal que γ_6 é de comprimento 4x, ou seja, tal que $\cosh(\theta_y y) = \cosh x/\cosh t$; podemos então calcular sen ϕ e h em função de x e y:

$$sen^{2}\phi = \cosh^{2}(\frac{y}{2} + \theta_{y}y) + \cosh^{2}z - \cosh^{2}(\frac{y}{2} + \theta_{y}y) \cosh^{2}z,$$

$$cosh^{2}h = \frac{\cosh^{2}z}{\operatorname{sen}^{2}\phi},$$

e fazendo $X = \cosh x$ e $Y = \cosh y$, temos:

$$\cosh^{2}(\frac{y}{2} + \theta_{y}y) = \frac{Y - 1}{X^{2} + Y^{2} - 1} [X^{2}Y^{2} + X^{2}Y - X^{2}/2 - Y^{2}/2 + 1/2 + X(Y + 1)\sqrt{X^{2}Y^{2} - 2X^{2} - Y^{2} + 1}].$$

A condição $\gamma_2 = \gamma_3 = 4x$ é equivalente a $\cosh h = \cosh(2x)/\cosh(y/2)$, dado implicitamente y em função de x. Nos obtemos facilmente através de um pequeno programa com entrada em x e destino com valores próximos de y. Para diferenciar esses valores de x, calculamos

$$\cosh^{2}(2(1-\theta_{x})x) = \frac{X^{2}(X^{2}-1)}{X^{2}+Y^{2}-1}[8X^{4}-12X^{2}-4Y^{2}+5-4(2X^{2}-1)\sqrt{X^{4}-2X^{2}-Y^{2}+1}].$$

e como a expressão $\cosh^2(2(1-\theta_x)x) \sin^2\phi - \cosh^2(y/2+\theta_y y)$ assume valores negativos e positivos, deduzimos (colocando trirretângulo $h\gamma_1 zy$) a existência de um x tal que a geodésica $\gamma_1, \gamma_2, \gamma_3, \gamma_6$ e ξ são de mesmo comprimento 4x. Achamos as coordenadas torção-comprimento solução do nosso problema são aproximadamente

$$(x; \theta_x; y; \theta_y) \approx (1, 1076; 0, 17; 1, 06; 0, 15).$$

Vamos mostrar que a sístole de $\mathcal{G}_{\xi} \cup \xi$ realiza a 3-sístole de X_{max} . As geodésicas de comprimento 2y são as sístoles de cada um dos toros limitados por ξ que também a sístole de X_{max} . Identificamos facilmente que a segunda menor geodésica destes toros. Comparando os comprimentos destas geodésicas com aquelas perpendiculares comuns à da calça da Figura 3.12, podemos verificar que cada realiza o raio de injetividade na superfície X_{max} em um ponto de Weierstrass, em outras palavras, elas induzem as arestas de $G_{cont}(X_{max})$, e as geodésicas $\gamma_1, ..., \gamma_6$ satisfazem a distância entre os dois grupos de pontos de Weierstrass. Considerando uma partição de comprimento minimal, ele contém ao menos duas geodésicas não-separantes, necessariamente ou cada uma delas está inclusa em um dos toros delimitados por ξ ou é um elemento da família $\{\gamma_1, ..., \gamma_6\}$. Se um deles pertencer a família $\{\gamma_1, ..., \gamma_6\}$, estes últimos realizam a 3-sístole. Se as duas estão contidos em um toro, então a terceira geodésica da partição ou é uma não-separante e neste caso aparentemente pertence à família $\{\gamma_1, ..., \gamma_6\}$, ou é separante e neste caso é ξ . Temos que sys $_3(X_{max}) = \text{sys}_{\mathcal{F}}(X_{max}) \approx 2 \operatorname{arccosh}(4,63)$.

Teorema 3.27. A sístole atinge um máximo valor sobre \mathcal{T}_2 nos pontos correspondentes marcados na superfície P(3).

Demonstração: A geodésica ξ separa P(3) em dois toros equivalentes. O comprimento do raio minimal deste toro é dado por (3.2) e o coeficiente θ_{ξ} vale 1/12, e

injetando na formulas (3.1.2) obtemos:

$$\cosh(B(2)/2) = \frac{1}{4[\cosh^2(B(2)/12) - 1]} + \cosh(B(2)/12).$$

Simplificando, temos que $\cosh(B(2)/12)$ é solução de

$$32X^5 - 32X^4 - 24X^3 + 24X^2 - 1 = 0.$$

Capítulo 4

Tesselação $\{8g-4,4\}$

Neste capítulo, iremos mostrar a existência de um polígono com 8g-4 arestas que fornece um emparelhamento para uma superfície compacta de gênero ≥ 2 relacionado à tesselação $\{8g-4,4\}$.

Os eixos das tranformações deste emparelhamento formam uma geodésica fechada nesta superfície, e assim temos uma correspondência injetiva dos eixos de transformações hiperbólicas com as sístoles. Então conseguindo as isometrias hiperbólicas que emparelham essas arestas e utilizando as matrizes associadas a essas isometrias é possível calcular o comprimento das geodésicas fechadas sobre essa superfície gerada pela tesselação $\{8g-4,4\}$. As principais referências deste trabalho são: [1],[2],[10],[25] e [30]

4.1 Existência do polígono fundamental de (8g-4) arestas

Para provar a existência deste polígono, basearemos nos teoremas clássicos de Poincaré e Frenchel-Nielsen na teoria de grupos Fuchsianos. Omitiremos as demonstrações destes teoremas.

O Teorema de Poincaré nos dá condições suficiente para um polígono ser domínio fundamental de um grupo Fuchsiano. Seja F um polígono delimitado com número par de arestas $\tau_1, ..., \tau_n$ com sentido anti-horário e seja $p_1, ..., p_n$ os respectivos pontos iniciais destas arestas. Suponhamos que τ , $\tau_{\sigma(i)}, 1 \leq i \leq n$, são iguais aos comprimentos hiperbólicos, onde $\sigma(i)$ é dado por uma permutação de 1, ..., n de ordem 2 (dois) sem elementos fixos. Seja T_i o movimento que emparelha τ_i a $\tau_{\sigma(i)}^{-1}$, ou seja, $T_i(p_i) = p_{\vartheta(i)}, 1 \leq i \leq n$, onde a permutação expressado por $i \to \vartheta(i)$ é um produto de ciclos disjuntos. O conjunto de vértices p_i , i variando sobre um ciclo, é chamado ciclo de vértice.

Teorema 4.1 (Poincaré). Suponhamos que a soma dos ângulos internos de um polígono fundamental F ao longo de cada ciclo de vértice é igual a $\frac{2\pi}{m_c}$, onde m_c é um inteiro

positivo. O grupo Γ gerado por $T_1, ..., T_n$ é discreto e F é um domínio fundamental para Γ . Γ age livremente em \mathbb{D}^2 se, e somente se, $m_c = 1$ para cada ciclo de vértice.

Como aplicação, consideremos um polígono regular F' com (8g-4)-arestas, com ângulos internos $\pi/2$ centrado em 0, com um emparelhamento que iremos definir no Teorema 4.6. Onde teremos que cada $\sigma(i)$ verifica $i \to \vartheta(i)$ um produto de disjunto de ciclo, todos com comprimento quatro, e a soma de cada ciclo de vértices é igual a 2π . Pelo Teorema de Poincaré, o grupo gerado por $T'_1, ..., T'_{8g-4}$ é um grupo Fuchsiano que age livremente em $\mathbb D$ com F' um domínio fundamental.

Sejam Γ_1 e Γ_2 grupos de duas superfícies. Suponhamos que \mathbb{D}^2/Γ_1 é homeomorfo a \mathbb{D}^2/Γ_2 , que é equivalente afirmar que \mathbb{D}^2/Γ_1 e \mathbb{D}^2/Γ_2 tem o mesmo gênero.

Teorema 4.2 (Frenchel-Nielsen). Existe um homeomorfismo h que preserva a orientação de $\overline{\mathbb{D}^2}$ em $\overline{\mathbb{D}^2}$ tal que $\Gamma_2 = h \circ \Gamma_1 \circ h^{-1}$.

Lema 4.3. F é convexo.

Demonstração: Os ângulos interiores de p_i e $p_{\sigma(i)+1}$ são suplementares. Assim todos os ângulos interiores são menores que π , o que implica que F é convexo.

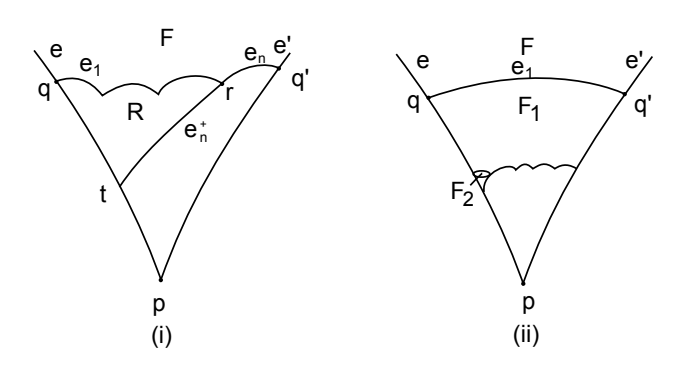


Figura 4.1: Arestas de F

Teorema 4.4. Os pontos $a_i, b_i, 1 \le i \le 8g - 4$, são todos distintos e se encontram ao longo de $\partial \mathbb{D}$ no sentido anti-horário e na seguinte ordem

$$a_1, b_0, a_2, b_1, ..., a_{8g-4}, b_{8g-5},$$

conforme representado na Figura 4.2.

Demonstração: Suponhamos que e e e' sejam arestas não consecutivas de F contendo respectivamente a geodésica \overline{e} e $\overline{e'}$ se encontrando em p (que pode eventualmente está contido em $\partial \mathbb{D}$). Sejam q, q' os pontos finais de e e e' próximos de p e $e_1, ..., e_n$ arestas consecutivas que estão entre q e q' como na Figura 4.1 (i).

Vamos mostrar para o caso que n > 1. Para F convexo, o segmento geodésico aberto qp, q'p se encontra fora de F. Então a curva que consiste dos segmentos $e_1, ..., e_n, qp, q'p$

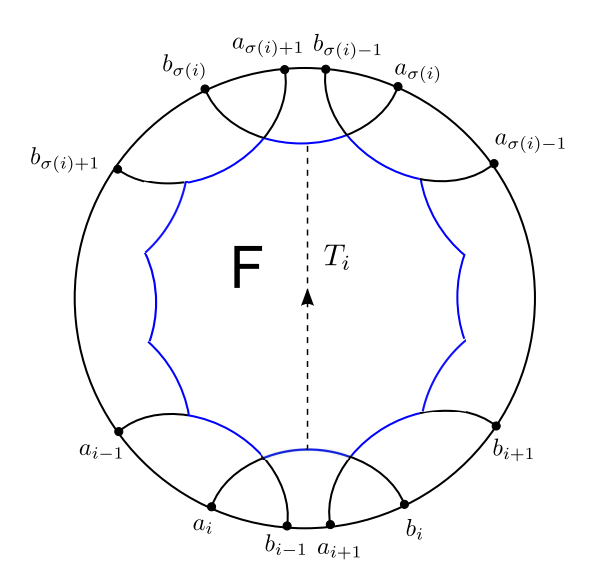


Figura 4.2: Pontos sobre o disco

é simples e limita uma região que chamaremos de R. Seja r o ponto final de e_n distinto de q', e e_n^+ uma parte de $e_n - e$ que começa em r. e_n^+ entra em R e deixa depois em t. Desde que e_n^+ encontra-se fora de F e não intercepte $\overline{e'}$ (caso contrário, $\overline{e_n}$, $\overline{e'}$ se cruzariam duas vezes), concluímos que t se encontra no segmento aberto qp. Assim \overline{e} , $\overline{e_n}$ se interceptam, e $e_1, ..., e_{n-1}$ são arestas consecutivas entre e e e_n .

Para n=1 vale o mesmo argumento. Sejam e e e' separado por e_1 como na Figura 4.1(ii). Seja F_1 um domínio fundamental adjacente de F do outro lado de e_1 . F_1 está dentro de um triângulo qq'p. Repetindo o argumento do primeiro parágrafo, obtemos uma domínio F_2 adjacente a F_1 e dentro de qq'p que tem um par não consecutivo de arestas cuja as extensões estão dentro de qq'p. Continuando, nós obtemos um número infinto de domínios fundamentais distintos dentro de qq'p, que é impossível já que qq'p tem área finita conforme o Teorema 1.71.

Teorema 4.5. T_i leva os pontos $a_{i-1}, a_i, b_{i-1}, a_{i+1}, b_i, b_{i+1}$ em respectivamente $a_{\sigma(i)+1}, b_{\sigma(i)}$ $b_{\sigma(i)+1}, a_{\sigma(i)-1}, a_{\sigma(i)}, b_{\sigma(i)-1}$.

Demonstração: Os pontos são ilustrados na Figura 4.2. Este teorema decorre do fato que T_i leva círculo em círculo. Por exemplo, T_i leva $\overline{\tau}$ a $\overline{\tau_{\sigma(i)}^{-1}}$. Então T_i , leva b_i ao ponto final de τ_i , e $a_{\sigma(i)}$ ao ponto final de $\overline{\tau_{\sigma(i)}^{-1}}$. O raciocínio semelhante acontece com os outros pontos.

Teorema 4.6. Seja $S = \mathbb{D}^2/\Gamma$ uma superfície compacta de gênero $g \geq 2$. Existe um polígono fundamental F limitado cuja fronteira ∂F consiste de (8g-4) segmentos geodésicos. Seja $\tau_1, ..., \tau_{8g-4}$ arestas consecutivas de ∂F na orientação anti-horário, e $\sigma(i)$ a permutação de ordem 2 de 1, ..., 8g-4 definida por

$$\sigma(i) = \begin{cases} 4g - i \mod(8g - 4), & \text{se } i \notin impar, \\ 2 - i \mod(8g - 4), & \text{se } i \notin par. \end{cases}$$

Seja τ_i^{-1} a mesma aresta de τ_i mas com a orientação reversa. Então,

- i) para cada τ_i , existe um único elemento $T_i \in \gamma$ tal que $T_i(\tau_i) = \tau_{\sigma(i)}^{-i}$;
- ii) $T_i(\tau_{i-1})$ e $T_i(\tau_{i+1})$ estão contidas respectivamente na mesma geodésica determinada por $\tau_{\sigma(i)+1}, \tau_{\sigma(i)-1}$.

A Figura 4.3 ilustra o teorema, onde τ_i é chamado de i. Definimos τ_i para todo inteiro i, j, que $\tau_i = \tau_j$ sempre que $i \equiv j \mod (8g-4)$. Seja p_i a intersecção de τ_{i-1} e τ_i . Então, $T_i = p_{\sigma(i)+1}$. Desde que T_i preserve os ângulos por (ii) é equivalente dizer que os ângulos interiores de F de p_i e $p_{\sigma(i)+1}$ são suplementares.

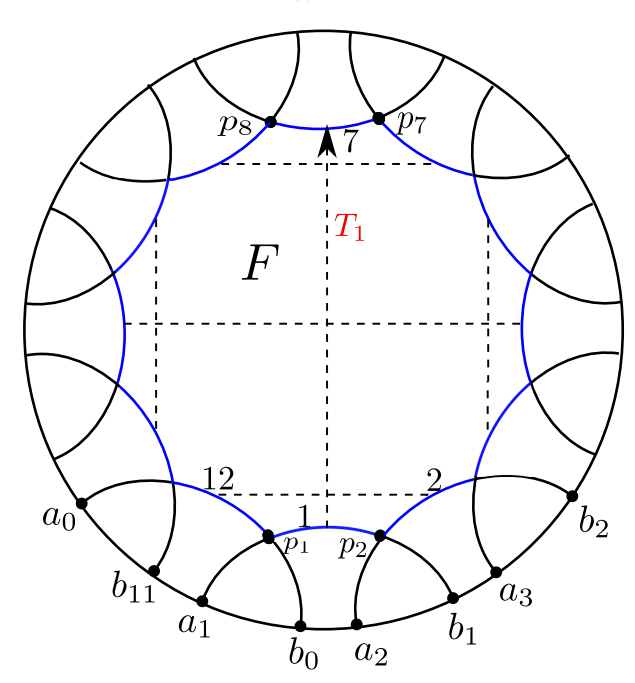


Figura 4.3: Polígono fundamental de 12 arestas.

Demonstração: [Teorema 4.6] Seja g o gênero de \mathbb{D}^2/Γ . Tomando F' um polígono regular de (8g-4) arestas descritas acima e Γ' o grupo Fuchsiano associado com os geradores $T'_1, ..., T'_{8g-4}$. Sejam v o número de ciclo de vértice e e o número de arestas emparelhadas. Então, v = 2g-1 e e = 4g-2. Pela fórmula de Euler, o gênero g' de \mathbb{D}^2/Γ' é dado por

$$2-2g' = v-e+1
= 2g-1-4g+2+1
= 2-2g.$$

Assim g'=g. Pelo Teorema 4.2, existe um homeomorfismo h que preserva orientação de $\overline{\mathbb{D}^2}$ para $\overline{\mathbb{D}^2}$ tal que $\Gamma=h\Gamma'h^-1$. A restrição de h para $\partial\mathbb{D}^2$ fornece um homeomorfismo que preserva a orientação $\partial\mathbb{D}^2$ em si mesmo. para F', seja $\overline{\tau_i}$ a geodésica

contendo τ_i e com a mesma orientação, e seja a_i', b_i' respectivamente os pontos inicial e final de $\overline{\tau_i'}$. Seja $a_i = h(a_i'), b_i = h(b_i')$. Desde que h preserva a orientação em $\partial \mathbb{D}$, podemos concluir pelo Teorema 4.4 que os pontos $a_i, b_i; 1 \leq i \leq 8g-4$ são todos distintos e se encontram ao longo de $\partial \mathbb{D}^2$ no sentido anti-horário e na ordem

$$a_1, b_0, a_2, b_1, ..., a_{8g-4}, b_{8g-5}.$$

Sejam $\overline{\tau_i}$ a geodésica de a_i para b_i e τ_{i-1} e a geodésica entre os pontos a_{i-1}, b_{i-1} . Temos que τ_{i-1} não se cruza com $\overline{\tau_i}$ em $\partial \mathbb{D}^2$, logo essa geodésicas se cruzam em um ponto p_i em \mathbb{D}^2 . Os pontos $p_i, 1 \leq i \leq 8g-4$, formam vértices sucessivos de um polígono F com arestas τ_1, τ_i sendo o segmento geodésico de p_i para p_{i+1} . Mostraremos que F é esse polígono desejado.

Seja $T_i = hT_i'h^{-1}$. A função $\varphi' \mapsto h\varphi'\mathbb{H}^{-1}$, $\varphi' \in \Gamma'$, um isomorfismo de Γ' em Γ e consequentemente os geradores $T_1', ..., T_{8g-4}'$ de Γ' leva aos geradores $T_1, ..., T_{8g-4}$ de Γ . Se $T_i'x = y$, então $T_i(hx) = hy$. Segue do Teorema 4.5 T_i leva os pontos $a_{i-1}, b_{i-1}, a_i, b_i, a_{i+1}, b_{i+1}$ respectivamente em $a_{\vartheta(i)}b_{\vartheta(i)}, b_{\sigma(i)}, a_{\sigma(i)}, a_{\rho(i)}, b_{\rho(i)}$, isto é, T_i leva as geodésicas $\tau_{i-1}^-, \bar{\tau}_i, \tau_{i+1}^-$ respectivamente $\tau_{\vartheta(i)}^-, \tau_{\sigma(i)}^{-1}, \tau_{\rho(i)}^-$. Desde que $T_i(p_i) = p_{\vartheta(i)}, T_i(p_{i+1}) = p_{\sigma(i)}$, isto é, T_i leva τ_i em $\tau_{\sigma(i)}$ e o ângulo interior θ_i de p_i ao ângulo exterior em $p_{\vartheta(i)}$ como visto na Figura 4.4.

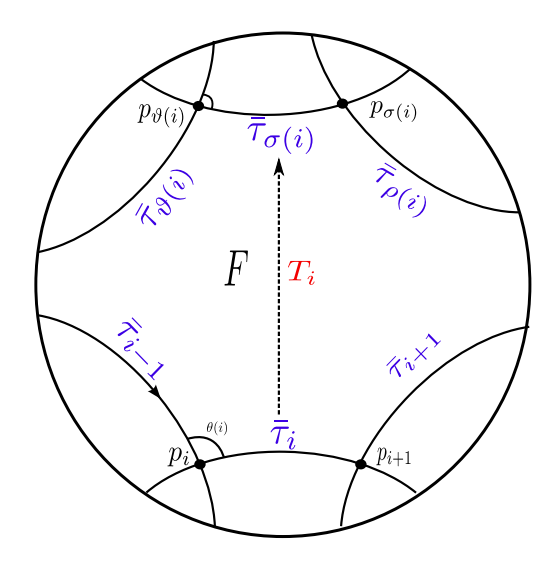


Figura 4.4: Transformação T_i .

Desde que T_i preserva os ângulos, concluímos que $\theta_i + \theta_{\sigma(i)} = \pi$. A soma dos ângulos internos de um ciclo de vértice é dado por :

$$(\theta_i + \theta_{\vartheta(i)}) + (\theta_{\vartheta^2(i)} + \theta_{\vartheta^3(i)}) = \pi + \pi = 2\pi.$$

Assim, F satisfaz à condição do Teorema de Poincaré 4.1 e assim concluímos que F é um Domínio fundamental de Γ .

Exemplo 4.7. Vejamos o seguinte emparelhamento para g = 2. Temos a nossa permutação de ordem 2 da seguinte maneira

$$\left\{ \begin{array}{ll} 8-i \ mod(12), & se \ i \ \'e \ impar \\ 2-i \ mod(12), & se \ i \ \'e \ par \end{array} \right. ,$$

então,

```
\sigma(1) \equiv
               7
                  \mod(12)
 \sigma(2) \equiv
               0 \mod (12)
 \sigma(3) \equiv
               5 \mod (12)
 \sigma(4) \equiv
             -2 \mod (12) = 10 \mod (12)
 \sigma(5) \equiv
             3 \mod (12)
 \sigma(6) \equiv
             -4 \mod (12) = 8 \mod (12)
 \sigma(7) \equiv 1 \mod (12)
 \sigma(8) \equiv -6 \mod (12) = 6 \mod (12)
 \sigma(9) \equiv
            -1 \mod (12)
                               = 11 \mod (12)
\sigma(10) \equiv
             -8 \mod (12)
                               = 4 \mod (12)
\sigma(11) \equiv
             -3
                  \mod(12)
                               = 9
                                       \mod(12)
                  \mod(12)
                              = 2
\sigma(12) \equiv -10
                                       \mod(12).
```

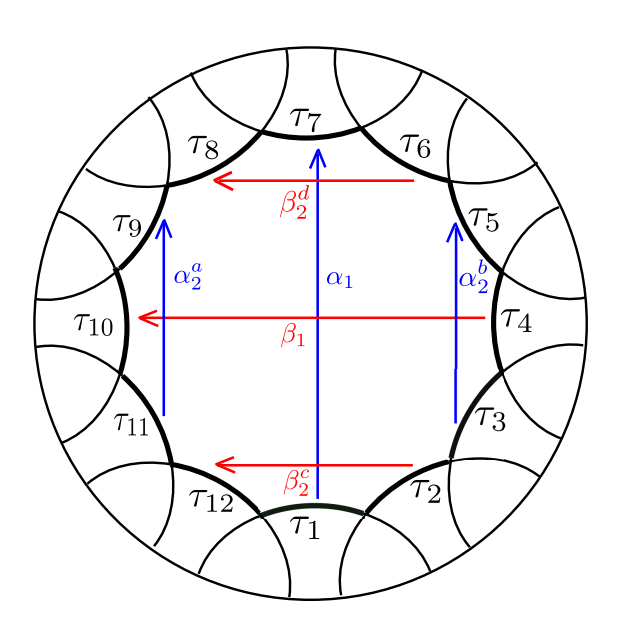


Figura 4.5: Tesselação para g=2.

Exemplo 4.8. Para o emparelhamento g = 3, temos

$$\left\{ \begin{array}{ll} 12-i\ mod(20), & se\ i\ \acute{e}\ impar\\ 2-i\ mod(20), & se\ i\ \acute{e}\ par \end{array} \right.,$$

logo,

```
\sigma(1)
              11
                    mod(20)
        \equiv
 \sigma(2)
        \equiv
                0
                    \mod(20)
 \sigma(3)
               9
                    \mod(20)
        \equiv
 \sigma(4)
              -2
                    \mod(20)
                                         \mod(20)
        \equiv
                                = 18
 \sigma(5)
               7
                    \mod(20)
        \equiv
 \sigma(6)
                   \mod(20)
                                    16
                                          mod(20)
              -4
                                =
 \sigma(7)
                   \mod(20)
               5
 \sigma(8)
              -6
                   \mod(20)
                                    14
                                          \mod(20)
        \equiv
                                =
 \sigma(9)
                   \mod(20)
        \equiv
              3
\sigma(10)
              -8
                    \mod(20)
                               = 12
                                          \mod(20)
        \equiv
\sigma(11)
                1
                    mod(20)
        \equiv
\sigma(12)
            -10
                    mod(20)
                                    10
                                          \mod(20)
        \equiv
                                =
                    mod(20)
                                    19
\sigma(13)
             -1
                                          \mod(20)
\sigma(14)
            -12
                   \mod(20)
                                =
                                    8
                                         \mod(20)
        \equiv
\sigma(15)
        \equiv
             -3
                   \mod(20)
                                =
                                    17
                                          \mod(20)
                    \mod(20)
\sigma(16)
            -14
                                =
                                    6
                                         \mod(20)
\sigma(17)
             -5
                   \mod(20)
                                    15
                                          \mod(20)
        \equiv
                                =
\sigma(18)
       \equiv
            -16
                   \mod(20)
                                =
                                    -4
                                          \mod(20)
\sigma(19) \equiv
              -7
                    mod(20)
                                    13
                                          \mod(20)
                                =
                    \mod(20)
                                     2
                                         \mod(20).
\sigma(20)
            -18
                                =
```

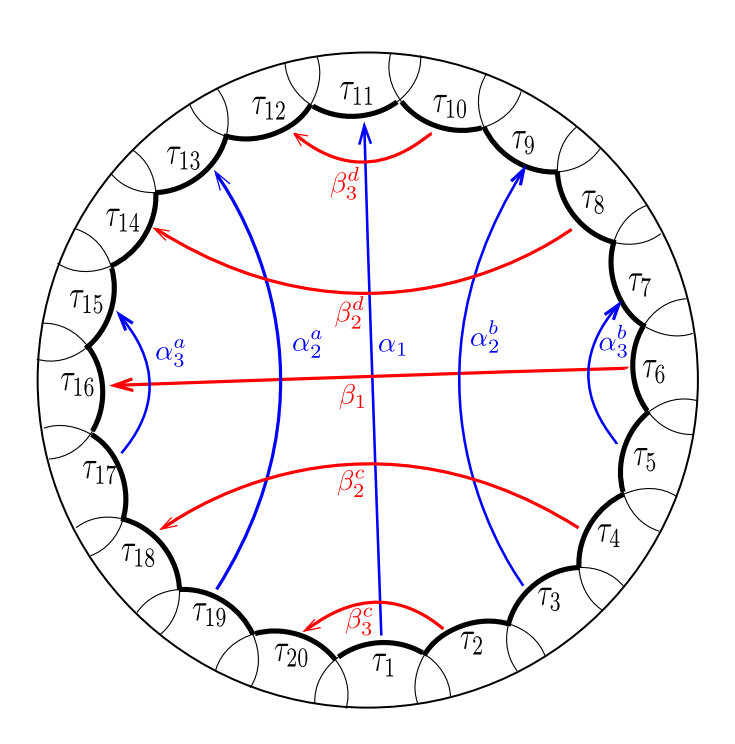


Figura 4.6: Tesselação para q = 3.

4.2 O polígono fundamental 8g-4

Sabemos que \mathbb{H}^2/Γ origina um g-toro através de um emparelhamento de arestas da região fundamental \mathcal{F} de Γ e este deve possuir um número par de arestas. Impondo a condição que \mathcal{F} seja um polígono hiperbólico regular centrado na origem de \mathbb{D}^2 , podemos encontrar expressões para as isometrias que geram grupo Fuchsiano Γ de assinatura (g,0) a partir de \mathcal{F} .

Temos pelo Teorema 1.62,

$$\mu(\mathbb{D}^2/\Gamma) = 2\pi[2(g-1)+0]$$

= $4\pi(g-1)$.

Tomando o polígono $\mathcal{F} = 8g - 4$ arestas, vamos ter nessa região composta por 8g - 4 triângulos isósceles. Temos que um dos ângulos internos é

$$\theta = \frac{2\pi}{8g - 4} = \frac{\pi}{4g - 2}.$$

Além disso, os vértices de ângulo $\frac{\pi}{4g-2}$ de todos os triângulos se encontram na origem. Assim, a área A_{\triangle} de cada triângulo é dado pela a expressão

$$A_{\triangle} = \frac{4\pi(g-1)}{8g-4}$$

= $\frac{\pi(g-1)}{2g-1}$.

Seja ϕ a medida de cada um dos outros dois ângulos de cada triângulo em questão. Pelo Teorema de Gauss-Bonnet,

$$A_{\triangle} = \pi - \left(\frac{\pi}{4g - 2} + 2\phi\right) \Rightarrow$$

$$\frac{\pi(g - 1)}{2g - 1} = \pi - \frac{\pi}{4g - 2} + 2\phi \Rightarrow$$

$$\frac{2(g\pi - \pi)}{2(2g - 1)} - \frac{(4g - 2)\pi - \pi}{2(2g - 1)} = -2\phi \Rightarrow$$

$$\frac{2g\pi - 2\pi - 4g\pi + 2\pi + \pi}{2(2g - 1)} = -2\phi \Rightarrow$$

$$\frac{-\pi(2g-1)}{2(2g-1)} = -2\phi \implies$$

$$\phi = \frac{\pi}{4}.$$

Então os ângulos internos dos 8g-4 triângulos são: $\frac{\pi}{4g-2}$, $\frac{\pi}{4}$, $\frac{\pi}{4}$. A próxima etapa é encontrar as equações dos círculos euclidianos que contêm as geodésicas que forma as arestas de \mathcal{F} . Para tanto, consideremos, a Figura 4.7, que destaca em \mathbb{D}^2 uma das geodésicas de \mathcal{F} em consideração, temos as seguintes relações obtidas a partir dos dois triângulos retângulos:

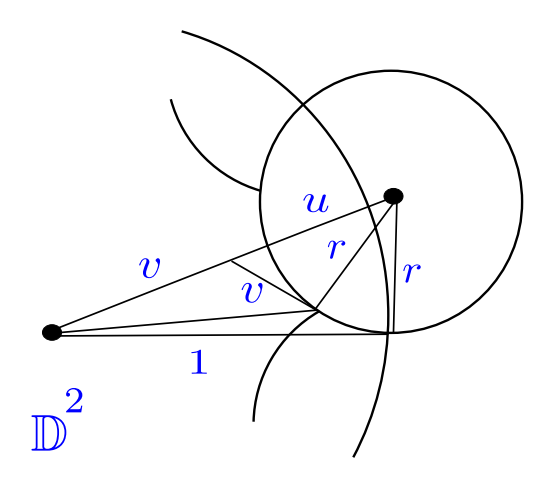


Figura 4.7: Obtendo expressões analíticas para as geodésicas de F.

$$r^{2} = u^{2} \operatorname{sen}^{2} \frac{\pi}{4g - 2}$$
$$(u + v)^{2} = \left(u + u \cos \frac{\pi}{4g - 2}\right)^{2} = 1 + r^{2}.$$

Calculando u^2 e chamando $\theta = \frac{\pi}{4g-2}$,

$$(u + u\cos\theta)^2 = 1 + u^2\sin\theta \implies$$

$$u^2 + 2u^2\cos\theta + u^2\cos^2\theta - 1 - u^2\sin^2\theta = 0 \implies$$

$$u^2(1 + 2\cos\theta + \cos^2\theta - \sin^2\theta) - 1 = 0 \implies$$

$$u^2(1 + 2\cos\theta + \cos^2\theta) - 1 = 0 \implies$$

$$u^{2}(1+2\cos\theta+2\cos^{\theta}-1)-1 = 0 \Rightarrow$$

$$u^{2}(2\cos\theta+2\cos^{\theta})-1 = 0 \Rightarrow$$

$$u^{2} = \frac{1}{(2\cos\theta+2\cos^{\theta})}.$$

Logo,

$$r^{2} = \frac{1}{(2\cos\theta + 2\cos^{\theta})} \sin\theta$$

$$= \frac{\frac{\sin^{2}\theta}{\cos^{2}\theta}}{\frac{2\cos\theta + 2\cos^{2}\theta}{\cos^{2}\theta}}$$

$$= \frac{\tan^{2}}{2 + 2\sec\theta} \Rightarrow$$

$$r = \frac{\tan\theta}{\sqrt{2 + 2\sec\theta}},$$

$$r = \frac{\tan\frac{\pi}{4g-2}}{\sqrt{2 + 2\sec\frac{\pi}{4g-2}}}.$$

ou seja,

De modo análogo, temos

$$(u+v) = \sqrt{\frac{1 + \sec\frac{\pi}{4g-2}}{2}}.$$

Com isso, os centros euclidianos das geodésicas das arestas de \mathcal{F} são

$$e^{\left(i\frac{\pi}{4g-2}(1/2+k)\right)}\sqrt{\frac{1+\sec\frac{\pi}{4g-2}}{2}}, \ k=0,...,8g-5$$

e os raios são

$$r = \frac{\tan\frac{\pi}{4g - 2}}{\sqrt{2 + 2\sec\frac{\pi}{4g - 2}}}.$$

Podemos agora encontrar as isometrias geradoras de Γ , pois as outras serão conjugação desta. Rotulemos as arestas de \mathcal{F} com $\tau_1,...,\tau_{8g-4}$ sendo a contagem iniciada no sentido anti-horário. Seja

$$\alpha: \mathbb{D}^2 \to \mathbb{D}^2$$

$$z \mapsto \frac{az + \bar{b}}{bz + \bar{a}}, \ a, b \in \mathbb{C}, a\bar{a} - b\bar{b} = 1$$

um transformação hiperbólica que emparelha as arestas τ_1 e τ_{4g-1} . A inversa de α é

O centro de τ_1 pode ser dado por

$$e^{\left(i\frac{\pi}{8g-4}\right)}\sqrt{\frac{1+\sec\frac{\pi}{4g-2}}{2}},$$

e o centro de τ_{4g-1} por

$$e^{\left(i\frac{\pi}{4g-2}(1/2+4g-2)\right)}\sqrt{\frac{1+\sec\frac{\pi}{4g-2}}{2}}.$$

Os círculos isométricos de α possui centro $-\frac{\bar{a}}{b}$ e raio $\frac{1}{|b|}$; e o de α^{-1} centro de $\frac{a}{b}$ e mesmo raio. Assim,

$$-\frac{\bar{a}}{b} = e^{\left(i\frac{\pi}{8g-4}\right)} \sqrt{\frac{1+\sec\frac{\pi}{4g-2}}{2}} \tag{4.1}$$

$$\frac{1}{|b|} = \frac{\tan\frac{\pi}{4g-2}}{\sqrt{2 + 2\sec\frac{\pi}{4g-2}}} \tag{4.2}$$

$$\frac{a}{b} = e^{\left(i\frac{\pi}{4g-2}(1/2+4g-2)\right)} \sqrt{\frac{1+\sec\frac{\pi}{4g-2}}{2}}$$
(4.3)

Utilizando (4.1) e (4.3), temos

$$a = -e^{\left(i\frac{\pi}{4g-2}\left(\frac{1}{2}+4g-2\right)-\frac{\pi}{8g-4}\right)}\bar{a}$$
$$= -e^{i\pi}\bar{a},$$

De $a\bar{a}-b\bar{b}=1$ e (4.2), temos que $b\bar{b}=|b|^2$ e $\bar{a}=-e^{-i\pi}a$ então,

$$a\bar{a} - |b|^2 = 1 \Rightarrow a\bar{a} = 1 + |b|^2 \Rightarrow -a^2 e^{-i\pi} = 1 + \frac{2 + 2\sec\frac{\pi}{4g - 2}}{\tan^2\frac{\pi}{4g - 2}}$$

$$= 1 + \frac{2(1 + \sec \frac{\pi}{4g-2})}{\left(\sec \frac{\pi}{4g-2} - 1\right) \left(\sec \frac{\pi}{4g-2} + 1\right)}$$

$$= 1 + \frac{2}{\sec \frac{\pi}{4g-2} - 1}$$

$$= 1 + \frac{2\cos \frac{\pi}{4g-2}}{1 - \cos \frac{\pi}{4g-2}}$$

$$= \frac{1 + \cos \frac{\pi}{4g-2}}{1 - \cos \frac{\pi}{4g-2}}$$

$$= \frac{1 + \cos \frac{\pi}{4g-2}}{1 - \cos \frac{\pi}{4g-2}} \frac{1 + \cos \frac{\pi}{4g-2}}{1 + \cos \frac{\pi}{4g-2}}$$

$$= \frac{\left(1 + \cos \frac{\pi}{4g-2}\right)^2}{1 - \cos^2 \frac{\pi}{4g-2}}$$

$$= \frac{\left(1 + \cos \frac{\pi}{4g-2}\right)^2}{\sec \frac{\pi}{2} \frac{\pi}{4g-2}}$$

$$\Rightarrow a^2 = -\frac{\left(1 + \cos \frac{\pi}{4g-2}\right)^2}{\sec \frac{\pi}{2} \frac{\pi}{4g-2}} e^{i\pi} \Rightarrow$$

$$a = \pm \sqrt{-\frac{\left(1 + \cos \frac{\pi}{4g-2}\right)^2}{\sec \frac{\pi}{2} \frac{\pi}{4g-2}}} e^{i\frac{\pi}{2}}$$

$$= \pm \frac{1 + \cos \frac{\pi}{4g-2}}{\sec \frac{\pi}{4g-2}} e^{i\frac{\pi}{2}} i,$$

temos $e^{i\frac{\pi}{2}} = \cos\frac{\pi}{2} + i \sin\frac{\pi}{2} = i$, logo,

$$a = \pm \frac{1 + \cos\frac{\pi}{4g - 2}}{\sin\frac{\pi}{4g - 2}}$$
.

Agora calculando o valor de b,

$$\frac{a}{b} = e^{\left(i\frac{\pi}{4g-2}(1/2+4g-2)\right)} \sqrt{\frac{1+\sec\frac{\pi}{4g-2}}{2}} \Rightarrow b$$

$$b = \pm \frac{1+\cos\frac{\pi}{4g-2}}{\sin\frac{\pi}{4g-2}} e^{-\left(i\pi\frac{8g-3}{8g-4}\right)} \frac{1}{\sqrt{\frac{1+\sec\frac{\pi}{4g-2}}{2}}}$$

$$= \pm \frac{1+\cos\frac{\pi}{4g-2}}{\sin\frac{\pi}{4g-2}} \sqrt{\frac{2}{1+\sec\frac{\pi}{4g-2}}} e^{-\left(i\pi\frac{8g-3}{8g-4}\right)}$$

$$= \pm \frac{1+\cos\frac{\pi}{4g-2}}{\sin\frac{\pi}{4g-2}} \sqrt{\frac{2\cos\frac{\pi}{4g-2}}{1+\cos\frac{\pi}{4g-2}}} e^{-\left(i\pi\frac{8g-3}{8g-4}\right)}$$

$$= \pm \frac{\sqrt{\left(1+\cos\frac{\pi}{4g-2}\right)^2}}{\sin\frac{\pi}{4g-2}} \sqrt{\frac{2\cos\frac{\pi}{4g-2}}{1+\cos\frac{\pi}{4g-2}}} e^{-\left(i\pi\frac{8g-3}{8g-4}\right)} \Rightarrow b$$

$$b = \pm \frac{\sqrt{2\left(1+\cos\frac{\pi}{4g-2}\right)\cos\frac{\pi}{4g-2}} e^{-\left(i\pi\frac{8g-3}{8g-4}\right)}}{\sin\frac{\pi}{4g-2}} e^{-\left(i\pi\frac{8g-3}{8g-4}\right)}.$$

Proposição 4.9. A isometria hiperbólica α que emparelha as arestas τ_1 a τ_{4g-1} é dada por

$$\alpha(z) = \frac{\left(1 + \cos\frac{\pi}{4g - 2}\right)z - \sqrt{2\left(1 + \cos\frac{\pi}{4g - 2}\right)\cos\frac{\pi}{4g - 2}}e^{-\left(i\pi\frac{8g - 3}{8g - 4}\right)}}{\sqrt{2\left(1 + \cos\frac{\pi}{4g - 2}\right)\cos\frac{\pi}{4g - 2}}e^{\left(i\pi\frac{8g - 3}{8g - 4}\right)}z + \left(1 + \cos\frac{\pi}{4g - 2}\right)},$$

ou melhor,

$$\alpha(z) = \frac{\sqrt{\left(1 + \cos\frac{\pi}{4g - 2}\right)}z - \sqrt{2\cos\frac{\pi}{4g - 2}}e^{\left(i\pi\frac{8g - 3}{8g - 4}\right)}}{\sqrt{2\cos\frac{\pi}{4g - 2}}e^{-\left(i\pi\frac{8g - 3}{8g - 4}\right)}z + \sqrt{\left(1 + \cos\frac{\pi}{4g - 2}\right)}}.$$

Como dito antes, podemos encontrar as outras isometrias através da conjugação de uma isometria elíptica de ordem $\frac{8g-4}{k}$ que fixam o baricentro do polígono, definida por

$$\rho_k: \mathbb{D}^2 \to \mathbb{D}^2
z \mapsto e^{i\frac{\pi}{4g-2}(\frac{1}{2}+k)}z, k = 1, ..., 8g - 5,$$

a qual pode ser representada matricialmente por:

$$M_{\rho} = \begin{pmatrix} e^{\left(i\frac{2\pi}{8g-4}\right)} & 0\\ 0 & e^{\left(-i\frac{2\pi}{8g-4}\right)} \end{pmatrix}.$$

Podemos representar da seguinte forma as funções de emparelhamento, através de α_1 e β_1

$$\alpha_{k+1}^{a} = \rho_{2k} \cdot \alpha_{1} \cdot \rho_{2k} ; k = 1, ..., g - 1$$

$$\alpha_{k+1}^{b} = \rho_{2k}^{-1} \cdot \alpha_{1} \cdot \rho_{2k}^{-1} ; k = 1, ..., g - 1$$

$$\beta_{k+1}^{c} = \rho_{2k} \cdot \beta_{1} \cdot \rho_{2k} ; k = 1, ..., g - 1$$

$$\beta_{k+1}^{d} = \rho_{2k}^{-1} \cdot \beta_{1} \cdot \rho_{2k}^{-1} ; k = 1, ..., g - 1$$

$$\beta_{1} = \rho_{2q-1}^{-1} \cdot \alpha_{1} \cdot \rho_{2g-1}.$$

Assim, podemos escrever $\beta_{k+1}^{c,d}$ em função de α_1

$$\beta_{k+1}^c = \rho_{2k} \cdot \left(\rho_{2g-1}^{-1} \cdot \alpha_1 \cdot \rho_{2g-1} \right) \cdot \rho_{2k}; k = 1, ..., g-1$$

e

$$\beta_{k+1}^d = \rho_{2k}^{-1} \cdot \left(\rho_{2q-1}^{-1} \cdot \alpha_1 \cdot \rho_{2q-1}\right) \cdot \rho_{2k}^{-1}; k = 1, ..., g-1.$$

Agora para simplificar, multiplicamos as isometrias elípticas tanto à direita quanto à esquerda. Primeiramente note que as isometrias ρ são dadas da seguinte forma matricial:

$$M_{\rho_{2k}} = \begin{pmatrix} e^{i\frac{4k\pi}{8g-4}} & 0\\ 0 & e^{-i\frac{4k\pi}{8g-4}} \end{pmatrix}. \tag{4.4}$$

$$M_{\rho_{2k}^{-1}} = \begin{pmatrix} e^{-i\frac{4k\pi}{8g-4}} & 0\\ 0 & e^{i\frac{4k\pi}{8g-4}} \end{pmatrix}. \tag{4.5}$$

$$M_{\rho_{2g-1}} = \begin{pmatrix} e^{i\frac{2\pi}{8g-4}(2g-1)} & 0\\ 0 & e^{-i\frac{2\pi}{8g-4}(2g-1)} \end{pmatrix}.$$
(4.6)

$$M_{\rho_{2g-1}^{-1}} = \begin{pmatrix} e^{-i\frac{2\pi}{8g-4}(2g-1)} & 0\\ 0 & e^{i\frac{2\pi}{8g-4}(2g-1)} \end{pmatrix}. \tag{4.7}$$

Multiplicando as matrizes $M_{\rho_{2k}} \cdot M_{\rho_{2g-1}^{-1}}$ dadas por (4.4) e (4.7), temos

$$\begin{pmatrix}
e^{-i\frac{2\pi}{8g-4}((2g-1)-2k)} & 0 \\
0 & e^{i\frac{2\pi}{8g-4}((2g-1)-2k)}
\end{pmatrix} = M_{\rho_{(2g-1)-2k}^{-1}}.$$
(4.8)

Multiplicando as matrizes $M_{\rho_{2g-1}} \cdot M_{\rho_{2k}}$ dadas por (4.6) e (4.4), temos

$$\begin{pmatrix}
e^{i\frac{2\pi}{8g-4}((2g-1)+2k)} & 0 \\
0 & e^{-i\frac{2\pi}{8g-4}((2g-1)+2k)}
\end{pmatrix} = M_{\rho_{(2g-1)+2k}}.$$
(4.9)

Multiplicando as matrizes $M_{\rho_{2k}^{-1}} \cdot M_{\rho_{2q-1}^{-1}}$ dadas por (4.5) e (4.7)

$$\begin{pmatrix}
e^{-i\frac{2\pi}{8g-4}((2g-1)+2k)} & 0 \\
0 & e^{i\frac{2\pi}{8g-4}((2g-1)+2k)}
\end{pmatrix} = M_{\rho_{(2g-1)+2k}^{-1}}.$$
(4.10)

Multiplicando as matrizes $M_{\rho_{2g-1}} \cdot M_{\rho_{2k}^{-1}}$ dadas (4.6) e (4.5)

$$\begin{pmatrix}
e^{i\frac{2\pi}{8g-4}((2g-1)-2k)} & 0 \\
0 & e^{-i\frac{2\pi}{8g-4}((2g-1)-2k)}
\end{pmatrix} = M_{\rho_{(2g-1)-2k}}.$$
(4.11)

Assim podemos reescrever $\beta_{k+1}^{c,d}$ em função de α_1 da seguinte forma:

$$\beta_{k+1}^c = \rho_{(2g-1)-2k}^{-1} \cdot \alpha_1 \cdot \rho_{(2g-1)+2k}; k = 1, ..., g-1$$

е

$$\beta_{k+1}^d = \rho_{(2g-1)+2k}^{-1} \cdot \alpha_1 \cdot \rho_{(2g-1)-2k}; k = 1, ..., g-1.$$

Como calculado anteriormente o emparelhamento de τ_1 a τ_{4g+1} , podemos exibir a matriz de α_1 que é dado da seguinte forma:

$$M_{\alpha_{1}} = \begin{pmatrix} \frac{1 + \cos\frac{\pi}{4g-2}}{\sin\frac{\pi}{4g-2}} & \frac{\sqrt{2\left(1 + \cos\frac{\pi}{4g-2}\right)\cos\frac{\pi}{4g-2}}}{\sin\frac{\pi}{4g-2}} e^{-\left(i\pi\frac{8g-3}{8g-4}\right)} \\ \frac{\sqrt{2\left(1 + \cos\frac{\pi}{4g-2}\right)\cos\frac{\pi}{4g-2}}}{\sin\frac{\pi}{4g-2}} e^{\left(i\pi\frac{8g-3}{8g-4}\right)} & \frac{1 + \cos\frac{\pi}{4g-2}}{\sin\frac{\pi}{4g-2}} \end{pmatrix}.$$

$$(4.12)$$

Afim de reduzir escrita e espaço, chamaremos

$$u = \frac{\sqrt{2\left(1 + \cos\frac{\pi}{4g - 2}\right)\cos\frac{\pi}{4g - 2}}}{\sin\frac{\pi}{4g - 2}},$$

com isso podemos reescrever M_{α_1} ,

$$M_{\alpha_1} = \begin{pmatrix} \frac{1 + \cos\frac{\pi}{4g - 2}}{\sin\frac{\pi}{4g - 2}} & ue^{-\left(i\pi\frac{8g - 3}{8g - 4}\right)} \\ e^{\left(i\pi\frac{8g - 3}{8g - 4}\right)} & \frac{1 + \cos\frac{\pi}{4g - 2}}{\sin\frac{\pi}{4g - 2}} \end{pmatrix}$$
(4.13)

e com isso, vamos encontrar as matrizes de $\alpha_{k+1}^{a,b},\beta_1$ e $\beta_{k+1}^{c,d}.$ Vejamos

$$\begin{aligned} M_{\alpha_{k+1}^a} &= M_{\rho_{2k}} \cdot M_{\alpha_1} \cdot M_{\rho_{2k}} \\ &= \begin{pmatrix} e^{i\frac{4k\pi}{8g-4}} & 0 \\ 0 & e^{-i\frac{4k\pi}{8g-4}} \end{pmatrix} \cdot \begin{pmatrix} \frac{1+\cos\theta}{\sin\frac{\pi}{4g-2}} & ue^{-\left(i\pi\frac{8g-3}{8g-4}\right)} \\ ue^{\left(i\pi\frac{8g-3}{8g-4}\right)} & \frac{1+\cos\frac{\pi}{4g-2}}{\sin\frac{\pi}{4g-2}} \end{pmatrix} \cdot \begin{pmatrix} e^{i\frac{4k\pi}{8g-4}} & 0 \\ 0 & e^{-i\frac{4k\pi}{8g-4}} \end{pmatrix} \\ &= \begin{pmatrix} \frac{1+\cos\frac{\pi}{4g-2}}{\sin\frac{\pi}{4g-2}} e^{i\frac{4k\pi}{8g-4}} & ue^{-i\pi\left(\frac{(8g-3)-4k}{8g-4}\right)} \\ ue^{i\pi\left(\frac{(8g-3)-4k}{8g-4}\right)} & \frac{1+\cos\frac{\pi}{4g-2}}{\sin\frac{\pi}{4g-2}} e^{-i\frac{4k\pi}{8g-4}} \end{pmatrix} \cdot \begin{pmatrix} e^{i\frac{4k\pi}{8g-4}} & 0 \\ 0 & e^{-i\frac{4k\pi}{8g-4}} \end{pmatrix} \end{aligned}$$

$$= \begin{pmatrix} \frac{1 + \cos\frac{\pi}{4g - 2}}{\sin\frac{\pi}{4g - 2}} e^{i\frac{8k\pi}{8g - 4}} & ue^{-i\pi\left(\frac{8g - 3}{8g - 4}\right)} \\ e^{i\pi\left(\frac{8g - 3}{8g - 4}\right)} & \frac{1 + \cos\frac{\pi}{4g - 2}}{\sin\frac{\pi}{4g - 2}} e^{-i\frac{8k\pi}{8g - 4}} \end{pmatrix}.$$

$$\begin{split} &M_{\alpha_{k+1}^0} &= M_{\rho_{2k}^{-1}} \cdot M_{\alpha_1} \cdot M_{\rho_{2k}^{-1}} \\ &= \begin{pmatrix} e^{-i\frac{4k\pi}{8g-4}} & 0 \\ 0 & e^{i\frac{4k\pi}{8g-4}} \end{pmatrix} \cdot \begin{pmatrix} \frac{1+\cos\frac{\pi}{4g-2}}{\sin\frac{\pi}{g-2}} & ue^{-(i\pi\frac{8g-3}{8g-4})} \\ ue^{(i\pi\frac{8g-3}{8g-4})} & \frac{1+\cos\frac{\pi}{4g-2}}{\sin\frac{\pi}{4g-2}} \end{pmatrix} \cdot \begin{pmatrix} e^{-i\frac{4k\pi}{8g-4}} & 0 \\ 0 & e^{i\frac{4k\pi}{8g-4}} \end{pmatrix} \\ &= \begin{pmatrix} \frac{1+\cos\frac{\pi}{4g-2}}{\sin\frac{\pi}{4g-2}} e^{-i\frac{4k\pi}{8g-4}} & ue^{-i\pi\left(\frac{(8g-3)-4k}{8g-4}\right)} \\ ue^{(i\pi\frac{8g-3}{8g-4})} & \frac{1+\cos\frac{\pi}{4g-2}}{\sin\frac{\pi}{4g-2}} e^{i\frac{4k\pi}{8g-4}} \end{pmatrix} \cdot \begin{pmatrix} e^{-i\frac{4k\pi}{8g-4}} & 0 \\ 0 & e^{i\frac{4k\pi}{8g-4}} \end{pmatrix} \\ &= \begin{pmatrix} \frac{1+\cos\frac{\pi}{4g-2}}{\sin\left(\frac{8g-3}{8g-4}\right)} & \frac{1+\cos\frac{\pi}{4g-2}}{\sin\frac{\pi}{4g-2}} e^{i\frac{4k\pi}{8g-4}} \\ ue^{-i\pi\left(\frac{8g-3}{8g-4}\right)} & \frac{1+\cos\frac{\pi}{4g-2}}{\sin\frac{\pi}{4g-2}} e^{i\frac{8g-3}{8g-4}} \end{pmatrix} \\ &= \begin{pmatrix} \frac{1+\cos\frac{\pi}{4g-2}}{\sin\left(\frac{8g-3}{8g-4}\right)} & \frac{1+\cos\frac{\pi}{4g-2}}{\sin\frac{\pi}{4g-2}} e^{i\frac{8g-3}{8g-4}} \\ ue^{-i\pi\left(\frac{8g-3}{8g-4}\right)} & \frac{1+\cos\frac{\pi}{4g-2}}{\sin\frac{\pi}{4g-2}} e^{i\frac{8g-3}{8g-4}} \end{pmatrix} \\ &= \begin{pmatrix} e^{-i\frac{2\pi(2g-1)}{8g-4}} & 0 \\ 0 & e^{i\frac{2\pi(2g-1)}{8g-4}} & e^{-i\pi\left(\frac{8g-3}{8g-4}\right)} & \frac{1+\cos\frac{\pi}{4g-2}}{\sin\frac{\pi}{4g-2}} \\ ue^{-i\pi\left(\frac{8g-3}{8g-4}\right)} & \frac{1+\cos\frac{\pi}{4g-2}}{\sin\frac{\pi}{4g-2}} \end{pmatrix} \cdot \begin{pmatrix} e^{i\frac{2\pi(2g-1)}{8g-4}} & 0 \\ 0 & e^{-i\frac{2\pi(2g-1)}{8g-4}} & e^{-i\pi\left(\frac{8g-3}{8g-4}\right)} & \frac{1+\cos\frac{\pi}{4g-2}}{\sin\frac{\pi}{4g-2}} \end{pmatrix} \\ &= \begin{pmatrix} \frac{1+\cos\frac{\pi}{4g-2}}{\frac{4g-2}} e^{-i\frac{2\pi(2g-1)}{8g-4}} & ue^{-i\pi\left(\frac{8g-3}{8g-4}\right)} & \frac{1+\cos\frac{\pi}{4g-2}}{\frac{4g-2}{3g-4}} \end{pmatrix} \\ &= \begin{pmatrix} \frac{1+\cos\frac{\pi}{4g-2}}{\frac{4g-2}} e^{-i\frac{2\pi(2g-1)}{8g-4}} & ue^{-i\pi\left(\frac{8g-3}{8g-4}\right)} & \frac{1+\cos\frac{\pi}{4g-2}}{\frac{4g-2}{3g-4}} \end{pmatrix} \\ &= \begin{pmatrix} \frac{1+\cos\frac{\pi}{4g-2}}{\frac{4g-2}} e^{-i\frac{2\pi(2g-1)}{8g-4}} & ue^{-i\pi\left(\frac{8g-3}{8g-4}\right)} & \frac{2\pi(2g-1)}{\frac{8g-4}{3g-4}} \end{pmatrix} \\ &= \begin{pmatrix} \frac{1+\cos\frac{\pi}{4g-2}}{\frac{4g-2}} & ue^{-i\pi\left(\frac{8g-3}{8g-4}\right)} & \frac{1+\cos\frac{\pi}{4g-2}}{\frac{4g-2}{3g-4}} \end{pmatrix} \\ &= \begin{pmatrix} \frac{1+\cos\frac{\pi}{4g-2}}{\frac{4g-2}} & ue^{-i\pi\left(\frac{8g-3}{8g-4}\right)} & \frac{2\pi(2g-1)}{\frac{8g-4}{3g-4}} \end{pmatrix} \\ &= \begin{pmatrix} \frac{1+\cos\frac{\pi}{4g-2}}{\frac{4g-2}} & ue^{-i\pi\left(\frac{8g-3}{8g-4}\right)} & \frac{2\pi(2g-1)}{\frac{8g-4}{3g-4}} \end{pmatrix} \\ &= \begin{pmatrix} \frac{1+\cos\frac{\pi}{4g-2}}{\frac{4g-2}} & ue^{-i\pi\left(\frac{8g-3}{3g-4}\right)} & \frac{2\pi(2g-1)}{\frac{4g-2}{3g-4}} \end{pmatrix} \\ &= \begin{pmatrix} \frac{1+\cos\frac{\pi}{4g-2}}{\frac{4g-2}} & ue^{-i\pi\left(\frac{8g-3}{3g-4}\right)} & \frac{2\pi(2g-1)}{\frac{4g-2}{3g-4}} \end{pmatrix} \\ &= \begin{pmatrix} \frac{1+\cos\frac{\pi}{4g-2}}{\frac{4g-2}} & ue^{-i\pi\left(\frac{8g-3}{3$$

Para simplificar as matrizes a seguir usaremos as seguintes notações:

$$\theta = \frac{(8g-3) + 2(2g-1-2k)}{8g-4};$$

$$\psi_1 = (2g-1) + 2k;$$

$$\psi_2 = (2g-1) - 2k.$$

$$\begin{split} M_{\beta_{k+1}^c} &= M_{\rho_{2g-1-2k}^{-1}} \cdot M_{\alpha_1} \cdot M_{\rho_{2g-1+2k}} \\ &= \begin{pmatrix} e^{-i\frac{2\pi}{8g-4}\psi_2} & 0 \\ 0 & e^{i\frac{2\pi}{8g-4}\psi_2} \end{pmatrix} \cdot \begin{pmatrix} \frac{1+\cos\theta}{\sin\frac{\pi}{4g-2}} & ue^{-\left(i\pi\frac{8g-3}{8g-4}\right)} \\ \frac{1+\cos\frac{\pi}{4g-2}}{\sin\frac{\pi}{4g-2}} \end{pmatrix} \cdot M_{\rho_{2g-1+2k}} \\ &= \begin{pmatrix} \frac{1+\cos\frac{\pi}{4g-2}}{\sin\frac{\pi}{4g-2}}e^{-i\frac{2\pi}{8g-4}\psi_2} & ue^{-i\pi\theta} \\ ue^{i\pi\theta} & \frac{1+\cos\frac{\pi}{4g-2}}{\sin\frac{\pi}{4g-2}}e^{-i\frac{2\pi}{8g-4}\psi_2} \end{pmatrix} \begin{pmatrix} e^{i\frac{2\pi}{8g-4}\psi_1} & 0 \\ 0 & e^{-i\frac{2\pi}{8g-4}\psi_1} \end{pmatrix} \\ &= \begin{pmatrix} \frac{1+\cos\frac{\pi}{4g-2}}{\sin\frac{\pi}{4g-2}}e^{i\frac{8k\pi}{8g-4}} & ue^{-i\pi\left(\frac{(8g-3)+4(2g-1)}{8g-4}\right)} \\ e^{i\pi\left(\frac{(8g-3)+4(2g-1)}{8g-4}\right)} & \frac{1+\cos\frac{\pi}{4g-2}}{\sin\frac{\pi}{4g-2}}e^{-i\frac{8k\pi}{8g-4}} \end{pmatrix}. \end{split}$$

$$\begin{split} &M_{\beta_{k+1}^d} &= M_{\rho_{2g-1+2k}^{-1}} \cdot M_{\alpha_1} \cdot M_{\rho_{2g-1-2k}} \\ &= \begin{pmatrix} e^{-i\frac{2\pi}{8g-4}\psi_1} & 0 \\ 0 & e^{i\frac{2\pi}{8g-4}\psi_1} \end{pmatrix} \cdot \begin{pmatrix} \frac{1+\cos\frac{\pi}{4g-2}}{\sin\frac{\pi}{4g-2}} & ue^{-\left(i\pi\frac{8g-3}{8g-4}\right)} \\ ue^{\left(i\pi\frac{8g-3}{8g-4}\right)} & \frac{1+\cos\frac{\pi}{4g-2}}{\sin\frac{\pi}{4g-2}} \end{pmatrix} \cdot M_{\rho_{2g-1-2k}} \\ &= \begin{pmatrix} \frac{1+\cos\frac{\pi}{4g-2}}{\sin\frac{\pi}{4g-2}}e^{-i\frac{2\pi}{8g-4}\psi_1} & ue^{-i\pi\theta} \\ ue^{i\pi\theta} & \frac{1+\cos\frac{\pi}{4g-2}}{\sin\frac{\pi}{4g-2}}e^{-i\frac{2\pi}{8g-4}\psi_1} \end{pmatrix} \begin{pmatrix} e^{i\frac{2\pi}{8g-4}\psi_2} & 0 \\ 0 & e^{-i\frac{2\pi}{8g-4}\psi_2} \end{pmatrix} \\ &= \begin{pmatrix} \frac{1+\cos\frac{\pi}{4g-2}}{\sin\frac{\pi}{4g-2}}e^{-i\frac{8k\pi}{8g-4}} & ue^{-i\pi\left(\frac{(8g-3)+4(2g-1)}{8g-4}\right)} \\ ue^{i\pi\left(\frac{(8g-3)+4(2g-1)}{8g-4}\right)} & \frac{1+\cos\frac{\pi}{4g-2}}{\sin\frac{\pi}{4g-2}}e^{i\frac{8k\pi}{8g-4}} \end{pmatrix} \\ &= \begin{pmatrix} \frac{1+\cos\frac{\pi}{4g-2}}{\sin\frac{\pi}{4g-2}}e^{-i\frac{8k\pi}{8g-4}} & ue^{-i\pi\left(\frac{(8g-3)+4(2g-1)}{8g-4}\right)} \\ ue^{i\pi\left(\frac{(8g-3)+4(2g-1)}{8g-4}\right)} & \frac{1+\cos\frac{\pi}{4g-2}}{\sin\frac{\pi}{4g-2}}e^{i\frac{8k\pi}{8g-4}} \end{pmatrix} \\ &= \begin{pmatrix} \frac{1+\cos\frac{\pi}{4g-2}}{\sin\frac{\pi}{4g-2}}e^{-i\frac{8k\pi}{8g-4}} & ue^{-i\pi\left(\frac{(8g-3)+4(2g-1)}{8g-4}\right)} \\ ue^{i\pi\left(\frac{(8g-3)+4(2g-1)}{8g-4}\right)} & \frac{1+\cos\frac{\pi}{4g-2}}{\sin\frac{\pi}{4g-2}}e^{i\frac{8k\pi}{8g-4}} \end{pmatrix} \\ &= \begin{pmatrix} \frac{1+\cos\frac{\pi}{4g-2}}{\sin\frac{\pi}{4g-2}}e^{-i\frac{8k\pi}{8g-4}} & ue^{-i\pi\left(\frac{8g-3}{4g-2}\right)} \\ ue^{i\pi\left(\frac{(8g-3)+4(2g-1)}{8g-4}\right)} & \frac{1+\cos\frac{\pi}{4g-2}}{\sin\frac{\pi}{4g-2}}e^{i\frac{8k\pi}{8g-4}} \end{pmatrix} \\ &= \begin{pmatrix} \frac{1+\cos\frac{\pi}{4g-2}}{\sin\frac{\pi}{4g-2}}e^{-i\frac{8k\pi}{8g-4}} & ue^{-i\pi\left(\frac{8g-3}{4g-2}\right)} \\ ue^{i\pi\left(\frac{8g-3}{4g-2}\right)} & \frac{1+\cos\frac{\pi}{4g-2}}{\sin\frac{\pi}{4g-2}}e^{i\frac{8k\pi}{8g-4}} \end{pmatrix} \\ &= \begin{pmatrix} \frac{1+\cos\frac{\pi}{4g-2}}{\sin\frac{\pi}{4g-2}}e^{-i\frac{8k\pi}{8g-4}} & ue^{-i\pi\left(\frac{8g-3}{4g-2}\right)} \\ ue^{i\pi\left(\frac{8g-3}{4g-2}\right)} & \frac{1+\cos\frac{\pi}{4g-2}}{\sin\frac{\pi}{4g-2}}e^{i\frac{8k\pi}{8g-4}} \end{pmatrix} \\ &= \begin{pmatrix} \frac{1+\cos\frac{\pi}{4g-2}}{\sin\frac{\pi}{4g-2}}e^{-i\frac{8k\pi}{4g-2}} & ue^{-i\pi\left(\frac{8g-3}{4g-2}\right)} \\ ue^{i\pi\left(\frac{8g-3}{4g-2}\right)} & \frac{1+\cos\frac{\pi}{4g-2}}{\sin\frac{\pi}{4g-2}}e^{i\frac{8k\pi}{4g-2}} \end{pmatrix} \\ \end{pmatrix} \\ &= \begin{pmatrix} \frac{1+\cos\frac{\pi}{4g-2}}{\sin\frac{\pi}{4g-2}}e^{-i\frac{8k\pi}{4g-2}} & ue^{-i\frac{8g-3}{4g-2}} \\ ue^{-i\frac{8g-3}{4g-2}} & ue^{-i\frac{8g-3}{4g-2}} \end{pmatrix} \\ \end{pmatrix}$$

Com isso, podemos escrever as nossas matrizes

$$M_{\alpha_{k+1}^{a}} = \begin{pmatrix} \frac{1+\cos\frac{\pi}{4g-2}}{\sin\frac{\pi}{4g-2}} e^{i\frac{8k\pi}{8g-4}} & ue^{-i\pi\left(\frac{8g-3}{8g-4}\right)} \\ ue^{i\pi\left(\frac{8g-3}{8g-4}\right)} & \frac{1+\cos\frac{\pi}{4g-2}}{\sin\frac{\pi}{4g-2}} e^{-i\frac{8k\pi}{8g-4}} \end{pmatrix}. \tag{4.14}$$

$$M_{\alpha_{k+1}^{b}} = \begin{pmatrix} \frac{1+\cos\frac{\pi}{4g-2}}{\sin\frac{\pi}{4g-2}}e^{-i\frac{8k\pi}{8g-4}} & ue^{-i\pi\left(\frac{8g-3}{8g-4}\right)} \\ ue^{i\pi\left(\frac{8g-3}{8g-4}\right)} & \frac{1+\cos\frac{\pi}{4g-2}}{\sin\frac{\pi}{4g-2}}e^{i\frac{8k\pi}{8g-4}} \end{pmatrix}. \tag{4.15}$$

$$M_{\beta_1} = \begin{pmatrix} \frac{1 + \cos\frac{\pi}{4g - 2}}{\sin\frac{\pi}{4g - 2}} & ue^{-i\pi\left(\frac{(8g - 3) + 4(2g - 1)}{8g - 4}\right)} \\ ue^{i\pi\left(\frac{(8g - 3) + 4(2g - 1)}{8g - 4}\right)} & \frac{1 + \cos\frac{\pi}{4g - 2}}{\sin\frac{\pi}{4g - 2}} \end{pmatrix}. \tag{4.16}$$

$$M_{\beta_{k+1}^c} = \begin{pmatrix} \frac{1+\cos\frac{\pi}{4g-2}}{\sin\frac{\pi}{4g-2}} e^{i\frac{8k\pi}{8g-4}} & ue^{-i\pi\left(\frac{(8g-3)+4(2g-1)}{8g-4}\right)} \\ ue^{i\pi\left(\frac{(8g-3)+4(2g-1)}{8g-4}\right)} & \frac{1+\cos\frac{\pi}{4g-2}}{\sin\frac{\pi}{4g-2}} e^{-i\frac{8k\pi}{8g-4}} \end{pmatrix}.$$
(4.17)

$$M_{\beta_{k+1}^{d}} = \begin{pmatrix} \frac{1+\cos\frac{\pi}{4g-2}}{\sin\frac{\pi}{4g-2}}e^{-i\frac{8k\pi}{8g-4}} & ue^{-i\pi\left(\frac{(8g-3)+4(2g-1)}{8g-4}\right)} \\ ue^{i\pi\left(\frac{(8g-3)+4(2g-1)}{8g-4}\right)} & \frac{1+\cos\frac{\pi}{4g-2}}{\sin\frac{\pi}{4g-2}}e^{i\frac{8k\pi}{8g-4}} \end{pmatrix}. \tag{4.18}$$

Agora temos a configuração da nossa matriz e podemos calcular o traço de cada uma delas. Observemos que o

$$Tr(M_{\alpha_1}) = Tr(M_{\beta_1})$$

e

$$Tr(M_{\alpha_{k+1}^a}) = Tr(M_{\beta_{k+1}^b}) = Tr(M_{\beta_{k+1}^c}) = Tr(M_{\beta_{k+1}^d}).$$

Então,

$$Tr(M_{\alpha_1,\beta_1}) = 2\left(\frac{1+\cos\frac{\pi}{4g-2}}{\sin\frac{\pi}{4g-2}}\right)$$
 (4.19)

e

$$Tr(M_{(\alpha^{a,b}\beta^{c,d})_{k+1}}) = \frac{1+\cos\frac{\pi}{4g-2}}{\sin\frac{\pi}{4g-2}} \left(e^{i\frac{8k\pi}{8g-4}} + e^{-i\frac{8k\pi}{8g-4}}\right)$$
 (4.20)

$$= \frac{1 + \cos\frac{\pi}{4g-2}}{\sin\frac{\pi}{4g-2}} \left(2\cos\frac{8k\pi}{8g-4} \right) . \tag{4.21}$$

Teorema 4.10. Seja Γ um grupo discreto de isometria do plano hiperbolico \mathbb{H}^2 , tal que o quociente $\frac{\mathbb{H}^2}{\Gamma}$ seja uma superfície de Riemann compacta R. Temos que todo elemento $\gamma \in \Gamma$ é hiperbólico e γ representa em $\pi_1(R)$ uma geodésica fechada de comprimento l_{γ} , tal que

$$tr^2(\gamma) = 4\cosh^2\left(\frac{l_\gamma}{2}\right).$$

Assim, pelo teorema anterior, podemos encontrar o comprimento dessas geodésicas pela seguinte igualdade

$$l(\gamma) = 2\operatorname{arccosh}(Tr(\gamma)/2).$$
 (4.22)

Observação 4.11. Sabemos que cada geodésica fechada de \mathbb{H}^2/Γ possui um único elemento hiperbólico da classe de conjugação de Γ , ou seja, temos um correspondência injetiva entre as classes de Γ e as geodésicas de \mathbb{H}^2/Γ .

Por (4.22), γ será as geodésicas da tesselação, α_i^j e β_i^k , e $Tr(\gamma)$ será os traços das matrizes de α_i^j e β_i^k , calculados anteriormente. Com isso, podemos calcular os comprimento através do gênero:

Para g=2

$$Tr(M_{\alpha_{1},\beta_{1}}) = 2\left(\frac{1+\cos 30}{\sin 30}\right)$$

$$= 2\left(\frac{1,866}{0,5}\right)$$

$$= 7,464.$$

$$Tr(M_{(\alpha^{a,b}\beta^{c,d})_{2}}) = \left(\frac{1,866}{0,5}\right)\left(2\cos\frac{8\pi}{12}\right)$$

$$= \left(\frac{1,866}{0,5}\right)\left(2\cos 120\right)$$

$$= \left(\frac{1,866}{0,5}\right).0,5$$

Calculando o comprimento das geodésicas,

$$l_{(\alpha_1,\beta_1)} = 2 \operatorname{arccosh} \left(\frac{7,464}{2} \right)$$

= 2 \text{arccosh}(3,7320)
= 2(1,99)
= 3,98.

$$l_{(\alpha^{a,b}\beta^{c,d})_2} = 2 \operatorname{arccosh} \left(\frac{3,732}{2}\right)$$

= $2 \operatorname{arccosh}(1,866)$
= $2(1,23588)$
= $2,4717$.

Para g = 3

$$Tr(M_{\alpha_1,\beta_1}) = 2\left(\frac{1+\cos 18}{\sin 18}\right)$$

= $2\left(\frac{1,9510}{0,3090}\right)$
= $2(6,3139)$
= $12,6278$.

$$Tr(M_{(\alpha^{a,b}\beta^{c,d})_2}) = (6,3139) (2(0,3090))$$

 $= (6,3139) (0,6180)$
 $= 3,9022.$
 $Tr(M_{(\alpha^{a,b}\beta^{c,d})_3}) = (6,3139) (2(0,8711))$
 $= (6,3139) (1,6180)$
 $= 10,21.$

Calculando o comprimento das geodésicas,

$$l_{(\alpha_1,\beta_1)} = 2 \operatorname{arccosh} \left(\frac{12,6278}{2} \right)$$

= 2 \text{ arccosh}(6,3139)
= 2(2,5295)
= 5,059.

$$l_{(\alpha^{a,b}\beta^{c,d})_2} = 2 \operatorname{arccosh} \left(\frac{3,9022}{2}\right)$$

= $2 \operatorname{arccosh}(1,9511)$
= $2(1,288)$
= $2,5765$.

$$l_{(\alpha^{a,b}\beta^{c,d})_3} = 2 \operatorname{arccosh} \left(\frac{10,21}{2}\right)$$

= $2 \operatorname{arccosh}(5,105)$
= $2(2,313)$
= $4,6272$.

Considerações Finais

Ao longo do nosso trabalho, o objetivo foi calcular as sístoles sobre uma superfície gerada pela tesselação $\{8g-4,4\}$ que é uma superfície fechada com gênero $g \geq 2$, onde calculamos através do emparelhamento de arestas do polígonos 8g-4 fornecido pelo artigo [1], conforme está feito no Capítulo 4. Além disso, falamos das geodésicas que decompõem uma superfície de Riemann $g \geq 2$ em calças, essas geodésicas também são fechadas, simples e disjuntas, formando uma família de 3g-3 geodésicas, conforme visto no Capítulo 2.

Também apresentamos no Capítulo 3, baseado no artigo [16], uma maneira de obter o valor da constante de Bers, B(g), no caso em que o gênero é igual a 2.

Neste momento, temos condições de dizer que a busca pelo comprimento das sístoles não é uma tarefa fácil, mas podemos buscar por limitantes para o seu comprimento. No entanto, para tesselação do tipo $\{p,q\}$, podemos obter os valores de algumas dessas sístoles que podem ser feita de maneira análoga ao que feito no Capítulo 4.

Bibliografia

- [1] ADLER, A. & FLATTO, L.: Geodesic flows, interval maps, and symbolic dynamics. Bulletin of the American Mathematical Society, Vol.25 (1991), 229-334.
- [2] AGUSTINI,E.: Constelações de sinais em espaços hiperbólicos. Tese de Doutorado, Departamento de Matemática, Imecc-Unicamp (2002).
- [3] ANDERSON, J. W.: Hyperbolic Geometry. Springer-Verlag (2006).
- [4] BAVARD,C.: Inégalité isosystolique pour la bouteille de Klein. Mathematische Annalen, Vol.5 (1996), 439-442.
- [5] BAVARD,C.: Disques extrémaux et surfaces modulaires. Annales de la faculté des sciences de Toulouse, Vol.5 (1996),191-202.
- [6] BAVARD,C.: Systole et invariant d'Hermite.J. reine angew. Math, Vol. 482 (1997)93-120.
- [7] BEARDON, A. F.: *The Geometry of Discrete Groups*. Graduate Texts in Mathematics. Springer (1983).
- [8] BERGER, M.: What is... a Systole Notices of the AMS, Vol. 55 (2008).
- [9] BERS, L.: Spaces of degenerating Riemann surfaces. Proc. Conf., Univ. Maryland, College Park, Md. (1974), 43-55.
- [10] BORTHWICK,D.: Introduction to Spectral Theory on Hyperbolic Surfaces . Spectral Geometry, Vol. 84 (2012), 1.
- [11] BUSER,P.: Geometry and spectra of compact Riemann surfaces. Springer (2010).
- [12] BUSER, P & SEPPÄLÄ,M .: Symmetric pants decompositions of Riemann surfaces . Duke Math. J, Vol.67 (1992), 39-55.
- [13] FARIA, M.: Coordenadas Fricke e empacotamentos hiperbolicos de discos .Tese de Doutorado, Departamento de Matemática, Imecc-Unicamp (2005).
- [14] FIRER, M.: *Grupos fuchsianos* .Notas de aula, Departamento de Matemática, Imecc-Unicamp (1999) .
- [15] GENDULPHE, M.: Paysage systolique des surfaces hyperboliques compactes de petit genre . Thèse, L'Universite Bordeaux I (2006).

BIBLIOGRAFIA 83

[16] GENDULPHE, M.: Constante de Bers en genre 2. Mathematische Annalen, Vol.350 (2011), 919-951.

- [17] GROMOV, M.: Systoles and intersystolic inequalities. Actes de la Table Ronde de Géométrie Différentielle, Vol. 1 (1992), 291-362.
- [18] IMAYOSHI, Y & TANIGUCHI, M.: An introduction to Teichmüller spaces. Springer-Verlag (1992).
- [19] KAPOVICH, M.: Hyperbolic manifolds and discrete groups . Springer Science & Business Media (2001)
- [20] KATOK,S.: Fuchsian groups. University of Chicago press (1992).
- [21] KATZ,M.: Systolic geometry and topology. American Mathematical Soc., Vol. 137, (2007).
- [22] MAKOVER, E.& MCGOWAN, J.: The length of closed geodesics on random Riemann surfaces. Geometriae Dedicata, Vol. 151 (2011), 207-220.
- [23] PARLIER, H.: On the geometry of simple closed geodesics. Thèse, ÉCOLE POLY-TECHNIQUE FÉDÉRALE DE LAUSANNE (2004).
- [24] PARLIER, H.: Lengths of geodesics on Riemann surfaces with boundary .Ann. Acad. Sci. Fenn. Math, Vol.30 (2005), 227-236.
- [25] PAUR, K.: The Fenchel Nielsen Coordinates of Teichmüller Space. Citeseer (1999).
- [26] RATCLIFFE, J.: Foundations of hyperbolic manifolds. Springer (2006).
- [27] REYSSAT, E.: Quelques aspects des surfaces de Riemann. Progress in Math., Vol. 77 (1990).
- [28] SABOURAU, S.: Asymptotic bounds for separating systoles on surfaces. Commentarii Mathematici Helvetici, Vol. 83 (2008), 35-54.
- [29] SCHALLER, P.S.: Reimann surfaces with shortest geodesic of maximal length. Geometric & Functional Analysis GAFA, Vol. 3 (1993), 564-631.
- [30] SCHALLER, P.S.: Geometry of Riemann surfaces based on closed geodesics. Bulletin of the American Mathematical Society, Vol. 35 (1998), 193-214.
- [31] SEPPALA,M & SORVALI, T.: Geometry of Riemann surfaces and Teichmüller spaces. Elsevier (2011).
- [32] THURSTON, W.P.: Three-dimensional geometry and topology . Princeton university press (1997).